



دانشگاه صنعتی شاهرود

دانشکده فیزیک

# تبدیل فوریه کوانتومی

دانشجو:

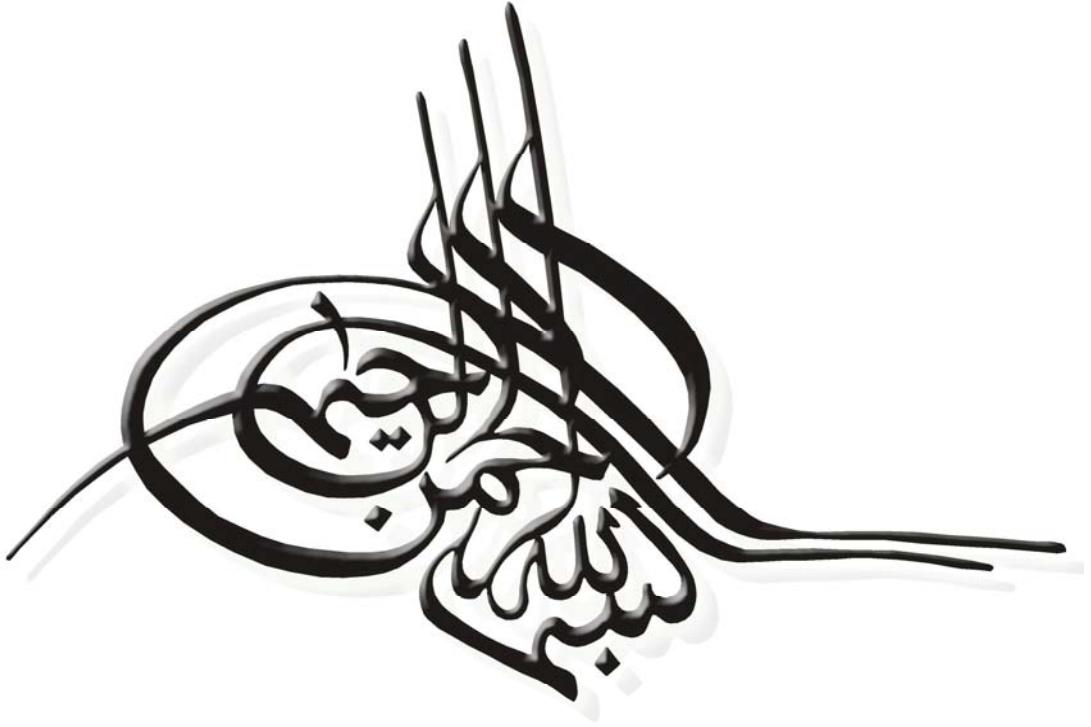
رضا مکرمی رستمی

استاد راهنما:

دکتر حسین موحدیان

پایان نامه ارشد جهت اخذ درجه کارشناسی ارشد

تیر ۱۳۸۸



دانشگاه صنعتی شاهرود

دانشکده: فیزیک

پایان نامه ارشد رضا مکرمی رستمی

تحت عنوان:

تبدیل فوریه کوانتومی

در تاریخ ۸۸/۴/۳۰ توسط کمیته تخصصی زیر جهت اخذ مدرک کارشناسی ارشد مورد ارزیابی و با

درجه بسیار خوب مورد پذیرش قرار گرفت.

امضاء	اساتید مشاور:	امضاء	اساتید راهنما:
	نام و نام خانوادگی:		نام و نام خانوادگی: دکتر حسین موحدیان
	نام و نام خانوادگی:		نام و نام خانوادگی: دکتر

امضاء	نماینده تحصیلات تکمیلی	امضاء	اساتید داور:
	نام و نام خانوادگی: دکتر محمدرضا شجاعی		نام و نام خانوادگی: دکتر علی اکبر رجبی
			نام و نام خانوادگی: دکتر کاظم بی تقصیر فدافن
			نام و نام خانوادگی:
			نام و نام خانوادگی:

تقدیم بہ خانوادہ و تمام عزیزانم

آنان کہ خمینڈتار است قامت بانم

آنان کہ موی سپید کردند تاروی سپید بانم

## تقدیر و تشکر

بر خود لازم می‌دانم که از تمامی عزیزانی که در طول انجام پایان نامه از راهبانه‌های ایشان استفاده کرده‌ام تشکر کنم. از استاد راهبانه‌های عزیز جناب آقای دکتر حسین

موجدیان که در بسیاری از مواقع از راهبانه‌های ایشان استفاده نمودم کمال تشکر و امتنان را دارم.

از زحمات بی‌دریغ اساتید گرامی دانشکده فیزیک دانشگاه صنعتی شاهرود آقایان دکتر رجبی، دکتر عشقی، دکتر قاضی، دکتر ایزدینفرد، دکتر بی‌تقصیر... تشکر

می‌کنم.

از کلیه دوستانم که در طی دوران تحصیل فضایی آرام و دوستانه و فرسنگی را با ایشان تجربه کردم سپاس‌گزار می‌کنم.

از پدر و مادر و خانواده ام که مرا یاری کرده‌اند تشکر می‌کنم.

از برادر عزیزم که همیشه پشتیبان و مشوقم بوده است سپاس‌گزارم.

در پایان از همسرم که در این مدت همیشه یار و یاور من بوده قدر دانی می‌کنم.

## تعهد نامه

اینجانب ..... **رضا مکرمی رستمی** ..... دانشجوی دوره کارشناسی ارشد / دکتری رشته **فیزیک ذرات بنیادی** .....  
دانشکده **فیزیک** ..... دانشگاه صنعتی شاهرود نویسنده پایان نامه / رساله **تبدیل فوریه کوانتومی** .....  
..... تحت راهنمایی **دکتر حسین موحیدیان** تعهد می شوم .

- تحقیقات در این پایان نامه / رساله توسط اینجانب انجام شده است و از صحت و اصالت برخوردار است .
- در استفاده از نتایج پژوهشهای محققان دیگر به مرجع مورد استفاده استناد شده است .
- مطالب مندرج در پایان نامه / رساله تاکنون توسط خود یا فرد دیگری برای دریافت هیچ نوع مدرک یا امتیازی در هیچ جا ارائه نشده است .
- کلیه حقوق معنوی این اثر متعلق به دانشگاه صنعتی شاهرود می باشد و مقالات مستخرج با نام « دانشگاه صنعتی شاهرود » و یا « **Shahrood University of Technology** » به چاپ خواهد رسید .
- حقوق معنوی تمام افرادی که در به دست آمدن نتایج اصلی پایان نامه / رساله تأثیرگذار بوده اند در مقالات مستخرج از پایان نامه / رساله رعایت می گردد.
- در کلیه مراحل انجام این پایان نامه / رساله ، در مواردی که از موجود زنده (یا یافتههای آنها ) استفاده شده است ضوابط و اصول اخلاقی رعایت شده است .
- در کلیه مراحل انجام این پایان نامه / رساله ، در مواردی که به حوزه اطلاعات شخصی افراد دسترسی یافته یا استفاده شده است اصل رازداری ، ضوابط و اصول اخلاق انسانی رعایت شده است .

تاریخ :

امضای دانشجو

### مالکیت نتایج و حق نشر

- کلیه حقوق معنوی این اثر و محصولات آن (مقالات مستخرج ، کتاب ، برنامه های رایانه ای ، نرم افزار ها و تجهیزات ساخته شده است ) متعلق به دانشگاه صنعتی شاهرود می باشد . این مطلب باید به نحو مقتضی در تولیدات علمی مربوطه ذکر شود .
- استفاده از اطلاعات و نتایج موجود در پایان نامه / رساله بدون ذکر مرجع مجاز نمی باشد.

\* متن این صفحه نیز باید در ابتدای نسخه های تکثیر شده پایان نامه / رساله وجود داشته باشد .

چکیده:

همان طور که می‌دانیم تبدیل فوریه کوانتومی از سال ۱۹۵۸ میلادی مورد بررسی قرار گرفته است. پژوهش حاضر حالت‌های درهم‌تنیده و حالت‌های برهم‌نهیده در نظریه کوانتومی و ویژگی‌های آنها را بررسی می‌کند. همچنین به بررسی تبدیل فوریه کوانتومی و امکان بهینه‌سازی سرعت تجزیه به عوامل اول با استفاده از تبدیل فوریه کوانتومی می‌پردازد. اهمیت بررسی و تحقیق در مورد تبدیل فوریه کوانتومی به علت استفاده بسیار گسترده آن در عملیات اساسی و بنیادی کامپیوترهای کوانتومی است. تبدیل فوریه کوانتومی در بسیاری از مسائل کامپیوترهای کوانتومی کاربرد دارد از جمله در مسئله تجزیه اعداد به عوامل اول، مسئله پیدا کردن ترتیب، مسئله جوابهای شمارش، مسئله زیر گروه‌های مخفی و مسئله لگاریتم گسسته. با بررسی تبدیل فوریه کوانتومی و موارد ذکر شده‌ی فوق بویژه تجزیه اعداد به عوامل اول، با استفاده از الگوریتم تجزیه شر که نتیجه‌ای از تبدیل فوریه است، اعداد در کامپیوترهای کوانتومی با سرعت بیشتری تجزیه می‌شوند. در این پژوهش الگوریتم تجزیه مورد تحلیل و بررسی قرار گرفت.

کلمات کلیدی:

تبدیل فوریه کوانتومی، درهم‌تنیدگی، برهم‌نهی، تجزیه، نظریه کوانتومی، عملگر چگالی، کیوبیت، گیت، تخمین فاز، الگوریتم تجزیه شر.

## فهرست مطالب

ج	تصویب نامه
ه	تقدیر و تشکر
و	اقرارنامه و واگذاری حقوق
ز	چکیده
ح	فهرست مطالب

## فصل اول: مقدماتی درباره مکانیک کوانتومی

۱	۱-۱- مقدمه
۱	۲-۱- قواعد مکانیک کوانتومی
۱	۱-۲-۱- حالتها
۲	۲-۲-۱- مشاهده پذیرها
۳	۳-۲-۱- اندازه گیری
۴	۴-۲-۱- دینامیک
۵	۳-۱- کیوبیت
۶	۱-۳-۱- اسپین ۱/۲
۶	۲-۳-۱- تقارن
۷	۳-۳-۱- تقارن ها از یک گروه
۹	۴-۳-۱- ارتباط نظریه چرخش با اندازه حرکت زاویه ای
۱۴	۴-۱- ماتریس چگالی
۱۴	۱-۴-۱- سیستم کوانتومی دو قسمتی
۱۹	۲-۴-۱- کره بلاخ
۲۲	۳-۴-۱- تحول عملگر چگالی
۲۳	۵-۱- تجزیه اشمیت



- ۱-۵-۱- درهم‌تنیدگی..... ۲۵
- ۱-۶-۱- نکاتی درباره آنسامبل و ماتریس‌های چگالی..... ۲۶
- ۱-۶-۱- تحذب..... ۲۶
- ۱-۶-۲- تهیه یک آنسامبل..... ۲۸
- ۱-۶-۳- علت ابهام در تهیه حالت آمیخته..... ۲۹
- ۱-۶-۴- ارتباط سریعتر از نور..... ۳۰

### فصل دوم: معرفی گیت‌های کلاسیکی و کوانتومی

- ۱-۲-۱- تعریف..... ۳۳
- ۲-۲- گیت‌های کلاسیکی..... ۳۳
- ۱-۲-۲- گیت‌های تک ورودی..... ۳۴
- ۲-۲-۲- گیت‌های دو ورودی..... ۳۵
- ۳-۲- محاسبات برگشت پذیر..... ۳۷
- ۱-۳-۲- گیت Toffoli..... ۳۷
- ۴-۲- گیت‌های کوانتومی..... ۳۸
- ۱-۴-۲- گیت‌های کوانتومی منفرد..... ۳۹
- ۲-۴-۲- گیت‌های کوانتومی دوتایی..... ۴۰
- ۵-۲- قضیه NO-Cloning..... ۴۳

### فصل سوم: معرفی محاسبات کوانتومی

- ۱-۳-۱- تعریف..... ۴۴
- ۲-۳- محاسبات برگشت پذیر..... ۴۷
- ۳-۳- گیت‌های منطق کوانتومی..... ۵۰
- ۴-۳- الگوریتم دوچ..... ۵۴
- ۵-۳- تعمیم به  $n+m$  کیوبیت..... ۵۶

### فصل چهارم: تبدیل فوریه کوانتومی و کاربردهای آن

- ۱-۴-۱- تعریف..... ۵۸

۵۹	۲-۴- تبدیل فوریه کوانتومی.....
۶۶	۱-۲-۴- مثال تبدیل فوریه کوانتومی سه کیوبیتی.....
۶۸	۳-۴- تخمین فاز.....
۷۱	۱-۳-۴- کارآیی و نیازها.....
۷۴	۲-۳-۴- الگوریتم تخمین فاز کوانتومی.....
۷۵	۴-۴- پیدا کردن مرتبه و تجزیه.....
۷۶	۱-۴-۴- پیدا کردن مرتبه.....
۷۸	۲-۴-۴- توان رسانی پیمانهای.....
۷۹	۳-۴-۴- بسط کسره‌های تکرارشونده.....
۸۰	۴-۴-۴- کارآیی.....
۸۳	۵-۴-۴- الگوریتم پیدا کردن مرتبه کوانتومی.....
۸۴	۵-۴- الگوریتم شر.....
۸۴	۱-۵-۴- تعریف.....
۸۴	۲-۵-۴- مبنای الگوریتم شر.....
۸۶	۳-۵-۴- مراحل الگوریتم شر.....
۹۴	۴-۵-۴- تبدیل فوریه کوانتومی در الگوریتم شر.....
۹۴	۵-۵-۴- یک مدار کوانتومی برای محاسبه تبدیل فوریه کوانتومی.....
۹۶	۶-۵-۴- یک مثال از روند کار الگوریتم شر.....
۱۰۰	۶-۴- نتیجه‌گیری و پیشنهادات.....

## فهرست اشکال

- شکل (۱-۱) - تقارن و تحول ..... ۸
- شکل (۱-۲) - گیت AND ..... ۳۵
- شکل (۲-۲) - گیت OR ..... ۳۵
- شکل (۳-۲) - گیت NAND ..... ۳۶
- شکل (۴-۲) - گیت NOR ..... ۳۶
- شکل (۱-۳) - طرح عمده از محاسبات کوانتومی.  $n$  کیوبیت در حالت  $|0\rangle$  فراهم شده‌اند. آنها تحت یک تحول یکانی در فضای  $H^{\otimes n}$  از زمان  $t=t_0$  تا زمان  $t$  بوسیله یک عملگر یکانی  $u(t, t_0)$  در  $H^{\otimes n}$  مشخص می‌شوند ..... ۴۶
- شکل (۲-۳) - (a) گیت C-NOT. (b) گیت Toffoli نقطه سیاه بیت‌های کنترل و دایره‌ها بیت‌های هدف را نشان می‌دهند ..... ۴۹
- شکل (۳-۳) - ساختن گیت CU و گیت Toffoli ..... ۵۲
- شکل (۴-۳) - ساخت  $U_f$ : (a) 2 کیوبیتی. (b)  $(n+m)$  کیوبیتی ..... ۵۳
- شکل (۵-۳) - الگوریتم دوچ ..... ۵۵
- شکل (۱-۴) - مدار تبدیل فوریه کوانتومی ..... ۶۳
- شکل (۲-۴) - مدار تبدیل فوریه کوانتومی سه کیوبیتی ..... ۶۶
- شکل (۳-۴) - مرحله اول روش تخمین فاز ..... ۶۹
- شکل (۴-۴) - طرح کلی از روش تخمین فاز.  $t$  کیوبیت بالایی رجیستر اول هستند. و کیوبیت‌های پایینی رجیستر دوم هستند. / معمولا برای نمایش سیم‌ها به کار می‌رود.  $|u\rangle$  یک ویژه حالت از  $U$  با ویژه مقدار  $e^{2i\phi}$  است. خروجی بعد از اندازه‌گیری یک تقریب دقیق از  $\phi$  با  $\left\lceil \log\left(2 + \frac{1}{2\epsilon}\right) \right\rceil t$  بیت با احتمال  $1 - \epsilon$  است ..... ۷۰
- شکل (۵-۴) - مدار کوانتومی برای الگوریتم پیدا کردن مرتبه. رجیستر دوم همان طور که نشان داده شده است در ورودی  $|1\rangle$  می‌باشد ولی می‌تواند در حالت  $|0\rangle$  نیز باشد ..... ۷۸
- شکل (۶-۴) - شکل تابع  $P(k)$  در حالت کلی وقتی که  $\frac{Q}{r}$  عدد صحیح نباشد ..... ۸۹
- شکل (۷-۴) - شکل تابع  $P(k)$  در حالتی که  $\frac{Q}{r}$  عدد صحیح باشد. این عدد صحیح همان  $A$  است ..... ۸۹

شکل (۸-۴) - شکل تابع  $p(K)$  در نزدیکی یکی از نقاط  $\frac{k}{Q} = \frac{m}{r}$  ، شکل کامل تکراری از این منحنی است و تعداد

تکرارها نیز  $I$  است ..... ۹۳

## فهرست جداول

- جدول ۱-۲- نمایش گیت ورودی ..... ۳۶
- جدول ۱-۴- مقادیر  $f(x)$  بر حسب  $X$  برای تعیین دوره تناوب تابع ..... ۹۷

فصل اول:

مقدماتی درباره مکانیک کوانتومی

# مقدماتی درباره مکانیک کوانتومی

## ۱-۱- مقدمه

بر طبق اصل موضوع نظریه کوانتومی می‌توانیم حالت یک سیستم را با یک بردار در فضای هیلبرت تعیین کنیم. با هر اندازه‌گیری بر روی مشاهده پذیر سیستم این بردار بر ویژه بردارهای عملگر مورد نظر تصویر می‌شود. بیشتر وقتها به اجزای سیستم کوانتومی علاقه مندیم و به کلیات آن توجه نمی‌کنیم. همان طور که گفتیم حالت یک سیستم با یک بردار توصیف می‌شود حال می‌خواهیم حالت اجزای سیستم را بررسی کنیم و اینکه ببینیم چگونه می‌توان آنها را توصیف کرد.

## ۱-۲- قواعد مکانیک کوانتومی

نظریه کوانتومی یک الگوی ریاضی از جهان فیزیکی است. برای مشخص کردن این الگو لازم است تا حالتها، مشاهده پذیرها، اندازه‌گیری‌ها و دینامیک را مشخص کنیم.

### ۱-۲-۱- حالتها:

یک حالت، یک توصیف کامل از یک سیستم فیزیکی است. در مکانیک کوانتومی یک حالت یک پرتو<sup>۱</sup> در فضای هیلبرت است.

### فضای هیلبرت چیست؟

الف) فضای هیلبرت یک فضای برداری از اعداد مختلط  $C$  است. بردارها با  $|\psi\rangle$  (نمایش کت دیراک) نشان داده می‌شوند.

ب) در فضای هیلبرت یک ضرب داخلی به صورت  $\langle\psi|\phi\rangle$  تعریف می‌شود که یک جفت بردار را به عدد  $C$  نگاشت می‌دهد و با خواص زیر نشان داده می‌شود.

$$۱. \text{ ضرب بردارها مثبت است. یعنی برای همه } |\psi\rangle \neq 0 \text{ داریم } \langle\psi|\psi\rangle > 0.$$

---

<sup>۱</sup> . ray

۲. ضرب بردارها خطی است. یعنی برای تمام  $a$  و  $b$  های متعلق به اعداد حقیقی داریم:

$$\langle \varphi | (a|\psi_1\rangle + b|\psi_2\rangle) \rangle = a\langle \varphi | \psi_1 \rangle + b\langle \varphi | \psi_2 \rangle$$

۳. این ضرب پاد یکانی است. یعنی برای  $|\psi\rangle$  و  $|\varphi\rangle$  در این فضا داریم:

$$\langle \varphi | \psi \rangle = \langle \psi | \varphi \rangle^*$$

(ج) فضای هیلبرت کامل است. یعنی بردارها از رابطه زیر پیروی می کنند:

$$\|\psi\| = \langle \psi | \psi \rangle^{\frac{1}{2}}$$

(کامل بودن یک شرط مهم در فضای تابع با ابعاد نامحدود است. چون همگرایی ویژه تابع معین را

تضمین می کند.)

### پرتو چیست؟

یک نوع هم‌ارزی از بردارهاست که با ضرب به وسیله یک اسکالر مختلط غیر صفر، متفاوت است. ما

می‌توانیم یک نمایش از این نوع را ( برای هر بردار غیر صفر) با داشتن مقدار واحد انتخاب کنیم.

$$\langle \psi | \psi \rangle = 1 \quad (1-1)$$

همچنین می‌دانیم  $|\psi\rangle$  و  $e^{i\alpha}|\psi\rangle$  یک حالت فیزیکی یکسان را توصیف می‌کنند چون  $|e^{i\alpha}| = 1$ .

توجه شود که هر پرتو به یک حالت ممکن مربوط است. بنابراین با داشتن دو حالت  $|\varphi\rangle$  و  $|\psi\rangle$ ،

می‌توانیم یک شکل دیگر به صورت  $a|\varphi\rangle + b|\psi\rangle$  که اصل ترکیب<sup>۱</sup> نامیده می‌شود داشته باشیم. فاز

نسبی در این ترکیب دارای یک اثر فیزیکی است.

$$\langle a|\varphi\rangle + b|\psi\rangle \text{ را با } e^{i\alpha} \langle a|\varphi\rangle + b|\psi\rangle \text{ می‌شناسیم نه با } \langle a|\varphi\rangle + e^{i\alpha} b|\psi\rangle.$$

### ۱-۲-۲- مشاهده پذیرها:

یک مشاهده پذیر یک خاصیت از سیستم فیزیکی است که می‌تواند اندازه‌گیری شود. در مکانیک

کوانتومی مشاهده پذیر، یک عملگر خود الحاقی است. یک عملگر یک نگاشت خطی است که بردارها

<sup>۱</sup> superposition.



را به بردارها می برد:

$$A : |\psi\rangle \rightarrow A|\psi\rangle \quad (2-1)$$

$$A(a|\varphi\rangle + b|\psi\rangle) = aA|\varphi\rangle + bA|\psi\rangle$$

الحاقی عملگر A به وسیله رابطه زیر برای همه‌ی بردارهای  $|\varphi\rangle$  و  $|\psi\rangle$  تعریف می شود:

$$\langle\phi|A\psi\rangle = \langle A^\dagger\phi|\psi\rangle \quad (3-1)$$

در اینجا  $A|\psi\rangle$  را با  $|A\psi\rangle$  نشان داده‌ایم. عملگر A یک عملگر خودالحاقی است اگر داشته باشیم:

$$A = A^\dagger \quad (4-1)$$

اگر A و B خود الحاقی باشند بنابراین A+B نیز عملگر خود الحاقی است چون:

$$(A+B)^\dagger = A^\dagger + B^\dagger \quad (5-1)$$

هر عملگر خود الحاقی در یک فضای هیلبرت H یک نمایش طیفی دارد که به صورت زیر نشان داده می شود:

$$A = \sum_n a_n p_n \quad (6-1)$$

که هر  $a_n$  یک ویژه مقدار A و  $P_n$  مربوط به تصویرگر عمودی ویژه بردار با ویژه مقدار  $a_n$  است.

(اگر  $a_n$  تبهگن نباشد پس  $|n\rangle\langle n| = p_n$  تصویر بر روی ویژه بردار مربوطه است).

$p_n$  ها شرط زیر را برآورده می کنند.

$$p_n p_m = \delta_{n,m} p_n \quad (7-1)$$

$$p_n^+ = p_n$$

### ۱-۲-۳- اندازه گیری:

در مکانیک کوانتومی خروجی عددی یک اندازه گیری هر مشاهده پذیر A یک ویژه مقدار A است.

درست بعد از اندازه گیری، حالت کوانتومی در یک ویژه حالت A، با ویژه مقدار اندازه گیری شده قرار

می گیرد. اگر حالت کوانتومی درست قبل از اندازه گیری  $|\psi\rangle$  باشد، پس نتیجه  $a_n$  با احتمال زیر

بدست می آید.

$$prob(a_n) = \|\langle P_n | \psi \rangle\|^2 = \langle \psi | p_n | \psi \rangle \quad (8-1)$$

اگر نتیجه  $a_n$  بدست بیاید، حالت کوانتومی نرمال به صورت زیر است:

$$\frac{p_n | \psi \rangle}{(\langle \psi | p_n | \psi \rangle)^{\frac{1}{2}}} \quad (9-1)$$

توجه شود که اگر سیستم بلافاصله بعد از اندازه گیری اول دوباره اندازه گیری شود نتیجه یکسان با احتمال یک بدست می آید.

### ۱-۲-۴- دینامیک:

دینامیک تحول زمانی یک حالت کوانتومی یکانی است. آنچه که به وسیله عملگر خودالحاقی بدست می آید، هامیلتونین سیستم نامیده می شود. در تصویر شرودینگر<sup>۱</sup> از دینامیک، بردار توصیف کننده حرکت سیستم در زمان، مطابق معادله شرودینگر<sup>۲</sup> است:

$$\frac{d}{dt} |\psi(t)\rangle = -iH |\psi(t)\rangle \quad (10-1)$$

که  $H$  هامیلتونین سیستم است. ممکن است این معادله با تقریب مرتبه اول در مقدار بی نهایت کوچک  $dt$  به صورت زیر نشان داده شود:

$$|\psi(t+dt)\rangle = (1 - iHdt) |\psi(t)\rangle \quad (11-1)$$

عملگر  $U(dt) = 1 - iHdt$  یکانی است. چون  $H$  خودالحاقی است شرط  $UU^\dagger = 1$  با تقریب خطی مرتبه اول  $dt$  برآورده می شود. چون حاصلضرب عملگرهای یکانی محدود است، تحول زمانی بر روی یک فاصله محدود یکانی است.

$$|\psi(t)\rangle = U(t) |\psi(0)\rangle \quad (12-1)$$

در حالی که  $H$  به  $t$  وابسته است می توان  $U$  را به صورت  $U = e^{-itH}$  نوشت.

<sup>۱</sup> Schrodinger picture

<sup>۲</sup> Schrödinger equation

یک خاصیت جالب معادله شرودینگر این است که خطی است، در حالی که در فیزیک کلاسیک با معادلات دینامیکی غیر خطی آشنا بودیم.

اگر  $|\psi(0)\rangle$  را مشخص کنیم تحول زمانی حالت  $|\psi(t)\rangle$  را بعد از گذشت زمان  $t$  پیشگویی می کند.

### ۱-۳- کیوبیت<sup>۱</sup>

واحد تجزیه ناپذیر اطلاعات کلاسیکی بیت نام دارد که یکی از دو مقدار ممکن  $\{0,1\}$  را می گیرد. واحد معادل در اطلاعات کوانتومی بیت کوانتومی یا اصطلاحاً کیوبیت نامیده می شود، که یک حالت را در ساده ترین سیستم کوانتومی ممکن توصیف می کند. کوچکترین فضای هیلبرت غیر بدیهی دو بعدی است. پایه های یک فضای برداری دو بعدی را به صورت  $\{|0\rangle, |1\rangle\}$  نشان می دهیم. عمومی ترین حالت نرمالیزه شده به صورت زیر بیان می شود:

$$a|0\rangle + b|1\rangle \quad (۱۳-۱)$$

که  $a$  و  $b$  اعداد مختلط هستند که شرط  $|a|^2 + |b|^2 = 1$  را برآورده می کنند. یک کیوبیت حالتی در یک فضای هیلبرت دو بعدی است که می تواند هر مقدار رابه شکل معادله (۱۳-۱) بگیرد. می توانیم یک اندازه گیری انجام دهیم که کیوبیت را در پایه های  $\{|0\rangle, |1\rangle\}$  تصویر کند. در نتیجه بعد از اندازه گیری با احتمال  $|a|^2$  حالت  $|0\rangle$  را خواهیم داشت و با احتمال  $|b|^2$  حالت  $|1\rangle$  بدست می آید. اگر مقدار کیوبیت اولیه نامعلوم باشد، هیچ راهی وجود ندارد که  $a$  و  $b$  را با یک اندازه گیری یا با هر اندازه گیری ممکن تعیین کرد. اما بعد از اندازه گیری کیوبیت در یک حالت شناخته شده معلوم  $|0\rangle$  یا  $|1\rangle$  قرار می گیرد که عموماً با حالتی که از قبل داشت متفاوت است. به همین دلیل یک کیوبیت با یک بیت کلاسیکی متفاوت است. می توانیم یک بیت کلاسیکی را بدون برهم زدن آن اندازه بگیریم و می توانیم تمام اطلاعات بیت کلاسیکی را کشف کنیم. فرض می کنیم یک بیت کلاسیکی داریم که واقعاً یک مقدار محدود (صفر یا یک) را دارد، اما مقدار اولیه نامشخص است. بنا بر اطلاعات در

<sup>۱</sup> qbit

دسترس فقط می توانیم بگوییم که با احتمال  $p_0$  بیت مقدار صفر را دارد و با احتمال  $p_1$  مقدار یک را دارد که  $p_0+p_1=1$ . وقتی که بیت را اندازه بگیریم، اطلاعات اضافی بدست می آوریم. بعد از این مقدار بیت را با اطمینان ۱۰۰٪ می دانیم.

### ۱-۳-۱ اسپین $\frac{1}{2}$ :

ضرایب  $a$  و  $b$  در معادله (۱۳-۱)، کاری بیش از کدگذاری احتمالات حاصل از یک اندازه گیری در پایه های  $\{|0\rangle, |1\rangle\}$  را انجام می دهند. به طور خاص، فاز نسبی  $a$  و  $b$  نیز دارای مفهوم فیزیکی است. معادله (۱۳-۱) را می توان به صورت حالت یک شی (مثلاً الکترون) با اسپین  $\frac{1}{2}$  تفسیر کرد که در آن  $|0\rangle$  و  $|1\rangle$  حالت های اسپین بالا ( $\uparrow$ ) و اسپین پایین ( $\downarrow$ ) در طول یک محور خاص مثل محور محور  $Z$  هستند. دو عدد حقیقی مشخص کننده کیوبیت، اسپین را در فضای سه بعدی نشان می دهند (بر طبق کره بلاخ که در آن  $\theta$  زاویه قطبی و  $\varphi$  زاویه سمتی است).

### ۱-۳-۲ تقارن:

در اینجا به طور خلاصه بعضی خصوصیات نظریه تقارن مکانیک کوانتومی را بیان می کنیم. یک تقارن یک تبدیل است که بر روی یک حالت از یک سیستم عمل می کند به طوری که همچنان تمام خصوصیات مشاهده پذیرهای سیستم بدون تغییر می ماند. در مکانیک کوانتومی مشاهده ها همان اندازه گیری عملگرهای خودالحاقی هستند. اگر  $A$  در حالت  $|\psi\rangle$  اندازه گیری شده باشد، آنگاه نتیجه  $|a\rangle$  (یک ویژه بردار  $A$ ) با احتمال  $|\langle a|\psi\rangle|^2$  رخ می دهد. با انجام یک عمل تقارن وقتی که هم سیستم و هم دستگاه را چرخش دهیم نباید این احتمال را تغییر دهد. پس یک تقارن یک نگاشت از بردارها در فضای هیلبرت است به صورت:

$$|\psi\rangle \rightarrow |\psi'\rangle \quad (14-1)$$

که مقادیر قدر مطلق ضرب داخلی را برای همه  $|\varphi\rangle$  و  $|\psi\rangle$  ها طبق رابطه زیر حفظ می کند:

$$|\langle \phi | \psi \rangle| = |\langle \phi' | \psi' \rangle| \quad (15-1)$$

بر طبق قضیه مشهور ویگنر<sup>۱</sup>، یک نگاشت با این خصوصیات (با اتخاذ یک فاز مناسب) را همواره هم می‌توان به عنوان یکانی و هم به عنوان پاد یکانی در نظر گرفت. پاد یکانی با وجود اهمیت در تقارن‌های گسسته، برای تقارن‌های پیوسته قابل کاربرد نیست. پس تقارن به صورت زیر عمل می‌کند:

$$|\psi\rangle \rightarrow |\psi'\rangle = U|\psi\rangle \quad (16-1)$$

که  $U$  یکانی و در حالت خاص خطی است.

### ۱-۳-۳- شکل تقارن‌های یک گروه:

عمل تقارن شرایط گروه را برآورده می‌کند. چون یک تبدیل متقارن می‌تواند معکوس شود و همچنین حاصلضرب دو تقارن یک تقارن است. برای هر عمل تقارنی  $R$  عمل کننده بر روی سیستم فیزیکی، یک تبدیل یکانی  $U(R)$  وجود دارد. ضرب این عملگرهای یکانی می‌بایست از قانون ضرب گروه تقارن پیروی کند. به کار بردن  $R_1$  باید معادل به کار بردن ابتدا  $R_2$  و سپس  $R_1$  باشد. پس باید داشته باشیم:

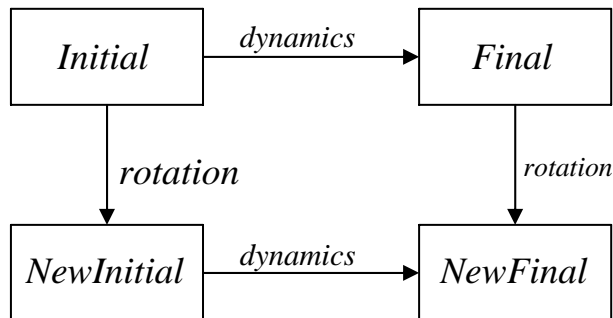
$$U(R_1)U(R_2) = Phase(R_1, R_2)U(R_1 \circ R_2) \quad (17-1)$$

فاز در معادله بالا نادیده گرفته می‌شود چون حالت‌های کوانتومی پرتو هستند، فقط احتیاج داریم که  $U(R_1 \circ R_2)$  به شکل یکسان به صورت  $U(R_1)U(R_2)$  به روی پرتوها عمل کند - نه بر روی بردارها-  $U(R)$  یک نمایش یکانی از گروه متقارن فراهم می‌کند.

تا کنون عقیده داشتیم تقارن با دینامیک ارتباط ندارد. معمولاً از تقارن می‌خواهیم که تحول دینامیکی یک سیستم را نشان دهد. یعنی اگر ابتدا سیستم را تبدیل کنیم و سپس تحول را انجام دهیم نباید با زمانی که ابتدا تحول را انجام می‌دهیم و سپس تبدیل را، تفاوت داشته باشد.

<sup>۱</sup>- Wigner

به عبارت دیگر طبق نمودار زیر جابجا پذیر است.



شکل (۱-۱): تقارن و تحول.

این بدین معناست که عملگر تحول زمانی  $e^{-itH}$  باید با تبدیل تقارن  $U(R)$  جابجا شود:

$$U(R)e^{-itH} = e^{-itH}U(R) \quad (18-1)$$

و با بسط دادن رابطه فوق به صورت خطی از مرتبه  $t$  بدست می آوریم:

$$U(R)H = HU(R) \quad (19-1)$$

اگر  $R$  را خیلی کوچک به صورت  $R = I + \varepsilon T$  انتخاب کنیم، که در آن  $I$  تبدیل یکانی و  $T$  یک چرخش است، و  $U$  نزدیک 1 باشد:

$$U = 1 - i\varepsilon Q + O(\varepsilon^2) \quad (20-1)$$

از یکانی بودن  $U$  (از مرتبه  $\varepsilon$ ) نشان داده می شود که  $Q$  یک مشاهده پذیر است و  $Q = Q^\dagger$ . با بسط رابطه (۱۹-۱) از مرتبه  $\varepsilon$  داریم:

$$[Q, H] = 0 \quad (21-1)$$

یعنی مشاهده پذیر  $Q$  با هامیلتونین  $H$  جابجا می شود.

معادله (۲۱-۱) یک قانون پایستگی است. این رابطه برای مثال بیان می کند که اگر یک ویژه حالت از  $Q$  فراهم کنیم، پس تحول زمانی تعیین شده به وسیله معادله شرودینگر ویژه حالت را در همان حالت حفظ می کند.

### ۱-۳-۴- ارتباط نظریه چرخش با اندازه حرکت زاویه‌ای:

به طور خلاصه نشان می‌دهیم که چگونه نظریه عمومی با چرخش خاص و اندازه حرکت زاویه‌ای ای به کار می‌رود. یک چرخش بی نهایت کوچک به اندازه  $d\theta$  حول محور معین با بردار واحد مانند بردار  $\hat{n} = (n_1, n_2, n_3)$  و با استفاده از رابطه (۲۰-۱) و جاگذاری  $d\theta$  به جای  $\mathcal{E}$  و  $\hat{n} \cdot \vec{J}$  به جای  $Q$  به صورت زیر نشان داده می‌شود:

$$R(\hat{n}, d\theta) = I - id\theta \hat{n} \cdot \vec{J} \quad (22-1)$$

که در آن  $(J_1, J_2, J_3)$  مولفه‌های اندازه حرکت زاویه‌ای هستند. یک چرخش محدود به صورت زیر نشان داده می‌شود.

$$R(\hat{n}, \theta) = \exp(-i\theta \hat{n} \cdot \vec{J}) \quad (23-1)$$

چرخش‌ها حول محور مشخص جابجا نمی‌شوند. از این خصوصیت ذاتی چرخش‌ها، رابطه جابجایی زیر را بدست می‌آوریم:

$$[J_k, J_l] = i\epsilon_{klm} J_m \quad (24-1)$$

که  $\epsilon_{klm}$  تانسور پاد متقارن کلی با  $\epsilon_{123} = 1$  است و اندیس‌ها پی در پی جمع بسته می‌شوند. با انجام چرخش‌ها بر روی سیستم کوانتومی، عملگرهای خودالحاقی  $J_1, J_2, J_3$  را در فضای هیلبرت پیدا می‌کنیم که شرط این رابطه را برآورده می‌کنند. تعریف نمایش گروه چرخش در سه بعد است، اما ساده‌ترین نمایش غیربدیهی غیرقابل تبدیل، دو بعدی است که به وسیله رابطه زیر داده می‌شود:

$$J_k = \frac{1}{2} \sigma_k \quad (25-1)$$

که با توجه به آن ماتریسهای پائولی زیر را داریم:

$$\sigma_1 = \begin{pmatrix} 0 & 1 \\ 1 & 0 \end{pmatrix}, \sigma_2 = \begin{pmatrix} 0 & -i \\ i & 0 \end{pmatrix}, \sigma_3 = \begin{pmatrix} 1 & 0 \\ 0 & -1 \end{pmatrix} \quad (26-1)$$

چون ویژه مقادیر  $J_k$  برابر  $\pm \frac{1}{2}$  هستند، به این نمایش اسپین  $\frac{1}{2}$  می‌گوییم. یکی از خواص ماتریسهای پائولی این است که به صورت دو به دو دارای خاصیت پاد جابجایی هستند، و داریم:

$$\sigma_k \sigma_l + \sigma_l \sigma_k = 2\sigma_{kl} I \quad (27-1)$$

بنابراین وقتی که  $\vec{n} = (n_1, n_2, n_3)$  و  $\vec{\sigma}$  ماتریس پائولی است داریم:

$$(\hat{n} \cdot \vec{\sigma})^2 = n_k n_l \sigma_k \sigma_l = n_k n_l I = I \quad (28-1)$$

که در آن  $n_k$  و  $n_l$  مولفه‌های  $\hat{n}$  هستند. با بسط سری نمایی، چرخشهای محدود به صورت زیر نمایش داده می‌شوند:

$$U(\hat{n}, \theta) = e^{-i\frac{\theta}{2}\hat{n} \cdot \vec{\sigma}} = I \cos \frac{\theta}{2} - i\hat{n} \cdot \vec{\sigma} \sin \frac{\theta}{2} \quad (29-1)$$

بیشتر ماتریسهای یکانی  $2 \times 2$  با دترمینان 1 می‌توانند به این شکل بیان شوند. بنابراین می‌توان

کیوبیت را به صورت حالتی از شی با اسپین  $\frac{1}{2}$  در نظر گرفت، و هر تبدیل یکانی دلخواه که بر روی یک حالت اثر می‌کند، یک چرخش اسپین است. یک خاصیت ویژه نمایش  $U(\hat{n}, \theta)$ ، دو مقداری بودن آن است. به خصوص با یک چرخش به اندازه  $2\pi$  حول هر محور به صورت زیر نمایش داده می‌شود:

$$U(\hat{n}, \theta = 2\pi) = -1 \quad (30-1)$$

این نمایش دو مقداری بودن چرخش اسپینور نامیده می‌شود. در حالی که این درست است که یک

چرخش به اندازه  $2\pi$  هیچ اثری بر روی یک شی با اسپین  $\frac{1}{2}$  ندارد، ولی این اشتباه است که نتیجه

بگیریم خاصیت اسپینور هیچ نتایج مشاهده‌پذیری ندارد. ماشینی را در نظر می‌گیریم که بر روی یک

جفت اسپین اثر می‌کند. اگر اسپین اول بالا<sup>۱</sup> باشد ماشین هیچ عملی انجام نمی‌دهد، اما اگر اسپین

اول پایین<sup>۲</sup> باشد، این ماشین اسپین دوم را به اندازه  $2\pi$  می‌چرخاند. حال این ماشین بر روی

اسپین اول که در یک ترکیب از اسپینهای بالا و پایین است اثر می‌کند، حال چه اتفاقی می‌افتد؟

<sup>۱</sup> . up

<sup>۲</sup> . down



نتیجه به صورت زیر است:

$$\frac{1}{\sqrt{2}}(|\uparrow\rangle_1 + |\downarrow\rangle_1)|\uparrow\rangle_2 \rightarrow \frac{1}{\sqrt{2}}(|\uparrow\rangle_1 - |\downarrow\rangle_1)|\uparrow\rangle_2 \quad (31-1)$$

در حالی که هیچ اثر قابل آشکارسازی بر روی اسپین دوم وجود ندارد، حالت اول به یک حالت عمود بر هم تبدیل می شود که قابل مشاهده است.

سه مؤلفه تبدیل اندازه حرکت زاویه‌ای تحت چرخش به صورت یک بردار به صورت زیر است:

$$U(R)J_kU(R)^\dagger = R_{kl}J_l \quad (32-1)$$

بنابراین اگر یک حالت  $|m\rangle$  یک ویژه حالت  $J_3$  باشد:

$$J_3|m\rangle = m|m\rangle \quad (33-1)$$

پس  $U(R)|m\rangle$  یک ویژه حالت  $RJ_3$  با همان ویژه مقدار به صورت زیر است:

$$\begin{aligned} RJ_3(U(R)|m\rangle) &= U(R)J_3U(R)^\dagger U(R)|m\rangle \\ &= U(R)J_3|m\rangle = m(U(R)|m\rangle) \end{aligned} \quad (34-1)$$

بنابراین می توان ویژه حالت‌های اندازه حرکت زاویه‌ای را در امتداد محور

$\hat{n} = (\sin\theta\cos\varphi, \sin\theta\sin\varphi, \cos\theta)$  با به کار بردن یک چرخش به اندازه  $\theta$ ، حول محور

$\hat{n}' = (-\sin\varphi, \cos\varphi, 0)$  با یک ویژه حالت  $J_3$  ساخت. برای نمایش اسپین  $\frac{1}{2}$  این چرخش به

صورت زیر است:

$$\begin{aligned} U(\hat{n}', \theta) &= \exp\left[-i\frac{\theta}{2}\hat{n}' \cdot \vec{\sigma}\right] = \exp\left[-i\frac{\theta}{2}(n'_1\sigma_1 + n'_2\sigma_2 + n'_3\sigma_3)\right] = \\ &= \exp\left[\frac{\theta}{2}\begin{pmatrix} 0 & -e^{-i\varphi} \\ e^{i\varphi} & 0 \end{pmatrix}\right] = \begin{pmatrix} \cos\frac{\theta}{2} & -e^{-i\varphi}\sin\frac{\theta}{2} \\ e^{i\varphi}\sin\frac{\theta}{2} & \cos\frac{\theta}{2} \end{pmatrix} \end{aligned} \quad (35-1)$$

و با به کار بردن آن با  $\begin{pmatrix} 1 \\ 0 \end{pmatrix}$ ، ویژه حالت  $J_3$  با ویژه مقدار 1، بدست می آوریم:

$$|\psi(\theta, \varphi)\rangle = \begin{pmatrix} e^{-i\frac{\varphi}{2}} \cos \frac{\theta}{2} \\ e^{i\frac{\varphi}{2}} \sin \frac{\theta}{2} \end{pmatrix} \quad (36-1)$$

می‌توان مستقیماً بررسی کرد که  $|\psi(\theta, \varphi)\rangle$  یک ویژه حالت  $\hat{n} \cdot \vec{\sigma}$  با ویژه مقدار ۱ است.

$$\begin{aligned} \hat{n} \cdot \vec{\sigma} &= n_1 \sigma_1 + n_2 \sigma_2 + n_3 \sigma_3 \\ &= \sin \theta \cos \varphi \begin{pmatrix} 0 & 1 \\ 1 & 0 \end{pmatrix} + \sin \theta \sin \varphi \begin{pmatrix} 0 & -i \\ i & 0 \end{pmatrix} + \cos \theta \begin{pmatrix} 1 & 0 \\ 0 & -1 \end{pmatrix} \\ &= \begin{pmatrix} \cos \theta & \sin \theta (\cos \varphi - i \sin \varphi) \\ \sin \theta (\cos \varphi + i \sin \varphi) & -\cos \theta \end{pmatrix} \quad (37-1) \\ &= \begin{pmatrix} \cos \theta & \sin \theta e^{-i\varphi} \\ \sin \theta e^{i\varphi} & -\cos \theta \end{pmatrix} \end{aligned}$$

بنابراین با استفاده از معادله (۱۳-۱) با  $a = e^{-i\frac{\varphi}{2}} \cos \frac{\theta}{2}$  و  $b = e^{i\frac{\varphi}{2}} \sin \frac{\theta}{2}$  می‌توانیم آن را به صورت

یک اسپین در جهت  $(\theta, \varphi)$  نشان دهیم.

باید توجه داشت که تنها با یک اندازه‌گیری نمی‌توانیم  $a$  و  $b$  را تعیین کرد. حتی با چند کپی از حالت، نمی‌توان حالت را کاملاً با اندازه‌گیری هر کپی تنها حول محور  $Z$  تعیین کرد. این کار فقط ما را قادر می‌سازد که  $|a|$  و  $|b|$  را تخمین بزنیم، اما چیزی درباره فاز نسبی  $a$  و  $b$  نمی‌دانیم. باید مؤلفه اسپین حول محور  $Z$  را پیدا کنیم:

$$\langle \psi(\theta, \varphi) | \sigma_3 | \psi(\theta, \varphi) \rangle = \cos^2 \frac{\theta}{2} - \sin^2 \frac{\theta}{2} = \cos \theta \quad (38-1)$$

مسئله تعیین  $|\psi\rangle$  به وسیله اندازه‌گیری، معادل تعیین بردار واحد  $\hat{n}$  با اندازه‌گیری مؤلفه‌های آن حول محورهای گوناگون است. البته اندازه‌گیری حول سه محور متفاوت لازم است. از  $\langle \sigma_1 \rangle$  و  $\langle \sigma_3 \rangle$ ،  $n_1$  و  $n_3$  را تعیین می‌کنیم، اما  $n_2$  همچنان غیر قابل تعیین می‌ماند.

اگر چرخش اسپین را ندیده بگیریم، اندازه‌گیری در امتداد محور  $\hat{z}$  کافی خواهد بود. اندازه‌گیری یک اسپین در امتداد محور  $\hat{n}$  معادل حالتی است که ابتدا محور  $\hat{n}$  را حول محور  $\hat{z}$  بچرخانیم، و سپس

در امتداد  $\hat{z}$  اندازه‌گیری کنیم.

در یک حالت خاص  $\theta = \frac{\pi}{2}$  و  $\varphi = 0$  (محور  $\hat{x}$ ) حالت اسپین به صورت زیر است: (اسپین بالا

در امتداد محور X)

$$|\uparrow_x\rangle = \frac{1}{\sqrt{2}}(|\uparrow_z\rangle + |\downarrow_z\rangle) \quad (39-1)$$

حالت عمود بر آن به صورت زیر است (اسپین پایین در امتداد محور X):

$$|\downarrow_x\rangle = \frac{1}{\sqrt{2}}(|\uparrow_z\rangle - |\downarrow_z\rangle) \quad (40-1)$$

برای هر کدام از این حالتها، اگر اسپین را در امتداد محور Z اندازه بگیریم،  $|\uparrow_z\rangle$  را با احتمال

$\frac{1}{2}$  و  $|\downarrow_z\rangle$  را هم با احتمال  $\frac{1}{2}$  بدست خواهیم آورد. حال ترکیب زیر را در نظری می‌گیریم:

$$\frac{1}{\sqrt{2}}(|\uparrow_x\rangle + |\downarrow_x\rangle) \quad (41-1)$$

این حالت این خاصیت را دارد که اگر اسپین را در امتداد محور X اندازه بگیریم،  $|\uparrow_x\rangle$  یا  $|\downarrow_x\rangle$  هر

کدام را با احتمال  $\frac{1}{2}$  بدست می‌آوریم. حال اگر حالت فوق را در امتداد محور Z اندازه بگیریم چه

اتفاقی می‌افتد؟

اگر این حالت بیت‌های کلاسیکی باشند، پاسخ واضح است. حالت در معادله (41-1) در یکی از دو حالت

است، و برای هر کدام از این دو حالت احتمال برای جهت بالا یا پایین در امتداد محور Z برابر  $\frac{1}{2}$  است.

اما برای کیوبیت‌ها این چنین نیست. با جمع کردن معادلات (39-1) و (40-1)، می‌بینیم که حالت

معادله (41-1) واقعاً  $|\uparrow_z\rangle$  است. وقتی که در امتداد محور Z اندازه‌گیری می‌کنیم، همیشه  $|\uparrow_z\rangle$

را پیدا می‌کنیم نه  $|\downarrow_z\rangle$  را. برای کیوبیت‌ها، به صورت مخالف با حالت بیت‌های کلاسیکی احتمالی، به

راحتی می‌بینیم که احتمال می‌تواند در راه‌های مختلف جمع بسته شود. این پدیده مداخله کوانتومی

نامیده می‌شود و یک رفتار مهم اطلاعات کوانتومی است.

## ۱-۴- ماتریس چگالی

### ۱-۴-۱- سیستم کوانتومی دو قسمتی:

در این قسمت به سیستم های کوانتومی دو قسمتی می پردازیم. گام برداشتن از یک کیوبیت به دو کیوبیت همان طور که انتظار می رود خیز بزرگی است. آنچه درباره ی مکانیک کوانتومی عجیب تر است این است که می توان مکانیک کوانتومی را به وسیله خواص فرض شده از حالت های کوانتومی دو کیوبیت بیان کرد. قواعد قسمت ۱-۲ یک فرمول بندی عمومی کاملاً قابل قبول از نظریه کوانتومی فراهم می کند. ولی تحت رویدادهای زیادی این قواعد با شکست مواجه می شوند. قصد نداریم سعی کنیم فیزیک تمام جهان اطراف را بفهمیم، ولی با مشاهده فقط گوشه کوچکی از جهان راضی هستیم. همیشه مشاهدات را به تکه کوچکی از یک سیستم بزرگ محدود می کنیم. وقتی که توجه خود را به قسمتی از یک سیستم بزرگتر محدود کنیم پس در این صورت:

۱- حالتها پرتو نیستند.

۲- اندازه گیری ها تصویرهای متعامد نیستند.

۳- تحول یکانی نیست.

می توان این نکات را با در نظر گرفتن یک مثال ساده فهمید. ساده ترین مثال ممکن این است که یک جهان دو کیوبیتی داریم که فقط یکی از کیوبیتها را مشاهده می کنیم.

یک سیستم دو کیوبیتی در نظر بگیرید که کیوبیت A به هر طریقی قابل مشاهده و اداره کردن است و به کیوبیت B دسترسی نداریم. بعضی از حالات کوانتومی دو کیوبیت داده شده اند، می خواهیم یک راه پیدا کنیم که بتواند مشاهده ای را مشخص کند که بر روی کیوبیت A به تنهایی انجام شود.

از حالت های  $\{|0\rangle_A, |1\rangle_A\}$  و  $\{|0\rangle_B, |1\rangle_B\}$  که به ترتیب پایه های متعامد کیوبیت A و B را مشخص می کنند استفاده خواهیم کرد. یک حالت کوانتومی دو کیوبیتی به شکل زیر در نظر بگیرید:

$$|\psi\rangle_{AB} = a|0\rangle_A \otimes |0\rangle_B + b|1\rangle_A \otimes |1\rangle_B \quad (۴۲-۱)$$

در این حالت کیوبیت‌های A و B به هم وابسته‌اند. فرض کنید می‌خواهیم کیوبیت A را با تصویر کردن بر روی پایه  $\{|0\rangle_A, |1\rangle_A\}$  اندازه بگیریم. پس با احتمال  $|a|^2$  نتیجه  $|0\rangle_A$  را بدست می‌آوریم، و با یک اندازه‌گیری حالت زیر را تهیه می‌شود:

$$|0\rangle_A \otimes |0\rangle_B \quad (43-1)$$

و با احتمال  $|b|^2$  نتیجه  $|1\rangle_A$  را بدست می‌آوریم و حالت زیر تهیه می‌شود:

$$|1\rangle_A \otimes |1\rangle_B \quad (44-1)$$

در حالت دیگر، یک حالت از کیوبیت B به وسیله اندازه‌گیری انتخاب می‌شود. اگر بعداً کیوبیت B را اندازه بگیریم و اگر  $|0\rangle_A$  را پیدا کرده باشیم، مطمئناً با احتمال یک،  $|0\rangle_B$  را پیدا می‌کنیم و تضمین می‌کنیم که  $|1\rangle_B$  را پیدا کنیم اگر  $|1\rangle_A$  را پیدا کرده باشیم. به این ترتیب نتیجه اندازه‌گیری  $\{|0\rangle_A, |1\rangle_A\}$  و  $\{|0\rangle_B, |1\rangle_B\}$  کاملاً به حالت  $\psi_{AB}$  مربوط است.

حال یک مشاهده پذیر عمومی کاملاً تصادفی که بر روی کیوبیت A عمل می‌کند را در نظر می‌گیریم و نتیجه اندازه‌گیری را برای A به تنهایی مشخص می‌کنیم. یک مشاهده پذیر که فقط بر روی کیوبیت A عمل می‌کند می‌تواند به صورت زیر بیان شود:

$$M_A \otimes I_B \quad (45-1)$$

که  $M_A$  عملگر خودالحاقی عمل‌کننده بر روی A است و  $I_B$  اپراتور یکانی عمل‌کننده بر روی B است. مقدار چشمداشتی مشاهده پذیر در حالت  $|\psi\rangle$  به صورت زیر است:

$$\begin{aligned} \langle \psi | M_A \otimes I_B | \psi \rangle &= (a^*_A \langle 0 | \otimes \langle 0 | + b^*_A \langle 1 | \otimes \langle 1 |) (M_A \otimes I_B) (a | 0 \rangle_A \otimes | 0 \rangle_B + b | 1 \rangle_A \otimes | 1 \rangle_B) \\ &= |a|^2_A \langle 0 | M_A | 0 \rangle_A + |b|^2_A \langle 1 | M_A | 1 \rangle_A \end{aligned} \quad (46-1)$$

(که از خاصیت تعامد  $|0\rangle_B$  و  $|1\rangle_B$  استفاده کرده ایم). این نمایش را می‌توان دوباره به شکل زیر نوشت:

$$\langle M_A \rangle = \text{tr}(M_A \rho_A) \quad (47-1)$$

$$\rho_A = |a|^2 |0\rangle_A \langle 0| + |b|^2 |1\rangle_A \langle 1| \quad (48-1)$$

و  $\text{tr}(\dots)$  به معنی رد ماتریس است. عملگر  $\rho_A$  عملگر چگالی (یا ماتریس چگالی) برای کیوبیت  $A$  نامیده می شود و این عملگر خودالحاقی، مثبت (ویژه مقادیر آن نامنفی هستند) است و دارای رد واحد می باشد (چون  $|\psi\rangle$  یک حالت نرمال است).

چون  $\langle M_A \rangle$  برای هر مشاهده پذیر  $M_A$  که بر روی کیوبیت  $A$  عمل می کند به صورت معادله (47-1) است، بنابراین  $\rho_A$  نشان دهنده ی یک آنسامبل از حالت های کوانتومی ممکن می باشد که هر یک با احتمال مشخص اتفاق می افتند. اگر کیوبیت  $A$  در یکی از دو حالت کوانتومی باشد، باید دقیقاً نتیجه یکسان برای  $\langle M_A \rangle$  بدست آوریم؛ کیوبیت  $A$  با احتمال  $P_0 = |a|^2$  در حالت کوانتومی  $|0\rangle_A$  و با احتمال  $P_1 = |b|^2$  در حالت کوانتومی  $|1\rangle_A$  است. اگر به نتیجه هر اندازه گیری ممکن علاقمند باشیم، می توانیم  $M_A$  را به صورت تصویر  $E_A(a)$  در ویژه فضای مربوطه از مشاهده پذیر خاص در نظر بگیریم. آنگاه:

$$\text{prob}(a) = P_{0A} \langle 0|E_A(a)|0\rangle_A + P_{1A} \langle 1|E_A(a)|1\rangle_A \quad (49-1)$$

که همان احتمال بدست آوردن نتیجه  $a$  است که روی تمام آنسامبل جمع بسته شده است. تاکید می کنیم که بین یک حالت حاصل از برهم نهش  $|0\rangle_A$  و  $|1\rangle_A$  با یک آنسامبل احتمالی که در آن  $|0\rangle_A$  و  $|1\rangle_A$  هر یک با احتمال مشخص رخ می دهند، تفاوت اساسی وجود دارد. برای مثال برای در اسپین  $\frac{1}{2}$ ، اگر  $\sigma_1$  را در حالت  $\frac{1}{\sqrt{2}}(|\uparrow_z\rangle + |\downarrow_z\rangle)$  اندازه بگیریم، نتیجه  $|\uparrow_x\rangle$  را با احتمال یک بدست خواهیم آورد. اما آنسامبلی که در آن  $|\uparrow_z\rangle$  و  $|\downarrow_z\rangle$  هر کدام با احتمال  $\frac{1}{2}$  اتفاق می افتند با عملگر چگالی زیر نشان داده می شود:

$$\rho = \frac{1}{2} (|\uparrow_z\rangle\langle\uparrow_z| + |\downarrow_z\rangle\langle\downarrow_z|) = \frac{1}{2} I \quad (50-1)$$

و تصویر بر  $|\uparrow_x\rangle$  مقدار چشمداشتی زیر را دارد:

$$\text{tr}(|\uparrow_x\rangle\langle\uparrow_x|\rho) = \frac{1}{2} \quad (51-1)$$

در حقیقت می‌بینیم که هر حالت از یک کیوبیت نشان داده شده به وسیله یک پرتو، می‌تواند به صورت یک اسپین در بعضی جهات معلوم نشان داده شود. حالت  $|\psi(\theta, \varphi)\rangle$  با به کار بردن یک تبدیل یکانی مناسب با  $|\uparrow_z\rangle$  بدست می‌آید، برای  $\rho$  داده شده به وسیله معادله (50-1) داریم:

$$\text{tr}(|\psi(\theta, \varphi)\rangle\langle\psi(\theta, \varphi)|\rho) = \frac{1}{2} \quad (52-1)$$

بنابراین اگر برای حالت  $|\psi\rangle_{AB}$  که در معادله (53-1) تهیه شده است، با احتمال  $\frac{1}{2}$   $|a|^2 = |b|^2 = \frac{1}{2}$  اسپین A را در امتداد هر محور اندازه بگیریم، یک نتیجه کاملاً تصادفی بدست می‌آوریم: اسپین بالا یا اسپین پایین هر کدام می‌تواند با احتمال  $\frac{1}{2}$  رخ دهد.

بحث مربوط به حالت  $|\psi\rangle_{AB}$  دو کیوبیتی به آسانی به یک حالت دلخواه از هر سیستم کوانتومی دو قسمتی (یک سیستم تقسیم شده به دو قسمت) تعمیم داده می‌شود. فضای هیلبرت یک سیستم دو قسمتی  $H_A \otimes H_B$  است که فضاهای هیلبرت دو قسمتی هستند. این بدین معنی است که اگر  $\{|i\rangle_A\}$  یک پایه اورتونرمال  $H_A$  و  $\{|\mu\rangle_B\}$  یک پایه اورتونرمال  $H_B$  باشد، پس  $\{|i\rangle_A \otimes |\mu\rangle_B\}$  یک پایه اورتونرمال  $H_A \otimes H_B$  است. بنابراین یک حالت خالص دلخواه  $H_A \otimes H_B$  می‌تواند به صورت زیر بسط داده شود:

$$|\psi\rangle_{AB} = \sum_{i,\mu} a_{i\mu} |i\rangle_A \otimes |\mu\rangle_B \quad (53-1)$$

که  $\sum_{i,\mu} |a_{i\mu}|^2 = 1$ . مقدار چشمداشتی یک مشاهده پذیر  $M_A \otimes I_B$ ، که فقط روی یک زیرسیستم A عمل می‌کند به صورت زیر است:

$$\begin{aligned} \langle M_A \rangle_{AB} &= \langle \psi | M_A \otimes I_B | \psi \rangle_{AB} \\ &= \sum_{j,v} a_{j,v}^* \left( \langle j | \otimes \langle v | \right) (M_A \otimes I_B) \sum_{i,\mu} a_{i\mu} \left( |i\rangle_A \otimes |\mu\rangle_B \right) \end{aligned}$$

$$\begin{aligned}
&= \sum_{i,j,\mu} a_{j\mu}^* a_{i\mu} \langle j | M_A | i \rangle_A \\
&= \text{tr}(M_A \rho_A) \quad (54-1)
\end{aligned}$$

که در آن :

$$\begin{aligned}
\rho_A &= \text{tr}_B(|\psi\rangle_{AB} \langle \psi|) \\
&\equiv \sum_{i,j,\mu} a_{i\mu} a_{j\mu}^* |i\rangle_A \langle j| \quad (55-1)
\end{aligned}$$

عملگر چگالی  $\rho_A$  برای زیر سیستم A به وسیله انجام یک رد جزئی بر روی زیر سیستم B از ماتریس

چگالی سیستم مرکب AB بدست می آید.

از تعریف معادله (55-1) می توان به خصوصیات  $\rho_A$  پی برد که:

$$1. \rho_A = \rho_A^\dagger \text{ یعنی: } \rho_A \text{ هرمیتی است.}$$

$$2. \rho_A \text{ برای هر } \langle \psi | \rho_A | \psi \rangle_A = \sum_{\mu} \left| \sum_i a_{i\mu} \langle \psi | i \rangle_A \right|^2 \geq 0 \text{ مثبت است.}$$

$$3. \text{tr}(\rho_A) = 1 \text{ داریم } \rho_A = \sum_{i,\mu} |a_{i\mu}|^2 = 1 \text{ چون } |\psi\rangle_{AB} \text{ نرمالیزه است.}$$

در حالی که حالت زیرسیستم پرتو است به حالت سیستم<sup>1</sup> خالص می گوییم و در غیر این صورت

حالت آمیخته<sup>2</sup> است. اگر حالت خالص  $|\psi\rangle_A$  باشد، ماتریس های چگالی  $\rho_A = |\psi\rangle_A \langle \psi|$  تصویر بر

روی فضای یک بعدی اندازه گرفته شده با  $|\psi\rangle_A$  است. بنا براین یک ماتریس چگالی خالص دارای

خاصیت  $\rho^2 = \rho$  است. یک ماتریس چگالی عمومی در پایه هایی که قطری هستند به شکل زیر

نشان داده می شود:

$$\rho_A = \sum_a P_a |\psi_a\rangle \langle \psi_a| \quad (56-1)$$

که  $0 < P_a \leq 1$  و  $\sum_a P_a = 1$ . اگر حالت خالص نباشد، بیشتر از دو یا چند قسمت در این جمع وجود

دارد، و  $\rho^2 \neq \rho$ ؛ در حقیقت  $\rho^2 = \sum_a P_a^2 < \sum_a P_a = 1$  در این صورت می گوییم که  $\rho$  یک

ترکیب نا همدوس از حالت های  $\{|\psi_a\rangle\}$  است. نا همدوسی یعنی فازهای نسبی  $|\psi_a\rangle$  به صورت

<sup>1</sup> .pure  
<sup>2</sup> . mixed



ریاضی غیر قابل دسترس هستند.

چون مقدار چشمداشتی هر مشاهده پذیر  $M$  عمل کننده بر روی زیرسیستم می تواند به صورت زیر بیان شود:

$$\langle M \rangle = \text{tr}(M\rho) = \sum_a P_a \langle \psi_a | M | \psi_a \rangle \quad (57-1)$$

از قبل دیدیم که ممکن است  $\rho$  را به صورت توضیح یک آنسامبل حالت های کوانتومی خالص تفسیر کنیم، که در آن حالت  $|\psi_a\rangle$  با احتمال  $P_a$  رخ می دهد. در مکانیک کوانتومی وقتی یک سیستم کوانتومی  $A$  با سیستم کوانتومی دیگر  $B$  برهمکنش دارد، فهمیدن اینکه چگونه احتمالات رخ می دهد خیلی سخت است.  $A$  و  $B$  وقتی که به هم مربوط باشند در هم تنیده می شوند. به این ترتیب درهم تنیدگی، همدوسی ترکیبی از حالت های  $A$  را خراب می کند. بنا براین اگر فقط به  $A$  توجه کنیم بعضی فازها در ترکیب غیر قابل دسترس می شوند. این امکان وجود دارد که این وضعیت را با گفتن اینکه حالتی از سیستم  $A$  متلاشی شده است توضیح داد.

### ۱-۴-۲- کره بلاخ :

اکنون حالتی از سیستم دوکیوبیتی  $A$  را که شکلی از ماتریس چگالی عمومی است در نظر می گیریم. بیشتر ماتریسهای  $2 \times 2$  یکانی هرمیتی چهار پارامتر حقیقی دارند و می توانند در پایه های  $\{I, \sigma_1, \sigma_2, \sigma_3\}$  بیان شوند. چون هر  $\sigma_i$  بدون رد است، ضریب  $I$  در بسط ماتریس چگالی  $\rho$  باید  $\frac{1}{2}$  باشد (چون  $\text{tr}(\rho) = 1$ ) و  $\rho$  ممکن است به صورت زیر نشان داده شود:

$$\begin{aligned} \rho(\vec{P}) &= \frac{1}{2}(I + \vec{P} \cdot \vec{\sigma}) \\ &\equiv \frac{1}{2}(I + P_1 \sigma_1 + P_2 \sigma_2 + P_3 \sigma_3) \\ &= \frac{1}{2} \left[ \begin{pmatrix} 1 & 0 \\ 0 & 1 \end{pmatrix} + P_1 \begin{pmatrix} 0 & 1 \\ 1 & 0 \end{pmatrix} + P_2 \begin{pmatrix} 0 & -i \\ i & 0 \end{pmatrix} + P_3 \begin{pmatrix} 1 & 0 \\ 0 & -1 \end{pmatrix} \right] \quad (58-1) \\ &= \frac{1}{2} \begin{pmatrix} 1+P_3 & P_1 - iP_2 \\ P_1 + iP_2 & 1 - iP_3 \end{pmatrix} \end{aligned}$$

که می توان  $\det \rho = \frac{1}{4}(1 - \bar{P}^2)$  را محاسبه کرد. بنابراین یک شرط ضروری برای اینکه  $\rho$  مقادیر

ویژه نامنفی داشته باشد این است که  $\det \rho \geq 0$  یا  $P^2 \leq 1$ .

این شرط کافی است، چون  $tr(\rho) = 1$  و ممکن نیست که  $\rho$  دو مقدار ویژه منفی داشته باشد. بنابراین یک رابطه یک به یک بین ماتریس چگالی یک سیستم تک کیوبیتی و نقاط روی یک کره سه بعدی وجود دارد. این کره سه بعدی کره بلاخ نام دارد.

چون  $tr(\rho) = 1$  بنابراین این ماتریس چگالی باید مقادیر ویژه 1,0 داشته باشد. آنها تصویرگرهای یک بعدی هستند، و در اینجا حالت‌های خالص هستند. از قبل می دانیم که هر حالت خالص تک کیوبیتی به صورت  $|\psi(\theta, \varphi)\rangle$  است و می توان طوری تصور کرد که اسپین در جهت  $(\theta, \varphi)$  باشد. با استفاده از خاصیت:

$$(\hat{n} \cdot \vec{\sigma})^2 = I \quad (59-1)$$

که  $\hat{n}$  یک بردار یکه است، به آسانی می توان تحقیق کرد که ماتریس چگالی حالت خالص زیر:

$$\rho(\hat{n}) = \frac{1}{2}(I + \hat{n} \cdot \vec{\sigma}) \quad (60-1)$$

شرط:

$$(\hat{n} \cdot \vec{\sigma}) \rho(\hat{n}) = \rho(\hat{n}) (\hat{n} \cdot \vec{\sigma}) = \rho(\hat{n}) \quad (61-1)$$

را برآورده می کند.

بنابراین داریم:

$$\rho(\hat{n}) = |\psi(\theta, \varphi)\rangle \langle \psi(\theta, \varphi)| \quad (62-1)$$

که  $\hat{n}$  در امتداد جهت اسپین بالا می باشد. همچنین از رابطه:

$$|\psi(\theta, \varphi)\rangle = \begin{pmatrix} e^{-i\frac{\varphi}{2}} \cos \frac{\theta}{2} \\ e^{i\frac{\varphi}{2}} \sin \frac{\theta}{2} \end{pmatrix} \quad (63-1)$$

مستقیماً رابطه زیر را محاسبه می کنیم.

$$\begin{aligned} \rho(\theta, \varphi) &= |\psi(\theta, \varphi)\rangle\langle\psi(\theta, \varphi)| \\ &= \begin{pmatrix} \cos^2 \frac{\theta}{2} & \cos \frac{\theta}{2} \sin \frac{\theta}{2} e^{-i\varphi} \\ \cos \frac{\theta}{2} \sin \frac{\theta}{2} e^{i\varphi} & \sin^2 \frac{\theta}{2} \end{pmatrix} \\ &= \frac{1}{2} I + \frac{1}{2} \begin{pmatrix} \cos \theta & \sin \theta e^{-i\varphi} \\ \sin \theta e^{i\varphi} & -\cos \theta \end{pmatrix} \\ &= \frac{1}{2} (I + \hat{n} \cdot \vec{\sigma}) \end{aligned} \quad (64-1)$$

چون داریم:

$$\begin{aligned} \cos^2 \frac{\theta}{2} &= \frac{1}{2} (1 + \cos \theta) \\ \sin \frac{\theta}{2} \cos \frac{\theta}{2} &= \frac{1}{2} \sin \theta \end{aligned}$$

که در آن  $\hat{n} = (\sin \theta \cos \varphi, \sin \theta \sin \varphi, \cos \theta)$  است. یک خاصیت خوب از پارامتریزه کردن کره بلاخ از حالت خالص، این است که در حالی که  $|\psi(\theta, \varphi)\rangle$  یک فاز سرتاسر دلخواه دارد که از نظر فیزیکی مهم نیست، هیچ ابهامی در فاز ماتریس چگالی  $\rho(\theta, \varphi) = |\psi(\theta, \varphi)\rangle\langle\psi(\theta, \varphi)|$  وجود ندارد، تمام پارامترها در  $\rho$  یک معنی فیزیکی دارند.

از خاصیت :

$$\frac{1}{2} \text{tr} \sigma_i \sigma_j = \delta_{ij} \quad (65-1)$$

می بینیم که:

$$\langle \hat{n} \cdot \vec{\sigma} \rangle_{\vec{P}} = \text{tr}(\hat{n} \cdot \vec{\sigma} \rho(\vec{P})) = \hat{n} \cdot \vec{P} \quad (66-1)$$

بنابراین بردار  $\vec{P}$  در معادله (۵۸-۱) پلاریزاسیون اسپین را پارامتریزه می کند. اگر سیستم های تهیه شده ی یکسان زیادی در دسترس وجود داشته باشد، می توانیم  $\vec{P}$  را با اندازه گیری  $\langle \hat{n} \cdot \vec{\sigma} \rangle$  در امتداد هر یک از سه محور وابسته تعیین کنیم.

### ۱-۴-۳- تحول عملگر چگالی:

اکنون تحول زمانی حالات ترکیب شده را توضیح می دهیم. فرض کنید که هامیلتونین یک سیستم خالص دو قسمتی در  $H_A \otimes H_B$  شکل زیر را دارد:

$$H_{AB} = H_A \otimes I_B + I_A \otimes H_B \quad (۶۷-۱)$$

با این فرض هیچ نوع جفت شدگی بین دو زیر سیستم A و B وجود ندارد. بنابراین هر نتیجه گیری مستقل است. اپراتور تحول زمانی برای سیستم مرکب زیر:

$$U_{AB}(t) = U_A(t) \otimes U_B(t) \quad (۶۸-۱)$$

به اپراتورهای تحول زمانی یکانی جداپذیر عمل کننده بر روی هر سیستم تجزیه می شود. در تصویر شرودینگر از دینامیک، یک حالت خالص پایه  $|\psi(0)\rangle_{AB}$  از سیستم دو قسمتی که با معادله (۱-۵۳) داده می شود به معادله زیر ساده می شود:

$$|\psi(t)\rangle_{AB} = \sum a_{i\mu} |i(t)\rangle_A \otimes |\mu(t)\rangle_B \quad (۶۹-۱)$$

که در آن روابط:

$$\begin{cases} |i(t)\rangle_A = U_A(t) |i(0)\rangle_A \\ |\mu(t)\rangle_B = U_B(t) |\mu(0)\rangle_B \end{cases} \quad (۷۰-۱)$$

را به عنوان پایه های متعامد جدید برای  $H_A$  و  $H_B$  تعریف می کنیم. (چون  $U_A(t)$  و  $U_B(t)$  یکانی هستند.) با گرفتن رد جزئی به صورت قبل داریم:

$$\begin{aligned} \rho_A(t) &= \sum_{i,j,\mu} a_{i\mu} a_{j\mu}^* |i(t)\rangle_A \langle j(t)| \\ &= U_A(t) \rho_A(0) U_A(t)^\dagger \end{aligned} \quad (۷۱-۱)$$

بنابراین  $U_A(t)$  تحول زمانی ماتریس چگالی را معین می کند.

به خصوص در پایه هایی که  $\rho_A(0)$  قطری است، داریم:

$$\rho_A(t) = \sum_a P_a U_A(t) |\psi_a(0)\rangle_A \langle \psi_a(0)| U_A(t) \quad (۷۲-۱)$$

معادله (۷۲-۱) نشان می دهد که تحول  $\rho_A$  کاملاً با تفسیر آنسامبل سازگار است. هر حالت در آنسامبل در زمان تعیین شده به وسیله  $U_A(t)$  نتیجه می شود. اگر حالت  $|\psi_a(0)\rangle$  با احتمال  $P_0$  در زمان صفر رخ دهد،  $|\psi_a(t)\rangle$  با احتمال  $P_a$  در زمان بعدی  $t$  رخ می دهد. از طرف دیگر کاملاً واضح است که معادله (۷۲-۱) فقط وقتی که فرض کنیم سیستم  $A$  و  $B$  با همیلتونی جفت شده نیستند، به کار می رود.

## ۱-۵- تجزیه اشمیت

یک حالت خالص دو قسمتی می تواند در یک شکل استاندارد که خیلی مفید است نشان داده شود که تجزیه اشمیت نام دارد.

برای دست یافتن به این شکل باید توجه کرد که یک بردار دلخواه در  $H_A \otimes H_B$  می تواند به صورت زیر بسط داده شود:

$$|\psi\rangle_{AB} = \sum_{i,\mu} a_{i\mu} |i\rangle_A |\mu\rangle_B \equiv \sum |i\rangle_A |\tilde{i}\rangle_B \quad (۷۳-۱)$$

در اینجا  $\{|i\rangle_A\}$ ،  $\{|i\rangle_B\}$  به ترتیب پایه های متعامد  $H_A$  و  $H_B$  هستند که برای بدست آوردن طرف دوم در رابطه (۷۳-۱) تعریف می کنیم:

$$|\tilde{i}\rangle_B \equiv \sum_{\mu} a_{i\mu} |\mu\rangle_B \quad (۷۴-۱)$$

توجه شود که لازم نیست از ابتدا  $|\tilde{i}\rangle_B$  متعامد یا نرمالیزه باشد.

فرض می کنیم که پایه های  $\{|i\rangle_A\}$  طوری انتخاب شده اند که  $\rho_A$  در آن قطری باشد، یعنی داریم:

$$\rho_A = \sum_i P_i |i\rangle_A \langle i| \quad (۷۵-۱)$$

همچنین می توان  $\rho_A$  را با انجام یک رد جزئی محاسبه کرد:

$$\rho_A = \text{tr}_B \left( |\psi\rangle_{AB} \langle \psi| \right) =$$

$$\begin{aligned}
&= \text{tr}_B \left( \sum_{ij} |i\rangle_{AA} \langle j| \otimes |\tilde{i}\rangle_{BB} \langle \tilde{j}| \right) \\
&= \sum_{ij} \langle \tilde{j} | \tilde{i} \rangle_B (|i\rangle_{AA} \langle j|)
\end{aligned} \tag{۷۶-۱}$$

که تساوی فوق را با توجه به رابطه زیر بدست آوردیم:

$$\begin{aligned}
\text{tr}_B (|\tilde{i}\rangle_{BB} \langle \tilde{j}|) &= \sum_k \langle k | \tilde{i} \rangle_{BB} \langle \tilde{j} | k \rangle_B \\
&= \sum_k \langle \tilde{j} | k \rangle_{BB} \langle k | \tilde{i} \rangle_B = \langle \tilde{j} | \tilde{i} \rangle_B
\end{aligned} \tag{۷۷-۱}$$

که  $\{|k\rangle_B\}$  یک پایه متعامد برای  $H_B$  است. با مقایسه معادلات (۷۵-۱) و (۷۶-۱) می بینیم که:

$$\langle \tilde{j} | \tilde{i} \rangle_B = P_i \delta_{ij} \tag{۷۸-۱}$$

بنا براین ثابت شد که  $\{|\tilde{i}\rangle_B\}$  ها متعامد هستند. بردارهای متعامد را به صورت زیر می نویسیم:

$$|\tilde{i}'\rangle_B = P_i^{-\frac{1}{2}} |\tilde{i}\rangle_B \tag{۷۹-۱}$$

(می توانیم فرض کنیم که  $P_i \neq 0$ ، چون معادله فوق را فقط برای  $i$  های ظاهر شده در معادله (۷۵-۱) احتیاج داریم)، بنابراین بسط زیر را بدست می آوریم:

$$|\psi\rangle_{AB} = \sum_i \sqrt{P_i} |i\rangle_A |\tilde{i}'\rangle_B \tag{۸۰-۱}$$

که برحسب پایه های متعامد ویژه  $H_A$  و  $H_B$  است. معادله فوق تجزیه اشمیت حالت خالص دو قسمتی  $|\psi\rangle_{AB}$  است. هر حالت خالص دو قسمتی می تواند به این شکل بیان شود، اما پایه ها باید به حالت خالص که بسط داده می شود، وابسته باشند. به طور همزمان نمی توان  $|\psi\rangle_{AB}$  و  $|\varphi\rangle_{AB}$  متعلق به  $H_A \otimes H_B$  را با استفاده از پایه های متعامد یکسان برای  $H_A$  و  $H_B$  به شکل معادله (۸۰-۱) بسط داد.

با استفاده از معادله (۸۰-۱) می توان رد جزئی روی  $H_A$  معین کرد تا بدست بیاوریم:

$$\rho_B = \text{tr}_A (|\psi\rangle_{AB} \langle \psi|) = \sum P_i |\tilde{i}'\rangle_B \langle \tilde{i}'| \tag{۸۱-۱}$$

می بینیم که  $\rho_A$  و  $\rho_B$  مقادیر ویژه غیر صفر یکسانی دارند.

به صورت کلی می توان تجزیه اشمیت را به صورت زیر بیان کرد:

اگر  $|\psi\rangle_{AB}$  یک حالت خالص از سیستم مرکب AB باشد به طوریکه  $\{|i\rangle_A\}$  و  $\{|i\rangle_B\}$  بردارهای پایه متعامد آن باشند داریم:

$$|\psi\rangle_{AB} = \sum_i \lambda_i |i\rangle_A |i\rangle_B \quad (۸۲-۱)$$

به طوریکه  $\lambda_i$  ها اعداد حقیقی مثبت هستند و شرط  $\sum_i \lambda_i^2 = 1$  را برآورده می کنند. این اعداد ضرایب اشمیت نام دارند.

### ۱-۵-۱- درهم تنیدگی:

به هر حالت  $|\psi\rangle_{AB}$  خالص دو قسمتی می توان یک عدد صحیح مثبت به نام عدد اشمیت مربوط ساخت، که این عدد تعداد مقادیر ویژه غیر صفر در  $\rho_A$  (یا  $\rho_B$ ) می باشد. بنابراین تعداد جملات در تجزیه اشمیت بر حسب این عدد می باشد. برحسب این مقدار می توانیم درهم تنیدگی برای یک حالت خالص دو قسمتی را تعریف کنیم.  $|\psi\rangle_{AB}$  درهم تنیده (غیرقابل تفکیک) است اگر عدد اشمیت  $\lambda$  بزرگتر از یک باشد، در غیر اینصورت حالت جداپذیر (قابل تفکیک) است.

بنابراین یک حالت خالص دو قسمتی جداپذیر یک حاصلضرب تانسوری مستقیم از حالت‌های خالص در  $H_A$  و  $H_B$  است که به صورت زیر می باشد:

$$|\psi\rangle_{AB} = |\varphi\rangle_A \otimes |\chi\rangle_B \quad (۸۳-۱)$$

بنابراین ماتریسهای چگالی تحول یافته  $\rho_A = |\varphi\rangle_A \langle\varphi|$  و  $\rho_B = |\chi\rangle_B \langle\chi|$  خالص هستند. هر حالت را که نتوان به صورت حاصلضرب تانسوری مستقیم نشان داد، حالت درهم تنیده است، و ماتریس های چگالی  $\rho_A$  و  $\rho_B$  حالت‌های آمیخته هستند.

یکی از اهداف اصلی ما درک بهتر درهم تنیدگی است. اگر  $|\psi\rangle_{AB}$  جداپذیر باشد، به صراحت نمی توان گفت که زیر سیستم های A و B به هم وابسته نیستند. دو اسپین در حالت جدا پذیر زیر

$$|\uparrow\rangle_A |\uparrow\rangle_B \quad (۸۴-۱)$$

مطمئناً به هم مربوطند. هر دو اسپین یک جهت یکسان دارند. اما ارتباط بین A و B در یک حالت درهم تنیده، با وقتی که در حالت جداپذیر هستند خصوصیات متفاوتی دارد. مهم‌ترین تفاوت این است که درهم تنیدگی نمی‌تواند به صورت منطقه‌ای ایجاد شود. تنها راه برای اینکه A و B درهم تنیده باشند این است که دو زیر سیستم مستقیماً با هم برهمکنش داشته باشند.

می‌توانیم معادله (۸۴-۱) را بدون اینکه اسپینهای A و B با هم برخورد کنند بدست آوریم. احتیاج داریم که یک پیام کلاسیکی به دو تهیه کننده اسپین (آلیس و باب) بفرستیم و به هر دو آنها بگوییم که یک اسپین در جهت محور Z تهیه کنند. اما تنها راه برای اینکه حالت معادله (۸۴-۱) را به یک حالت درهم تنیده مثل حالت زیر تبدیل کنیم:

$$\frac{1}{\sqrt{2}} \left( |\uparrow\rangle_A |\uparrow\rangle_B + |\downarrow\rangle_A |\downarrow\rangle_B \right) \quad (85-1)$$

این است که یک تبدیل یکانی پیوسته بر روی حالت به کار ببریم. تبدیل یکانی موضعی به شکل  $U_A \otimes U_B$ ، و اندازه‌گیری انجام شده به وسیله آلیس یا باب، نمی‌تواند عدد اشمیت حالت دو کیوبیتی را افزایش دهد، بدون اینکه چگونگی بحث و انجام آن توسط آلیس و باب اهمیت داشته باشد. با درهم تنیده کردن دو کیوبیت باید آنها را به هم برسانیم و اجازه دهیم تا با یکدیگر برهمکنش داشته باشند.

## ۱-۶- نکاتی درباره آنسامبل و ماتریس های چگالی

### ۱-۶-۱- تحدب:

ابتدا یادآوری می‌کنیم که عملگر  $\rho$  که در فضای هیلبرت اثر می‌کند، اگر خصوصیات زیر را داشته باشد عملگر چگالی است:

۱-  $\rho$  عملگر خودالحاقی باشد.

۲-  $\rho$  غیر منفی باشد.

۳-  $tr(\rho) = 1$ .



اگر دو ماتریس چگالی  $\rho_1$  و  $\rho_2$  داشته باشیم می‌توانیم یک ماتریس چگالی دیگر که ترکیب خطی محدب آنها است ایجاد کنیم:

$$\rho(\lambda) = \lambda\rho_1 + (1-\lambda)\rho_2 \quad (۸۶-۱)$$

این رابطه برای هر  $\lambda$  که شرط  $0 \leq \lambda \leq 1$  را برآورده کند برقرار است. به راحتی می‌بینیم که  $\rho(\lambda)$  دو شرط ۱ و ۳ را برآورده می‌کند و فقط باید شرط ۲ را بررسی کنیم.

$$\langle \psi | \rho(\lambda) | \psi \rangle = \lambda \langle \psi | \rho_1 | \psi \rangle + (1-\lambda) \langle \psi | \rho_2 | \psi \rangle \geq 0 \quad (۸۷-۱)$$

$\langle \rho(\lambda) \rangle$  مطمئناً غیر منفی است، چون  $\langle \rho_1 \rangle$  و  $\langle \rho_2 \rangle$  غیر منفی هستند. بنابراین نشان دادیم که در یک فضای هیلبرت  $N$  بعدی  $H$ ، عملگرهای چگالی یک زیر مجموعه محدب از فضای برداری حقیقی ماتریس های هرمیتی  $N \times N$  است. (در صورتی به یک زیر مجموعه از یک فضای برداری محدب گفته می‌شود که مجموعه شامل بخش خطی مستقیم باشد که هر دو نقطه در مجموعه را به هم ارتباط دهد.)

بیشتر عملگرهای چگالی می‌توانند به صورت یک مجموع از عملگرهای دیگر به راه‌های مختلف بیان شوند. اما حالات خالص ممکن نیست که به صورت یک جمع محدب از دو حالت دیگر بیان شوند.

یک حالت خالص  $\rho = |\psi\rangle\langle\psi|$  در نظر بگیرید و  $|\psi_\perp\rangle$  را یک بردار متعامد  $|\psi\rangle$  بگیرید،  $\langle \psi_\perp | \rho | \psi_\perp \rangle = 0$ . فرض کنید  $\rho$  می‌تواند به صورت معادله (۸۶-۱) بسط داده‌شود داریم:

$$\langle \psi_\perp | \rho | \psi_\perp \rangle = 0 = \lambda \langle \psi_\perp | \rho_1 | \psi_\perp \rangle + (1-\lambda) \langle \psi_\perp | \rho_2 | \psi_\perp \rangle \quad (۸۸-۱)$$

چون سمت راست تساوی مجموع دو جمله غیر منفی است و چون مجموع صفر است پس هر دو جمله باید صفر باشند. اگر  $\lambda$  مخالف صفر یا یک باشد، نتیجه می‌گیریم که  $\rho_1$  و  $\rho_2$  بر  $|\psi_\perp\rangle$  عمود هستند اما چون  $|\psi_\perp\rangle$  می‌تواند هر بردار عمود بر  $|\psi\rangle$  باشد، نتیجه می‌گیریم که:

$$\rho_1 = \rho_2 = \rho \quad (۸۹-۱)$$

بردارهایی در یک زیر مجموعه محدب که نمی‌توانند به صورت یک ترکیب خطی از دیگر بردارهای مجموعه بیان شوند، نقاط اکستریمال مجموعه نامیده می‌شوند. نشان می‌دهیم که فقط حالت‌های خالص

نقاط اکستریمال مجموعه ماتریس‌های چگالی هستند. تنها حالت‌های خالص نقاط اکستریمال هستند، چون هر حالت آمیخته می‌تواند به صورت  $\rho = \sum_i |i\rangle\langle i|$  در پایه‌هایی که قطری هستند نوشته شود، و بنابراین یک مجموع محدب از حالت‌های خالص است.

این نوع ساختار را قبلاً در کره بلاخ دیدیم. عملگرهای چگالی یک کره در مجموعه سه بعدی از ماتریس‌های  $2 \times 2$  با رد واحد هستند. کره مجموعه محدب است و نقاط روی مرز نقاط اکستریمال هستند. به طور مشابه عملگرهای چگالی  $N \times N$  یک زیر مجموعه محدب از مجموعه ماتریس‌های هرمیتی  $(N^2 - 1)$  بعدی با رد واحد هستند و نقاط اکستریمال مجموعه حالت‌های خالص هستند.

### ۱-۶-۲- تهیه یک آنسامبل:

تحدب مجموعه ماتریس‌های چگالی یک تفسیر فیزیکی ساده و روشن دارد. فرض می‌کنیم تهیه آنسامبل با تهیه یکی از دو حالت ممکن توافق داشته باشد. با احتمال  $\lambda$  حالت  $\rho_1$  تهیه شده و با احتمال  $(1-\lambda)$  حالت  $\rho_2$  تهیه شده است. با محاسبه مقدار چشمداشتی هر مشاهده پذیر  $M$  روی هر دو انتخاب، متوسط را حساب می‌کنیم و نتیجه اندازه‌گیری کوانتومی به صورت زیر است:

$$\begin{aligned} \langle M \rangle &= \lambda \langle M \rangle_1 + (1-\lambda) \langle M \rangle_2 \\ &= \lambda \text{tr}(M\rho_1) + (1-\lambda) \text{tr}(M\rho_2) \\ &= \text{tr}(M\rho(\lambda)) \end{aligned} \quad (90-1)$$

اگر حالت  $\rho(\lambda)$  به جای آنها تهیه شود از آنچه که بدست می‌آوریم همه مقادیر چشمداشتی غیر قابل تشخیص هستند. بنابراین یک روش معلوم برای تهیه هر ترکیب محدب از حالت‌های  $\rho_1$  و  $\rho_2$  داریم که روش شناخته شده برای تهیه  $\rho_1$  و  $\rho_2$  است. برای تهیه حالت آمیخته روش‌های گوناگونی وجود دارد ولی برای تهیه هر حالت خالص یک روش وجود دارد. هر حالت خالص یک ویژه حالت از چند مشاهده پذیر است. یعنی برای حالت  $\rho = |\psi\rangle\langle\psi|$ ، اندازه‌گیری تصویر  $E = |\psi\rangle\langle\psi|$  تضمین می‌کند که نتیجه یک را داشته باشیم. چون  $\rho$  تنها حالتی است که نتیجه اندازه‌گیری  $E$  با احتمال ۱۰۰٪ یک باشد، هیچ راهی وجود ندارد که این خاصیت مشاهده پذیر را با انتخاب یکی از چند روش تهیه ممکن تولید

کند. بنابراین تهیه حالت خالص واضح است، اما تهیه یک حالت آمیخته مبهم است.

### ۱-۶-۳- علت ابهام در تهیه حالت آمیخته :

چون  $\rho$  می‌تواند به صورت یک مجموع از حالت‌های خالص نشان داده شود توجه خود را به این سوال محدود می‌کنیم. یک عملگر چگالی در چند روش به صورت یک مجموع محدب از حالت‌های خالص بیان می‌شود؟ یا به صورت ریاضی  $\rho$  در چند روش به صورت مجموعی از حالت‌های اکستریمال نوشته می‌شود؟

یک حالت آمیخته از یک کیوبیت در نظر می‌گیریم:

$$\rho = \frac{1}{2}I \quad (91-1)$$

در واقع این حالت می‌تواند به صورت یک آنسامبل از حالت‌های خالص در راه‌های متنوع تهیه شود. برای مثال:

$$\rho = \frac{1}{2}|\uparrow_z\rangle\langle\uparrow_z| + \frac{1}{2}|\downarrow_z\rangle\langle\downarrow_z| \quad (92-1)$$

بنابراین اگر هر یک از حالت‌های  $|\uparrow_z\rangle$  یا  $|\downarrow_z\rangle$  را با احتمال  $\frac{1}{2}$  تهیه کرده باشیم  $\rho$  را بدست می‌آوریم. اما همچنین داریم:

$$\rho = \frac{1}{2}|\uparrow_x\rangle\langle\uparrow_x| + \frac{1}{2}|\downarrow_x\rangle\langle\downarrow_x| \quad (93-1)$$

و بنابراین اگر هر یک از حالت‌های  $|\uparrow_x\rangle$  یا  $|\downarrow_x\rangle$  را با احتمال  $\frac{1}{2}$  تهیه کرده باشیم  $\rho$  را بدست می‌آوریم. پس تهیه روش‌هایی که انکارناپذیر هستند متفاوت است، ولی هیچ راهی وجود ندارد که تفاوت را با مشاهده کردن اسپین بیان کند.

به طور عمومی تر، نقطه واقع در مرکز کره بلاخ مجموعی از هر دو نقطه متقاطع درون کره است، که

تهیه حالت‌های  $|\uparrow_{\hat{n}}\rangle$  یا  $|\downarrow_{\hat{n}}\rangle$  هر یک با احتمال  $\frac{1}{2}$  رخ می‌دهد که  $\rho = \frac{1}{2}I$  را تولید خواهد کرد.

تنها در حالتی که  $\rho$  دارای بیشتر از دو یا چند ویژه مقدار تبهگن باشد، راه‌های واضحی برای تولید  $\rho$  از یک آنسامبل حالت‌های خالص متعامد دو طرفه وجود خواهد داشت. اما این دلیل خوبی نیست که توجه خود را به آنسامبل حالت‌های خالص متعامد دو طرفه محدود کنیم. ممکن است ما یک نقطه درون کره بلاخ در نظر بگیریم :

$$\rho(\vec{P}) = \frac{1}{2}(I + \vec{P} \cdot \vec{\sigma}) \quad (94-1)$$

که  $0 < |\vec{P}| < 1$  است. همچنین این رابطه می‌تواند به صورت زیر بیان شود:

$$\rho(\vec{P}) = \lambda \rho(\hat{n}_1) + (1 - \lambda) \rho(\hat{n}_2) \quad (95-1)$$

اگر  $P = \lambda \hat{n}_1 + (1 - \lambda) \hat{n}_2$  باشد. (به عبارت دیگر اگر  $\vec{P}$  در هر مکانی بر روی خط ارتباط قرار بگیرد، نقاط  $\hat{n}_1$  ،  $\hat{n}_2$  بر روی کره‌اند.)

این ابهام بزرگ طبیعی در تهیه یک حالت کوانتومی آمیخته یکی از خصوصیات ویژه اطلاعات کوانتومی است که به شدت با توزیع احتمال کلاسیکی مغایرت دارد. مثلاً یک حالت از یک توزیع احتمال برای یک تک بیت کلاسیکی در نظر بگیرید. این دو توزیع اکسترمال به صورتی هستند که صفر یا یک هر کدام با احتمال ۱۰۰٪ رخ می‌دهد. هر توزیع احتمالی برای این بیت یک مجموع محدب از این دو نقطه اکسترمال است. به طور مشابه اگر N حالت ممکن وجود داشته باشد، N توزیع احتمال وجود دارد و هر توزیع احتمال یک تجزیه واحد به اکسترمال اول دارد.

### ۱-۶-۴- ارتباط سریعتر از نور:

حال به دیگه قبلی که یک حالت مخلوط از سیستم A رخ می‌دهد چون A با سیستم B درهم تنیده است برمی‌گردیم، به علاوه مفاهیم تهیه مبهم حالت‌های آمیخته را در نظر می‌گیریم. اگر کیوبیت A ماتریس چگالی زیر را داشته باشد:

$$\rho_A = \frac{1}{2} |\uparrow_z\rangle_A \langle \uparrow_z| + \frac{1}{2} |\downarrow_z\rangle_A \langle \downarrow_z| \quad (96-1)$$

این ماتریس چگالی باید از یک حالت خالص دو قسمتی در هم تنیده  $|\psi\rangle_{AB}$  با تجزیه اشمیت زیر ایجاد شده باشد:

$$|\psi\rangle_{AB} = \frac{1}{\sqrt{2}} \left( |\uparrow_z\rangle_A |\uparrow_z\rangle_B + |\downarrow_z\rangle_A |\downarrow_z\rangle_B \right) \quad (97-1)$$

بنابراین شرح آنسامبل  $\rho_A$  در حالیکه  $|\uparrow_z\rangle_A$  یا  $|\downarrow_z\rangle_A$  هر یک با احتمال  $\frac{1}{2}$  تهیه شده‌اند می‌تواند با انجام یک اندازه‌گیری از کیوبیت B بدست بیاید. کیوبیت B را در پایه  $\{|\uparrow_z\rangle_B, |\downarrow_z\rangle_B\}$  اندازه می‌گیریم؛ اگر نتیجه  $|\uparrow_z\rangle_B$  بدست بیاید  $|\uparrow_z\rangle_A$  را تهیه کرده ایم و اگر نتیجه  $|\downarrow_z\rangle_B$  بدست بیاید  $|\downarrow_z\rangle_A$  را تهیه کرده ایم.

اما در این حالت چون  $\rho_A$  مقادیر ویژه تبهگن دارد، پایه اشمیت یکتا نیست. همزمان می‌توانیم تبدیل یکانی را روی کیوبیتهای A و B (U را با A و  $U^*$  را با B) بدون اصلاح کردن حالت خالص دو قسمتی  $|\psi\rangle_{AB}$  به کار ببریم. بنابراین برای هر بردار سه بعدی واحد  $\hat{n}$  و  $|\psi\rangle_{AB}$  یک تجزیه اشمیت به شکل زیر دارد:

$$|\psi\rangle_{AB} = \frac{1}{\sqrt{2}} \left( |\uparrow_{\hat{n}}\rangle_A |\uparrow_{\hat{n}'}\rangle_B + |\downarrow_{\hat{n}}\rangle_A |\downarrow_{\hat{n}'}\rangle_B \right) \quad (98-1)$$

می‌بینیم که با اندازه‌گیری کیوبیت B در یک پایه مناسب می‌توانیم هر تفسیر از  $\rho_A$  را به صورت آنسامبلی از دو حالت خالص بفهمیم.

حال با دانستن این خاصیت مکانیسمی برای ارتباط سریعتر از نور پیشنهاد می‌کنیم. فرض کنید کپی‌های زیادی از  $|\psi\rangle_{AB}$  تهیه شده‌اند. فرض آلیس همه کیوبیتهای A را به یک کهکشان دیگر می‌برد و باب همه کیوبیتهای B را روی زمین نگه می‌دارد. وقتی که باب می‌خواهد یک پیام یک بیتی به آلیس بفرستد، یک مقیاس اندازه‌گیری  $\sigma_1$  یا  $\sigma_3$  را برای همه اسپینهایش انتخاب می‌کند. بنابراین اسپین‌های آلیس در یکی از آنسامبل‌های  $\{|\uparrow_z\rangle_A, |\downarrow_z\rangle_A\}$  یا  $\{|\uparrow_x\rangle_A, |\downarrow_x\rangle_A\}$  تهیه می‌شوند. (U واقعی است بنابراین  $U = U^*$ ،  $\hat{n} = \hat{n}'$ ). برای خواندن پیام آلیس بلافاصله اسپین‌هایش را

اندازه می گیرد تا ببیند که از آنسامبل تهیه شده می باشد. اما به راحتی عیب این طرح آشکار است. دو روش تهیه اسپینها مطمئناً تفاوت دارند، هر دو آنسامبل توسط ماتریس چگالی  $\rho_A$  یکسان توضیح داده شده‌اند. بنابراین هیچ اندازه‌گیری ممکن وجود ندارد تا آلیس بتواند دو آنسامبل را تشخیص بدهد، و هیچ راهی برای آلیس وجود ندارد تا بگوید باب چه عملی را انجام داده است. پیام غیر قابل خواندن است. چرا دو روش تهیه که انجام شد متفاوتند؟ با تردید فرض کردیم که باب هر یک از دو کار زیر را انجام دهد:

۱. باب همه اسپینهایش را در امتداد محور  $\hat{z}$  اندازه بگیرد.

۲. باب همه اسپینهایش را در امتداد محور  $\hat{x}$  اندازه بگیرد.

باب سپس به آلیس با تلفن بین کهکشانی صحبت می کند. باب به آلیس نمی گوید که کار (۱) یا (۲) را انجام داده بود، اما به آلیس نتایج تمام اندازه‌گیریهایش را که مثلاً اسپین اول بالا و اسپین دوم پایین بود و یا غیره را می گوید. حال آلیس هر یک از کارهای (۱) یا (۲) را روی اسپین های خود انجام می دهد. اگر آلیس و باب هر دو در امتداد یک محور اندازه‌گیری کرده باشند، آلیس می فهمد که نتایج تک تک اندازه‌گیری هایش با آنچه که باب فرستاده است توافق دارد. اما اگر آلیس و باب در امتداد محورهای (متعامد) متفاوت اندازه‌گیری کنند، پس آلیس خواهد فهمید که هیچ ارتباطی بین نتایج او و باب نیست. حدود نیمی از اندازه‌گیری هایش با اندازه‌گیریهای باب توافق دارد و نیمی دیگر اینگونه نیست. اگر باب قول دهد که کار (۱) یا (۲) را انجام دهد و اندازه‌گیری هایش را به گونه‌ی دیگر انجام ندهد، پس آلیس متوجه می شود که عمل باب نسبت به عمل او متفاوت است (حتی اگر باب به او چیزی نگوید) و خیلی زود یکی از اندازه‌گیری های او مخالف با آنچه که باب انجام داده است می شود. اگر همه اندازه‌گیری هایشان با هم توافق داشته باشد، اگر اسپین های زیادی اندازه‌گیری شوند، آلیس با آمار خیلی بالا اطمینان خواهد داشت که او و باب در امتداد یک محور یکسان اندازه‌گیری کرده‌اند. بنابراین آلیس روشی را انجام می دهد تا دو روش تهیه اسپین باب را تشخیص دهد. اما در این حالت مطمئناً ارتباط سریعتر از نور وجود ندارد. زیرا آلیس قبل از اینکه بتواند آزمون خود را انجام دهد، تلفن باب را دریافت می کند. [1, 2]

فصل دوم:

معرفی کیفیت های کلاسیکی و کوانتومی

## معرفی گیت های کلاسیکی و کوانتومی

### ۲-۱- مقدمه

اطلاعات کامپیوتری اطلاعات پایه‌ای هستند که به صورت داده های دیجیتالی پردازش می شوند. برای پردازش این داده ها به یک کامپیوتر نیاز داریم که توسط مجموعه دستورالعمل هایی که برنامه نویسی نامیده می شوند، داده را پردازش کنند. داده های ورودی و خروجی برحسب واحدهای اساسی بیان می شوند که بیت نام دارد.

در کامپیوترهای کلاسیکی تمام اطلاعات به شکل رشته‌ای از متغیرهای ۰ و ۱ ذخیره می شوند و پردازش داده‌ها از هر نوع که باشد چیزی جز انجام اعمال منطقی روی این رشته ها نیست.

هر نوع پردازش اطلاعات یک سلسله توابع پشت سرهم است که روی یک رشته ورودی انجام می شود. تمام این توابع را می توان با ترکیب مقدماتی که تنها روی یک بیت یا دو بیت اثر می کنند ساخت، که هر کدام از این توابع مقدماتی را اصطلاحاً گیت می نامند.

یک کامپیوتر الکترونیکی شامل صدها و هزارها میلیون گیت می باشد و هر کدام از این گیت ها فرآیند مربوط به خود را انجام می دهند. می توان گیت ها را همانند جعبه های سیاه کوچک با ورودی های خاص و خروجی های متناسب در نظر گرفت.

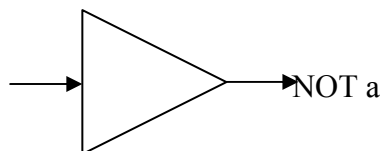
### ۲-۲- گیت های کلاسیکی

گیت های کلاسیکی براساس تعداد ورودی ها طبقه بندی می شوند که شامل گیت های تک ورودی و گیت های دو ورودی هستند.



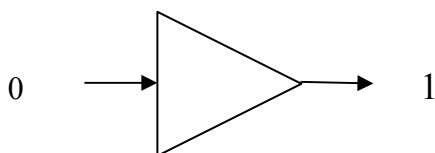
## ۱-۲-۲ - گیت های تک ورودی:

### ۱- گیت NOT



این گیت مقدار ورودی را از ۰ به ۱ و بالعکس تغییر می دهد.

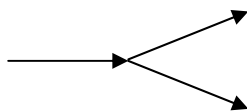
مثال :



$$NOT(0) = 1 \oplus 0 = \text{mod}\left(\frac{0+1}{2}\right) = 1 \quad (1-2)$$

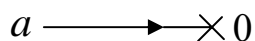
### ۲- گیت FANOUT (کپی):

این گیت شامل یک ورودی و دو خروجی است که شاخه بیت ورودی را به دو شاخه بیت خروجی که حاصل دو بیت مشابه با بیت ورودی است، تبدیل می کند.



### ۳- گیت ERASE

این گیت بیت ورودی را با صفر جایگزین می کند.



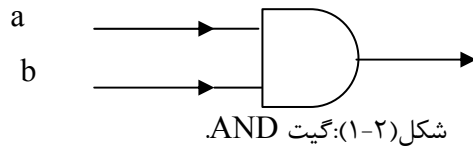
## ۲-۲-۲ - گیت های دو ورودی :

### ۱- گیت AND :

شامل دو ورودی و یک خروجی است، خروجی یک است تنها اگر هر دو ورودی یک باشند در غیر این صورت، خروجی برابر صفر می باشد. عملیات ریاضی آن مانند حاصلضرب است.

$$a \text{ AND } b = ab$$

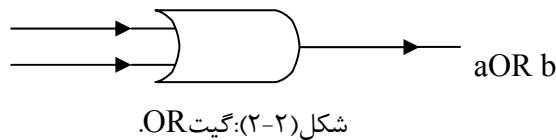
(۲-۲)



$$a \text{ AND } b = ab$$

### ۲- گیت OR :

شامل دو ورودی و یک خروجی است. تنها اگر ورودی ها صفر باشند، خروجی صفر است و در غیر این صورت خروجی برابر یک خواهد شد.



$$a \text{ OR } b$$

### ۳- گیت XOR :

گیت XOR با عملیات ریاضی زیر مشخص می شود.

$$a \text{ XOR } b = a \oplus b$$

(۳-۲)

بنابراین خروجی برابر یک خواهد شد، اگر تنها یکی از ورودی ها صفر و دیگری یک باشد یعنی ورودی ها متفاوت باشند. در غیر این صورت خروجی صفر خواهد شد.

گیت های دو ورودی را می توان توسط جدول زیر نمایش داد:

جدول ۲-۱: نمایش گیت ورودی.

a	b	AND	OR	XOR
0	0	0	0	0
0	1	0	1	1
1	0	0	1	1
1	1	1	1	0

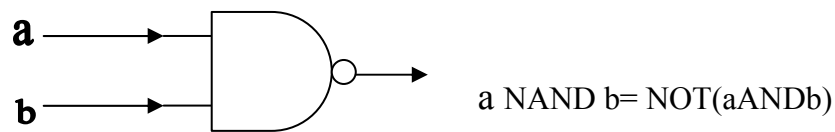
با استفاده از جدول فوق براحتی می‌توان نشان داد که:

$$aORb = (aANDb)XOR(aXORb) \quad (۴-۲)$$

یعنی گیت OR به صورت ترکیبی از گیت های AND و XOR ساخته شود.

#### ۴- گیت NAND :

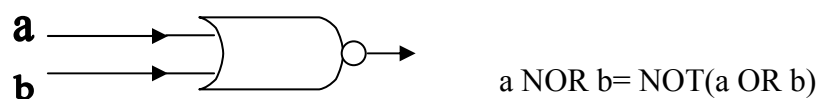
این گیت شامل دو ورودی و یک خروجی است که عمل آن درست برعکس عمل گیت AND می باشد.



شکل (۲-۳): گیت NAND.

#### ۵- گیت NOR :

این گیت هم برعکس گیت OR عمل می کند.



شکل (۲-۴): گیت NOR.

محاسبات کلاسیکی با استفاده از گیت های فوق انجام می شود اما جالب این جاست که بدانیم که برای محاسبات به همه گیت های فوق نیاز نداریم، چون می توان گیت های دیگر را از گیت های ERASE و FANOUT و NAND بدست آورد.

## ۲-۳ - محاسبات برگشت پذیر<sup>۱</sup>

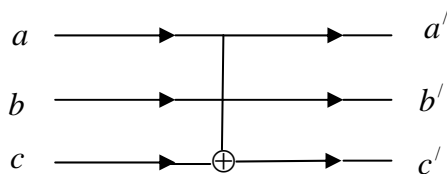
می توان ورودی گیت های FANOUT و NOT را از خروجی های گیت بدست آورد. در حالی که این عمل برای سایر گیت های کلاسیک امکان پذیر نمی باشد. می توان گفت که گیت های NOT و FANOUT برگشت پذیرند و تنها گیت های کلاسیکی برگشت پذیر می باشند. در گیت های برگشت ناپذیر کلاسیکی خروجی یک بیت کمتر از ورودی دارد.

در مقایسه گیت های کلاسیکی با گیت های کوانتومی باید گفت که همه گیت های کوانتومی برگشت پذیر هستند. می توانیم گیت های کلاسیکی برگشت پذیر بسازیم که ایده اصلی این کار، کپی کردن تعدادی از بیت های ورودی به بیت های خروجی است.

با گیت Toffoli می توان گیت های برگشت پذیر کلاسیکی را شبیه سازی کرد.

### ۲-۳-۱ - گیت Toffoli :

این گیت شامل سه ورودی و سه خروجی است.



$$\text{که } c' = c \oplus ab, b' = b, a' = a$$

چون  $a = a', b = b', c = c' \oplus a'b'$  بیت ورودی ممکن است با عقب برگشتن از بیت های خروجی ساخته شوند.

<sup>۱</sup> - reversible

برای  $c' = 0, b = c = 0$  یک گیت Toffoli مانند گیت برگشت پذیر ERASE عمل می کند.  
 به ازاء  $c' = 0, c = 0, b = 1$  مشابه گیت FANOUT عمل می کند.  
 و اگر  $b = 1$  و  $c = 1$  و  $c' = 1 \oplus a = NOT a$  که معادل با گیت NOT است.  
 به ازاء  $b = 1$  و  $c' = c \oplus a = aXORc$  یک گیت برگشت پذیر XOR را داریم.  
 و نهایتاً به ازاء  $c = 0$  به  $c' = ab = aANDb$  مشابه گیت برگشت پذیر AND عمل می کند.

## ۲-۴ - گیت های کوانتومی

گیت های کوانتومی تبدیل کننده بیت های کوانتومی هستند درست مشابه گیت های کلاسیکی که بیت های کلاسیکی را تغییر می دهند.

مستلزم این عمل تحول زمانی سیستم کوانتومی است که برطبق قوانین مکانیک کوانتومی این عمل با عملگر یکانی توصیف می شوند. بنابراین هر گیت کوانتومی با یک عملگر یکانی  $U$  متناظر است. چنانچه یک گیت کوانتومی روی یک حالت چند کیوبیتی اختیاری اثر کند ، داریم:

$$|\psi_{in}\rangle \rightarrow |\psi_{out}\rangle = U|\psi_{in}\rangle \quad (۵-۲)$$

گیت های کوانتومی همیشه برگشت پذیر هستند و حالت های ورودی را می توان از حالت های خروجی بازسازی کرد.

هر تحول یکانی برگشت پذیر است بنابراین:

$$|\psi_{in}\rangle \rightarrow U^\dagger |\psi_{out}\rangle \quad (۶-۲)$$

$U$  عملگر یکانی است یعنی بزرگی و طول حالت را تغییر نمی دهد. بنابراین عملگر خطی و یکانی  $U$  به صورت یک گیت کوانتومی توصیف می شود که می تواند بر پایه های اصلی کیوبیت های منفرد  $|0\rangle, |1\rangle$  اعمال شود.

## ۲-۴-۱ - گیت های کوانتومی منفرد:

### ۱- گیت کوانتومی NOT (X):

مشابه گیت کلاسیکی NOT ، برای گیت کوانتومی NOT داریم:

$$|0\rangle \rightarrow |1\rangle, |1\rangle \rightarrow |0\rangle \quad (۷-۲)$$

که ماتریس یکانی X را برای آن تعریف می کنیم:

$$X = \begin{pmatrix} 0 & 1 \\ 1 & 0 \end{pmatrix} \quad (۸-۲)$$

که به صورت زیر عمل می کند:

$$X|0\rangle = \begin{pmatrix} 0 & 1 \\ 1 & 0 \end{pmatrix} \begin{pmatrix} 1 \\ 0 \end{pmatrix} = \begin{pmatrix} 0 \\ 1 \end{pmatrix} = |1\rangle \quad (۹-۲)$$

$$X|1\rangle = \begin{pmatrix} 0 & 1 \\ 1 & 0 \end{pmatrix} \begin{pmatrix} 0 \\ 1 \end{pmatrix} = \begin{pmatrix} 1 \\ 0 \end{pmatrix} = |0\rangle$$

### ۲- گیت Z:

برای گیت Z در پایه های محاسباتی داریم:

$$|0\rangle \rightarrow |0\rangle, |1\rangle \rightarrow -|1\rangle \quad (۱۰-۲)$$

که ماتریس یکانی آن به شکل زیر است:

$$Z = \begin{pmatrix} 1 & 0 \\ 0 & -1 \end{pmatrix} \quad (۱۱-۲)$$

### ۳- گیت هادامارد<sup>۱</sup>:

پایه های محاسباتی توسط عملگر گیت هادامارد به صورت زیر تعریف می شود:

---

<sup>۱</sup> . Hadamard gate

$$|0\rangle \rightarrow \frac{1}{\sqrt{2}}(|0\rangle + |1\rangle)$$

(۱۲-۲)

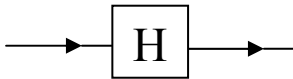
$$|1\rangle \rightarrow \frac{1}{\sqrt{2}}(|0\rangle - |1\rangle)$$

ماتریس متناظر یکانی آن به صورت زیر است :

$$H = \frac{1}{\sqrt{2}} \begin{pmatrix} 1 & 1 \\ 1 & -1 \end{pmatrix}$$

(۱۳-۲)

عموماً گیت هادامارد را با نماد زیر نمایش می دهیم :



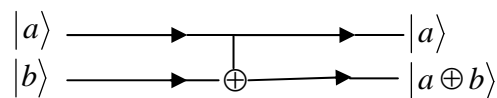
گیت Z و گیت H هیچ گونه مشابه کلاسیکی ندارند.

## ۲-۴-۲ - گیت های کوانتومی دوتایی:

### ۱- گیت (C-NOT) CONTROLLED NOT:

این گیت شامل دو کیوبیت ورودی است، کیوبیت ورودی بالایی را کیوبیت کنترل و کیوبیت ورودی

پایین را کیوبیت هدف می نامند و نماد این گیت به شکل زیر است :

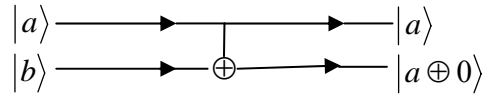


توجه شود که  $a, b \in \{0,1\}$  هستند.

عمل ریاضی این گیت روی مدار فوق بیان شده است. ورودی هدف در صورتی که کنترل صفر باشد

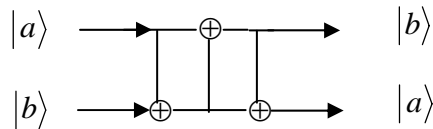
( $a=0$ ) تغییر نمی کند. اما اگر  $a=1$  باشد، هدف تغییر می کند.

C-NOT یک گیت کوانتومی بسیار مهم است، اگر  $b=0$  باشد گیت C-NOT به مانند کپی عمل می کند.



$$|a, 0\rangle = |a\rangle|0\rangle = |a\rangle \otimes |0\rangle \xrightarrow{C-NOT} |a\rangle|a\rangle = |a, a\rangle \quad (14-2)$$

یک نمونه از کاربردهای گیت C-NOT در زیر نشان داده شده است که یک جفت از بیت های کوانتومی را در پایه محاسباتی، عوض می کند.



عمل ریاضی این نمودار به صورت زیر انجام می شود.

$$\begin{aligned} |a, b\rangle &\rightarrow |a, a \oplus b\rangle \rightarrow |(a \oplus b) \oplus a, a \oplus b\rangle \\ &= |b, (a + b)\rangle \Rightarrow |b, b + (a + b)\rangle = |b, a\rangle \end{aligned} \quad (15-2)$$

بنابراین مکان  $a, b$  با هم عوض می شود.

ماتریس یکانی متناظر با عملگر گیت C-NOT به صورت زیر بیان می شود.

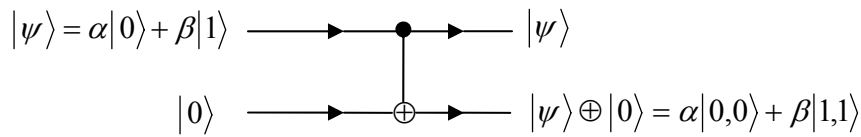
$$C = \begin{bmatrix} 1 & 0 & 0 & 0 \\ 0 & 1 & 0 & 0 \\ 0 & 0 & 0 & 1 \\ 0 & 0 & 1 & 0 \end{bmatrix} \quad (16-2)$$

اگر کیوبیت کنترل یک حالت کوانتومی کلی باشد به طوری که:

$$|\psi\rangle = \alpha|0\rangle + \beta|1\rangle \quad , \quad \alpha^2 + \beta^2 = 1 \quad (17-2)$$



و کیوبیت هدف  $|0\rangle$  باشد طبق تعریف گیت C-NOT و با توجه به مدار زیر خواهیم داشت :



$$|\psi\rangle|0\rangle = (\alpha|0\rangle + \beta|1\rangle)|0\rangle = \alpha|0,0\rangle + \beta|1,0\rangle \xrightarrow{C-NOT(gate)} \alpha|0,0\rangle + \beta|1,1\rangle \quad (18-2)$$

حال اگر کیوبیت هدف هم یک حالت کلی مانند  $|\psi\rangle$  باشد :

$$|\psi\rangle|\psi\rangle = \alpha^2|0,0\rangle + \beta^2|1,1\rangle + \alpha\beta|0,1\rangle + \beta\alpha|1,0\rangle \quad (19-2)$$

این در صورتی مشابه حالت پیش است که  $\alpha=0$  یا  $\beta=0$  باشد، یعنی اگر کیوبیت های ورودی، حالت های پایه محاسباتی باشد.

با این وجود نمی توان مدارها و گیت های پیچیده تر را برای کپی کردن یک حالت کوانتومی دلخواه به کار ببریم که این نتیجه به عنوان قضیه No-cloning مطرح می شود.

بنابراین قضیه کپی شدن برای حالت های پایه راست هنجار امکان پذیر است نه برای هر حالت کوانتومی دلخواه.

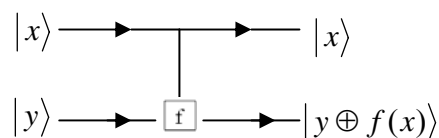
مثال:

$$|\psi\rangle = \frac{1}{\sqrt{2}}(|0\rangle + |1\rangle) \quad (20-2)$$

$$|\psi\rangle = |0\rangle_x$$

## ۲- گیت (f-gate) Function

گیت کوانتومی دوتایی مهمی دیگر است که شامل دو ورودی و دو خروجی است.



تعمیمی از گیت C-NOT است و مانند آن عمل می کند با این تفاوت که کیوبیت هدف با تابعی از کیوبیت کنترل، مدول ۲ می شود.

$$f : \{0,1\} \rightarrow \{0,1\}$$

$$|x, y\rangle \rightarrow |x, y \oplus f(x)\rangle \quad (21-2)$$

اگر  $f(x)=x$  باشد با گیت C-NOT متناظر است.

به ازای  $y=0$  خواهیم داشت:

$$|x, 0\rangle \xrightarrow{f\text{-gate}} |x, f(x)\rangle \quad (22-2)$$

اگر کیوبیت کنترل در حالت دلخواه  $|\psi\rangle = \alpha|0\rangle + \beta|1\rangle$  باشد نتیجه به صورت زیر است:

$$|\psi\rangle|10\rangle = \alpha|0,0\rangle + \beta|1,0\rangle \rightarrow \alpha|0, f(0)\rangle + \beta|1, f(1)\rangle \quad (23-2)$$

هر کسی ممکن است فکر کند که گیت های کوانتومی شبیه گیت های کلاسیکی هستند. برای مثال

گیت هادامارد حالت  $|0\rangle$  را به  $\frac{1}{\sqrt{2}}(|0\rangle + |1\rangle)$  تبدیل می کند. که اندازه گیری این حالت هر کدام از

مقادیر ۰ و ۱ را با احتمال  $\frac{1}{2}$  مشخص می کند. این درست شبیه یک گیت کلاسیکی است که نتیجه

۰ و ۱ را هر کدام با احتمال  $\frac{1}{2}$  تولید می کند. به هر حال این تصور با به کار بردن دومین گیت

هادامارد که حالت گذشته را با اطمینان به  $|0\rangle$  تغییر خواهد داد، برطرف می شود.

عموماً حالت هادامارد  $\frac{1}{\sqrt{2}}(|0\rangle + |1\rangle)$  یک حالت خالص است که به وسیله ماتریس دانسیته  $\frac{1}{2} \begin{bmatrix} 1 & 1 \\ 1 & 1 \end{bmatrix}$

در پایه محاسبات بیان می شود، چون خروجی گیت احتمال کلاسیک یک حالت آمیخته با ماتریس

$$\text{دانسیته} \frac{1}{2} \begin{bmatrix} 1 & 0 \\ 0 & 1 \end{bmatrix} \text{ است.}$$

## ۲-۵ - قضیه NO-Cloning

یکی از ویژگی های حالت های کوانتومی که مفاهیم تعمیمی را در محاسبات کوانتومی به همراه دارد

قضیه No- Cloning می باشد. به این معنی که نمی توان از یک حالت کوانتومی E نشناخته، کپی گرفت و یا به عبارتی همانندسازی انجام داد که از نتایج خطی بودن مکانیک کوانتومی بدست می آید. برای اثبات آن کافی است که فرض کنیم که یک حالت را روی خودش نگاشت بدهیم در این صورت برای حالت دلخواه  $|\psi\rangle$  داریم:

$$|\psi\rangle \rightarrow |\psi\rangle \otimes |\psi\rangle \quad (24-2)$$

و همین طور برای حالت دلخواه  $|\phi\rangle$  هم بدست خواهیم آورد:

$$|\phi\rangle \rightarrow |\phi\rangle \otimes |\phi\rangle \quad (25-2)$$

چون تبدیل باید خطی باشد بنابراین به راحتی نشان داده می شود که:

$$|\psi\rangle \oplus |\phi\rangle \rightarrow |\psi\rangle \otimes |\psi\rangle + |\phi\rangle \otimes |\phi\rangle \quad (26-2)$$

از طرفی  $|\psi\rangle + |\phi\rangle$  را می شود معادل یک حالت کلی  $|\chi\rangle$  در نظر گرفت که طبق آن داریم:

$$\begin{aligned} |\chi\rangle &= |\psi\rangle + |\phi\rangle \\ \rightarrow |\chi\rangle &\rightarrow |\chi\rangle \otimes |\chi\rangle = (|\psi\rangle + |\phi\rangle) \otimes (|\psi\rangle + |\phi\rangle) \end{aligned} \quad (27-2)$$

با توجه به دو فرمول فوق داریم:

$$|\psi\rangle \otimes |\psi\rangle + |\psi\rangle \otimes |\phi\rangle \neq (|\psi\rangle + |\phi\rangle) \otimes (|\psi\rangle + |\phi\rangle) \quad (28-2)$$

بنابراین کپی کردن از  $|\psi\rangle + |\phi\rangle$  مردود اعلام می شود. در کل حالت های متعامد را جدا می کنیم ، می توان از حالت های پایه کپی بدست بیاوریم اما از بر هم نهی حالت های پایه نمی توان کپی برداشت.

در این صورت یا روی سیستم اولیه اندازه گیری خواهیم داشت که در این صورت برهم نهی از بین

خواهد رفت، یا این که حالتی را تولید کنیم که حالت اولیه و کپی در هم تنیده می شود. [3, 4]

فصل سوم:

معرفی محاسبات کوانتومی

## معرفی محاسبات کوانتومی

### ۳-۱- تعریف

همان طور که می دانیم می توانیم اعداد صحیح را بر حسب کیوبیت ها نمایش دهیم. فرض کنید می خواهیم یک عدد صحیح بین صفر و ۷ را در یک رجیستر از کیوبیت ها بنویسیم. اگر این رجیستر کلاسیکی باشد برای نوشتن این اعداد به سه بیت احتیاج داریم. در یک سیستم بر مبنای ۲ یک عدد بین صفر و ۷ می تواند در نمایش در مبنای دو به صورت یک رشته از سه رقم شامل صفر و یک نمایش داده شود. یک رجیستر کلاسیکی که این اعداد را نشان می دهد یکی از ۸ پیکر بندی زیر را در خود ذخیره خواهد کرد:

$$0 = \{000\}, 1 = \{001\}, 2 = \{010\}, \dots, 7 = \{111\} \quad (1-3)$$

ولی در یک سیستم کوانتومی سه کیوبیتی یکی از اعداد صفر تا ۷ به صورت یک حالت ذخیره می شوند.

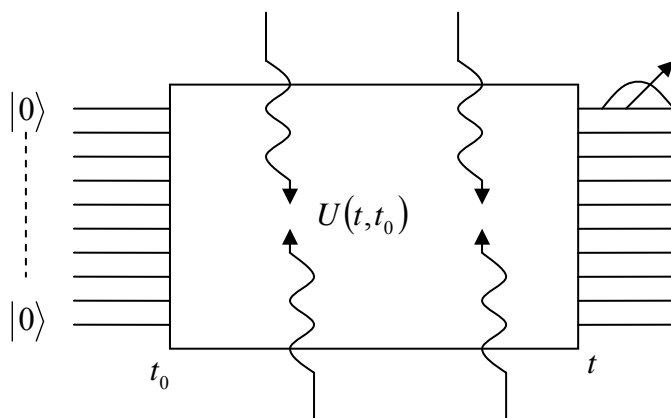
برای مثال: این اعداد به صورت ۸ حالت سه کیوبیتی زیر نشان داده می شوند.

$$0 \equiv |000\rangle, 1 = |001\rangle, 2 = |010\rangle, 3 = |011\rangle, 4 = |100\rangle, 5 = |101\rangle, 6 = |110\rangle, 7 = |111\rangle \quad (2-3)$$

در نمایش فوق نمایش ضرب تانسوری را حذف کرده ایم. برای مثال حالت  $|101\rangle$  نمایش ساده شده  $|1_A \otimes 0_B \otimes 1_C\rangle$  است. که کیوبیتهای A، B و C به صورت یک بردار در فضای هیلبرت  $H_C, H_B, H_A$  هستند. از  $|x\rangle$  که  $x = 0, 1, \dots, 7$  است برای مشخص کردن یکی از هشت حالت (۲-۳) استفاده می کنیم. برای مثال  $|5\rangle = |101\rangle$ . تعمیم این نمایش به n کیوبیت سخت نیست. نمایش یک عدد کوچکتر از  $N=2^n$  به n کیوبیت نیاز دارد و  $|x\rangle$  یک بردار حالت را با  $0 \leq X \leq 2^n - 1$  مشخص می کند.

پایه‌هایی از فضای هیلبرت  $H^{\otimes n}$  که با استفاده از بردارهای  $|x\rangle$  عمود بر هم ساخته شده‌اند، پایه‌های محاسباتی نامیده می‌شوند. چون ما می‌توانیم یک ترکیب خطی از هشت حالت (۲-۳) بسازیم، پس می‌توانیم نتیجه بگیریم که در یک زمان حالت‌های برداری یک سیستم سه اسپینی به ما اجازه می‌دهد  $2^3=8$  عدد را ذخیره کنیم، در حالی که اگر  $n$  اسپین در فضای هیلبرت  $n$  بعدی استفاده شوند می‌توانیم  $2^n$  عدد را در یک زمان ذخیره کنیم. اما اگر برای مثال اسپین‌های  $\frac{1}{2}$  برای پشتیبانی فیزیکی از کیوبیت‌ها استفاده شده باشند، یک اندازه‌گیری از سه اسپین در طول محور  $Oz$  لزوماً یکی از هشت حالت (۲-۳) را می‌دهد. اطلاعات مهمی را در دسترس داریم، اما وقتی که سعی می‌کنیم که آنها را عملی کنیم، نمی‌توانیم در یک اندازه‌گیری در یک سیستم کلاسیکی به بهترین شکل عمل کنیم. چون اندازه‌گیری فقط یکی از هشت حالت را به ما می‌دهد و همه را در یک زمان نمی‌دهد. بنابراین ضروری است که بیشتر کار کنیم تا احتمالات یک کامپیوتر کوانتومی را نتیجه بگیریم و الگوریتم‌هایی که برای آن مؤثر هستند را پیدا کنیم. حال ما توضیح طرح واری از اصول تابع کامپیوتر کوانتومی بیان می‌کنیم.

محاسبات انجام شده بر روی یک کامپیوتر کوانتومی به صورت طرح در شکل (۱-۳) نشان داده شده است.



شکل (۱-۳): طرح عمده از محاسبات کوانتومی.  $n$  کیوبیتی در حالت  $|0\rangle$  فراهم شده‌اند. آنها تحت یک تحول یکانی در فضای  $H^{\otimes n}$  از زمان  $t=t_0$  تا زمان  $t$  بوسیله یک عملگر یکانی  $u(t, t_0)$  در  $H^{\otimes n}$  مشخص می‌شوند.

که  $n$  کیوبیت در زمان  $t=t_0$  در حالت  $|0\rangle$  تهیه شده‌اند. این مرحله آماده سازی سیستم کوانتومی است، و بردار حالت اولیه وابسته به یک فضای هیلبرت  $2^n$  بعدی  $H^{\otimes n}$  می باشد. این مرحله اولیه یک عملیات یونیتاری نیست. اما یک اندازه گیری تصویری و یک فرآیند اتلاف کننده است. کیوبیت‌ها تحت یک تحول کوانتومی یکانی بیان شده توسط یک عملگر یکانی  $u(t,t_0)$  در فضای هیلبرت  $H^{\otimes n}$  عمل می کنند که عملیات توضیح داده شده را انجام می دهد. برای مثال در یک تابع، مشکلات تجربی باعث دوری کردن از هر بر هم کنش با محیط می باشد، زیرا پدیده ناهمدوسی تحول یکانی را می سازد. همانطور که از قبل می دانیم، اگر یک بر هم کنش با محیط وجود داشته باشد، تحول یکانی در فضای هیلبرت اتفاق می افتد که از  $H^{\otimes n}$  بزرگتر است، زیرا این شامل درجه آزادی محیط اطراف کیوبیت‌ها است. برهم کنش‌ها با میدان کلاسیکی خارجی با تحول یکانی سازگار هستند و آنها نیازمند این هستند که کیوبیت‌ها را با مهارت به وسیله نوسان Rabi اداره کنند. اولین تحول کوانتومی کامل شده یک اندازه گیری بر روی کیوبیت‌ها (یا روی یک دسته از کیوبیت‌ها) در زمان  $t$  در مرتبه‌ای که محاسبات بدست می آیند می باشد. یک نکته مهم این است که حالت محاسبات نمی تواند در فاصله زمانی  $t_0$  و  $t$  مشاهده شود، چون هر اندازه گیری ممکن است تحول یکانی را تغییر دهد: جعبه  $u(t,t_0)$  از شکل (۱-۳) یک جعبه سیاه است که نباید با آن مداخله کرد. کیوبیت‌ها در ورودی و خروجی اندازه گیری شده‌اند، اما داخل جعبه اندازه گیری نشده‌اند. نکته ضروری دیگر این است که تحول یکانی برگشت پذیر است؛ اگر ما بردار حالت را در زمان  $t$  بدانیم، ما می توانیم دوباره بردار حالت را در زمان  $t_0$  با استفاده از  $u^{-1}(t,t_0)=u(t_0,t)$  بدست بیاوریم.

### ۳-۲- محاسبات برگشت پذیر

عبور از حالت کیوبیت اولیه در  $t=t_0$  به حالت کیوبیت نهایی در  $t$  توسط یک عملیات برگشت پذیر اتفاق می افتد، و الگوریتم های کامپیوتر کوانتومی حتماً باید برگشت پذیر باشند. این حالتی با الگوریتم های استفاده شده بر روی کامپیوترهای کلاسیکی که برگشت ناپذیرند نیست، و بنابراین بعداً نمی توانند مستقیماً با کامپیوترهای کوانتومی جابجا شوند. بیشتر گیت های منطقی معمولی برگشت

ناپذیرند. زیرا آنها مربوط به یک تبدیل (۲ بیت ← ۱ بیت) هستند، و حالت نهایی یک حالت تکبیتی

اجازه نمی دهد تا نمونه مطابق اصل از حالت دوبیتی اولیه انجام شود. برای مثال، گیت NAND

$$X \uparrow Y = 1 \oplus XY \quad (3-3)$$

که  $\oplus$  باقیمانده تقسیم بر ۲ است. نتیجه می دهد که:

$$(00) \rightarrow 1, (01) \rightarrow 1, (10) \rightarrow 1, (11) \rightarrow 0$$

و دانستن حالت نهایی اجازه نمی دهد که حالت ورودی دوباره ساخته شود. همانطور که می دانیم

گیت‌های NAND و COPY برای ساختن هر مدار منطقی مناسب هستند. یک سوال جالب این است

که به هر حال همه عملیات های منطقی معمولی می توانند بر روی کامپیوترهای کلاسیکی به طور

برگشت پذیر انجام شوند.

این سوال که در ابتدا فقط از لحاظ نظری جالب بود، در ابتدا توسط لانداور<sup>۱</sup> و بنت<sup>۲</sup> دو تن از

دانشمندانی که بر روی این مسأله کار می کردند مطرح شد. آنها شگفت زده بودند که چگونه می توان

یک محاسبه را بدون اتلاف انرژی انجام داد؟ در حقیقت، اطلاعات لزوماً به وسیله تعدادی پشتیبان

فیزیکی حمل می شوند. بنت با استفاده از این تحقیق بعد از چند قرن سرانجام توانست یک حل

رضایت بخش از پارادوکس ماکسول بدست بیاورد.

مطابق لانداور، یک عملیات شامل عملیات های برگشت ناپذیر شبیه اتلاف یک بیت اطلاعات در یک

عملیات NAND، حداقل به اندازه ی یک آنتروپی ترمودینامیکی  $K_B \ln 2$  بر بیت هزینه دارد. که  $K_B$

ثابت بولتزمن است  $K_B = 1.38 \times 10^{-23} J / K$  و بنابراین منجر به اتلاف انرژی  $\Delta E = K_B \ln 2$  در

محیط می شود که T دمای مطلق کامپیوتر است. در حال حاضر این یک مسئله آکادمیک است. زیرا

برای یک PC واقعی انرژی پراکنده شده به انرژی تولید شده، تقریباً  $\Delta E \approx 500 K_B T$  است که واقعاً به

علت مصرف الکتریکی است. و بنابراین ما هیچ کجا نزدیک  $K_B T$  نیستیم. اما، ممکن است که این

پرسش از نظر اهمیت کاربردی بعضی وقتها در آینده پیش بیاید. انرژی پراکنده شده بر مبنای عملیات

<sup>1</sup> Landauer

<sup>2</sup> Bennett

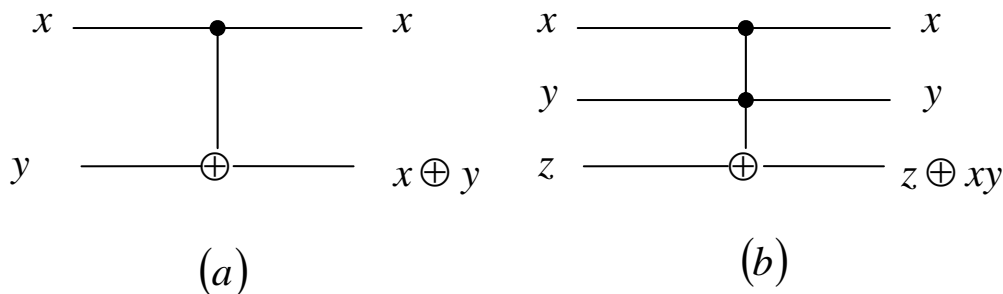


منطقی از نظریه‌ی در طی ۵۰ سال به اندازه ده مرتبه کاهش داشته است، بنابراین ممکن است که  $K_B T$  محدود شده به ۱۰ یا ۱۵ سال مربوط باشد.

دلیل حقیقی برای جذابیت محاسبات برگشت پذیر امکان جابجایی الگوریتم های کلاسیکی، با محاسبات کوانتومی است. به طوری که اشاره کردیم، جابجا کردن مستقیم امکان پذیر است، زیرا محاسبه کوانتومی برگشت پذیر است، و بنابراین عملیات NAND باید به وسیله یک عملیات برگشت پذیر معادل جایگزین شود.

همچنین ضروری است که معادل عملیات COPY بدون اینکه تضادی با قضیه no-cloning داشته باشد، وقتی که جابجایی نسخه کوانتومی گیتها را می سازد پیدا شود. این می تواند با استفاده از دو گیت اصلی انجام شود. گیت CNOT و گیت TOFFOLI (شکل (۲-۳)). اگر بیت هایی که به گیت Control-NOT (C-NOT) وارد می شوند  $(x, y)$  باشند، که  $x$  بیت کنترل و  $y$  بیت هدف<sup>۱</sup> است.

عمل گیت C-NOT روی بیت هدف به حالت بیت کنترل بر طبق طرح زیر وابسته است:



شکل (۲-۳): (a) گیت C-NOT. (b) گیت Toffoli نقطه سیاه بیت های کنترل و دایره ها بیت های هدف را نشان می دهند.

$$CNOT(x, y) \rightarrow (x, x \oplus y) \quad (3-3)$$

گیت C-NOT بیت  $x$  را کپی می کند اگر  $y=0$  و اگر  $y=1$  باشد به  $\neg x$  می برد، و به طور برگشت پذیر معادل به عملیات copy است. این عمل برگشت پذیر است، چون یک رابطه یک به یک بین حالت اولیه و نهایی وجود دارد. عملیات C-NOT یک جایگشت ساده از بردارهای پایه است. (بخش ۳-۴ را ببینید). این عمل می تواند با استفاده از یک گیت تک بیتی نشان داده شود.

<sup>1</sup> target

$$X \rightarrow 1 \oplus X \quad \text{یا} \quad X \rightarrow \neg X \quad (۴-۳)$$

و گیت C-NOT، ممکن است فقط تابعهای خطی را ایجاد کند اگر ما خودمان را به عملیات های کلاسیکی محدود کنیم. اگر  $(x, y)$  و  $(x', y')$  بیتهای اولیه و نهایی باشند می توان نشان داد که:

$$\begin{pmatrix} x' \\ y' \end{pmatrix} = \begin{pmatrix} \alpha & \beta \\ \gamma & \delta \end{pmatrix} \begin{pmatrix} x \\ y \end{pmatrix} + \begin{pmatrix} \lambda \\ \mu \end{pmatrix} \quad (۵-۳)$$

که  $\alpha, \beta, \dots, \mu$  ضرایب عددی هستند. ضروری است که یک گیت جمعی به نام گیت Toffoli معرفی کنیم که یک گیت با سه بیت ورودی و سه بیت خروجی است. دو تا از آنها بیتهای کنترل  $(x, y)$  و دیگری یک بیت هدف  $z$  است:

$$Toffoli : (x, y, z) \rightarrow (x, y, z \oplus xy) \quad (۶-۳)$$

غیر خطی بودن گیت از عامل آشکار است. اگر  $z=1$  باشد، گیت Toffoli عملیات NAND را به طور برگشت پذیر انجام می دهد. گیت Toffoli می تواند با دوباره برگشت پذیر ساختن همه مدارهای منطقی کلاسیکی استفاده شود. گیت Toffoli یک گیت جهانی برای همه عملیات های منطقی بولین است.

### ۳-۳- گیت های منطق کوانتومی

عموماً تحول کوانتومی یک تبدیل یکانی در فضای هیلبرت  $2^n$  بعدی  $H^{\otimes n}$  از  $n$  کیوبیت است. عموماً گیت منطق کوانتومی یک ماتریس  $2^n \times 2^n$  یکانی است که در فضای هیلبرت  $H^{\otimes n}$  عمل می کند. یک قضیه از جبر خطی که ما بدون اثبات آن را شرح می دهیم به ما اجازه می دهد که خودمان را به عملیات بر روی یک و دو کیوبیت محدود کنیم.

قضیه: هر تبدیل یکانی در  $H^{\otimes n}$  می تواند به یک حاصلضرب از گیت های CNOT و تبدیلات یکانی بر روی یک کیوبیت تجزیه شود.

همان طور که قبلاً توضیح داده شد، یک عملیات بر روی کیوبیت منفرد نمی تواند یک تبدیل یکانی عمومی از  $H^{\otimes n}$  تولید کند زیرا هر عملیات یک شکلی از حاصلضرب تا نسوری دارد.

$$U = U^{(1)} \otimes U^{(2)} \otimes \dots \otimes U^{(n)} \quad (7-3)$$

ضروری است که عملیات غیر بدیهی بر روی حداقل دو کیوبیت انجام دهیم تا یک تبدیل یکانی عمومی بدست آوریم. قضیه فوق تضمین می‌کند که این کار مناسب است. این قضیه یک قضیه حیاتی است. و عموماً راه آسانتر این است که گیت‌های منطق کوانتومی برای یک مسئله داده شده، بدون استفاده از این قضیه آشکارا تولید شوند. نمایش گیت C-NOT به صورت ماتریس  $4 \times 4$  مفید است. عملیات C-NOT بر حسب کیوبیت‌ها مربوط می‌شود به تبدیل:

$$|00\rangle \rightarrow |00\rangle, |01\rangle \rightarrow |01\rangle, |10\rangle \rightarrow |11\rangle, |11\rangle \rightarrow |10\rangle$$

در پایه‌های  $\{|00\rangle, |01\rangle, |10\rangle, |11\rangle\}$  نمایش ماتریسی به صورت زیر است:

$$CNOT = \begin{pmatrix} 1 & 0 & 0 & 0 \\ 0 & 1 & 0 & 0 \\ 0 & 0 & 0 & 1 \\ 0 & 0 & 1 & 0 \end{pmatrix} = \begin{pmatrix} I & 0 \\ 0 & \sigma_x \end{pmatrix} \quad (8-3)$$

در این شکل واضح است که C-NOT نمی‌تواند یک حاصلضرب تا نسوری باشد. تعمیم یافته گیت C-NOT گیت Control-U (CU) است. که ماتریس  $\sigma_x$  به وسیله یک ماتریس  $2 \times 2$  یکانی جایگزین می‌شود.

$$CU = \begin{pmatrix} I & 0 \\ 0 & U \end{pmatrix} \quad (9-3)$$

گیت CU بیت هدف را اگر  $x=0$  بدون تغییر رها می‌کند و اگر  $x=1$  باشد. آن را به صورت

$$|y\rangle = U|y\rangle \quad (10-3)$$

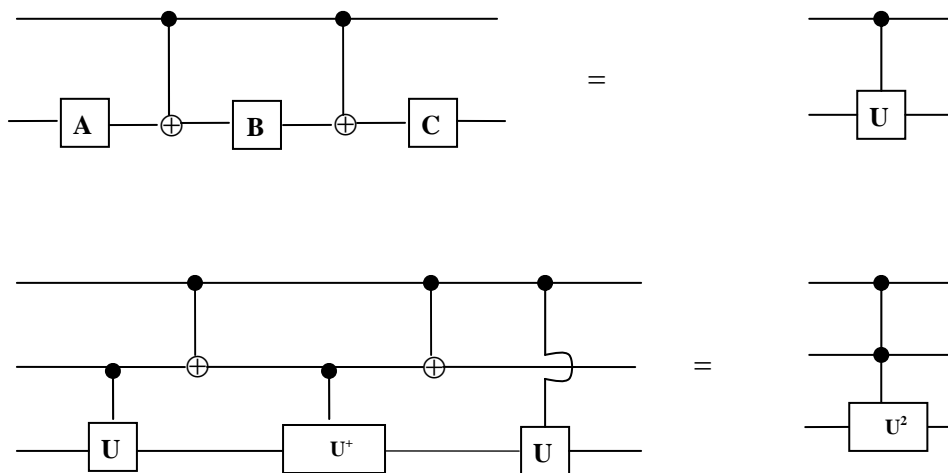
تغییر می‌دهد. گیت CU می‌تواند با شروع از گیت C-NOT تولید شود (شکل (3-3)).

ضروری است که سه عملگر A، B و C یکانی را به شکل زیر پیدا کنیم:

$$CBA=I, \quad C\sigma_x B\sigma_x A=U \quad (11-3)$$

در فیزیک کوانتومی گیت Toffoli ممکن است از گیت‌های CU و گیت‌های CNOT (شکل (3-3)) با

$$\sqrt{\sigma_x} = \frac{1}{1+i} \begin{pmatrix} 1 & i \\ i & 1 \end{pmatrix} \quad (U = \sqrt{\sigma_x}) \text{ و معادله زیر تولید شود:}$$

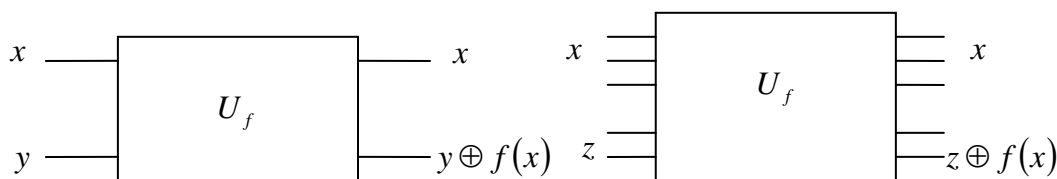


شکل (۳-۳): ساختن گیت CU و گیت Toffoli. نمودارها از چپ به راست خوانده می شوند و حاصلضرب عملگرها از راست به چپ عمل می کند.

که در فیزیک کلاسیک ممکن نیست، چرا که عملیات  $\sqrt{\sigma_x}$  وجود ندارد. در مقابل حالت کلاسیکی ضروری نیست که گیت Toffoli را به طور آشکار با تولید کردن آنسامبلی از مدارهای منطقی برگشت پذیر معرفی می کنیم. از نتیجه بخش ۳-۲ می بینیم که اگر یک مدار منطقی کلاسیکی در دسترس داشته باشیم اجازه می دهد که یک تابع  $f(x)$  محاسبه شود. پس می توانیم بر حسب نیاز یک مدار کوانتومی به تعداد گیتها تولید کنیم.

حال می دانیم که یک مدار منطقی کوانتومی وجود دارد که می تواند یک تابع  $f(x)$  را ارزیابی کند، برای مثال، با جابجا کردن یک الگوریتم کلاسیکی، می توانیم ایده های اساسی هم ارزی کوانتومی (توازی کوانتومی) را قرار دهیم. از دو رجیستر استفاده خواهیم کرد. یک رجیستر ورودی که بیتهای مورد نیاز  $X$  را ذخیره می کند و یک رجیستر خروجی که بیتهای مورد نیاز  $f(x)$  را ذخیره می کند. برای ساده شدن بحث، با حالتی که رجیستر ورودی یک رجیستر تک بیتی است شروع می کنیم، به طوری که رجیستر خروجی هم تک بیتی است. یک تبدیل  $U_f$  (شکل (۳-۴)) می سازیم که عملیات زیر را انجام دهد.

$$U_f(x, y) \rightarrow (x, y \oplus f(x)) \quad (۱۲-۳)$$



شکل (۳-۴): ساخت  $U_f$ : (a) 2 کیو بیتی. (b)  $(n+m)$  کیوبیتی.

اگر مقدار اولیه  $y=0$  باشد. به طور خلاصه داریم:

$$(x, 0) \xrightarrow{U_f} (x, f(x))$$

یک سوال وجود دارد که چرا به سادگی تبدیل  $x \rightarrow f(x)$  را انجام نمی‌دهیم. پاسخ این است که اگر رابطه بین  $x$  و  $f(x)$  یک به یک نباشد، تبدیل نظیر نمی‌تواند یکانی باشد. و بنابراین برای یک الگوریتم کوانتومی مناسب نیست. برعکس این آسان است که خودمان را قانع کنیم که  $U_f$  یکانی است، زیرا یک اتحاد مربع است.

$$(x, [y \oplus f(x)]) \xrightarrow{U_f} (x, [y \oplus f(x)] \oplus f(x)) = (x, y) \quad (۳-۱۳)$$

به علت اینکه برای هر  $f(x) \oplus f(x) = 0, f(x)$  است. عملیات  $U_f$  یک بردار پایه را به دیگری تبدیل می‌کند. چون  $U_f^2 = I$  این ارتباط فقط می‌تواند یک تغییر جایگشت چهار بردار پایه باشد، و بنابراین یک تبدیل یکانی است. در نماد گذاری عملگری:

$$U_f |x \otimes 0\rangle = |x \otimes f(x)\rangle, U_f |x \otimes y\rangle = |x \otimes [y \oplus f(x)]\rangle \quad (۳-۱۴)$$

اجازه دهید تا حالت  $|0\rangle_x$  را با یک گیت هادامارد  $H$  به کار ببریم.

$$H = \frac{1}{\sqrt{2}} \begin{pmatrix} 1 & 1 \\ 1 & -1 \end{pmatrix} \quad (۳-۱۵)$$

یا

$$H |0\rangle = \frac{1}{\sqrt{2}} (|0\rangle + |1\rangle)$$

$$H |1\rangle = \frac{1}{\sqrt{2}} (|0\rangle - |1\rangle)$$

حال اگر کیوبیت دوم در حالت  $|0\rangle$  اولیه باشد بردار حالت نهایی دو کیوبیت، حالت جفت شده زیراست:

$$|\psi\rangle = U_f |H0 \otimes 0\rangle = U_f \frac{1}{\sqrt{2}} (|0 \otimes 0\rangle + |1 \otimes 0\rangle) = \frac{1}{\sqrt{2}} (|0 \otimes f(0)\rangle + |1 \otimes f(1)\rangle) \quad (۱۶-۳)$$

بردار حالت  $|\psi\rangle$  اطلاعات بر روی  $f(0)$  و  $f(1)$  را همزمان در بردارد، و محاسبات بردار  $|\psi\rangle$  نیازمند تعدادی عملیات به صورت  $U_f |0 \otimes 0\rangle$  یا  $U_f |1 \otimes 0\rangle$  به طور جداگانه است:  $U_f$  یک عملگر یکانی است که به حالت برداری به کار رفته وابسته نیست.

### ۳-۴- الگوریتم دوچ<sup>۱</sup>

همانطور که گفتیم  $|\psi\rangle$  در معادله (۱۶-۳) اطلاعات بر روی  $f(0)$  و  $f(1)$  را همزمان دربر دارد، اما اگر بخواهیم یک جدول از مقادیر معلوم  $f(x)$  بسازیم، این کاربر روی یک کامپیوتر کلاسیکی هیچ فایده‌ای ندارد. اما ممکن است این اتفاق بیافتد که فقط به اطلاعاتی احتیاج داشته باشیم که نیاز به ساختن جدول مورد نظر نباشد. پس ممکن است که یک الگوریتم کوانتومی بتواند طوری رفتار کند که اطلاعات موجود در  $|\psi\rangle$  نتایج را با استفاده از عملیات کمتری از یک الگوریتم کلاسیکی بدست آورد. چگونگی این کار را توضیح خواهیم داد.

برای مثال: الگوریتم دوچ می تواند با استفاده از مدار شکل (۳-۵) با رجیسترهای ورودی و خروجی یک کیوبیتی درک شود. تابع نامعلوم  $f(x)$  دو مقدار 0 یا 1 را می گیرد و می توانیم سوال زیر را مطرح کنیم. آیا  $f(0)=f(1)$  را داریم (یک تابع ثابت) یا  $f(0) \neq f(1)$  (یک تابع بالانس شده) را داریم؟ اگر از یک الگوریتم کلاسیکی استفاده می کردیم، باید  $f(0)$  و  $f(1)$  را محاسبه می کردیم و دو مقدار را با هم مقایسه کنیم. اما اگر از یک کامپیوتر کوانتومی استفاده کنیم، این سوال می تواند در یک تک عملیات پاسخ داده شود. یک مسئله معادل این بررسی سکه است: آیا دو طرف متفاوتند یا آنها یکسان هستند؟ کامپیوتر کوانتومی اجازه می دهد که این مقایسه را بدون نگاه کردن به دو طرف سکه در تکرار انجام دهیم. این مثال البته برای هر کاربرد مقدماتی جالب است، اما ساده ترین مثال توازی کوانتومی است.

<sup>1</sup>.Deutsch

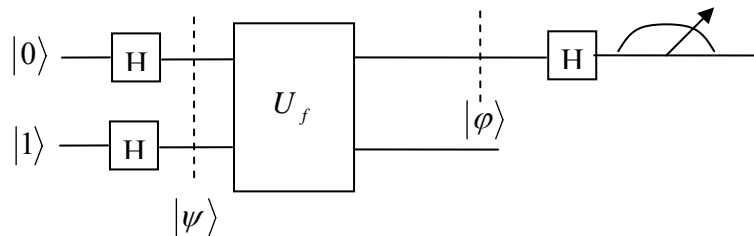
مدار شکل (۵-۳) حالت  $|\psi\rangle$  را در ورودی جعبه  $U_f$  دارد، رجیستر ورودی در ابتدا در حالت  $|0\rangle$  و رجیستر خروجی در حالت  $|1\rangle$  قرار دارند.

$$|\psi\rangle = (H|0\rangle) \otimes (H|1\rangle) = \frac{1}{2}(|0\rangle + |1\rangle) \otimes (|0\rangle - |1\rangle) = \frac{1}{2} \left( \sum_{x=0}^1 |x\rangle \right) \otimes (|0\rangle - |1\rangle) \quad (۱۷-۳)$$

$U_f$  در (۱۶-۳) را در این حالت به کار می‌بریم که نتیجه زیر را می‌دهد:

$$f(x) = 0 \Rightarrow (|0\rangle - |1\rangle) \rightarrow (|0\rangle - |1\rangle) \quad \text{اگر ۱.}$$

$$f(x) = 1 \Rightarrow (|0\rangle - |1\rangle) = (|1\rangle - |0\rangle) \rightarrow (|0\rangle - |1\rangle) \quad \text{اگر ۲.}$$



شکل (۵-۳): الگوریتم دوچ

یا به طور خلاصه:

$$(|0\rangle - |1\rangle) \rightarrow (-1)^{f(x)} (|0\rangle - |1\rangle) \quad (۱۸-۳)$$

حالت  $U_f |\psi\rangle$  حاصلضرب تانسوری زیر است:

$$U_f |\psi\rangle = \frac{1}{2} \left( \sum_{x=0}^1 (-1)^{f(x)} |x\rangle \right) \otimes (|0\rangle - |1\rangle) \quad (۱۹-۳)$$

نتیجه خالص برای رجیستر ورودی به صورت زیر است:

$$|x\rangle \xrightarrow{U_f} (-1)^{f(x)} |x\rangle \quad (۲۰-۳)$$

در این حالت خاص جعبه  $U_f$  یک پیشگو<sup>۱</sup> نامیده می‌شود. توجه شود که رجیسترهای ورودی و خروجی بعد از پیشگویی غیر جفت شده هستند. حالتی از کیوبیت رجیستر ورودی به صورت زیر است:

$$|\Phi\rangle = \frac{1}{\sqrt{2}} \left( (-1)^{f(0)} |0\rangle + (-1)^{f(1)} |1\rangle \right) \quad (۲۱-۳)$$

<sup>۱</sup>. oracle

قبل از اندازه‌گیری رجیستر ورودی، یک گیت هادامارد رابه کار می‌بریم (شکل (۵-۳) را ببینید):

$$\begin{aligned} H|\varphi\rangle &= \frac{1}{\sqrt{2}} \left[ (-1)^{f(0)}(|0\rangle + |1\rangle) + (-1)^{f(1)}(|0\rangle - |1\rangle) \right] = \\ &= \frac{1}{2} \left[ (-1)^{f(0)} + (-1)^{f(1)} \right] |0\rangle + \frac{1}{2} \left[ (-1)^{f(0)} - (-1)^{f(1)} \right] |1\rangle \end{aligned} \quad (22-3)$$

اگر اندازه‌گیری کیوبیت  $|0\rangle$  را بدهد، پس  $f(0)=f(1)$ ، یعنی تابع در ابتدا ثابت است. اگر  $|1\rangle$  را بدهد، پس  $f(0) \neq f(1)$  و تابع در ابتدا بالانس شده است. یک نکته مهم این است که توازی کوانتومی اجازه می‌دهد که محاسبات صریح تابع  $f(x)$  را کنار بگذاریم و اندازه‌گیری یک تک کیوبیت دو نتیجه ممکن را در بردارد. این روش را می‌توان به چند کیوبیت تعمیم داد.

### ۳-۵- تعمیم به $n+m$ کیوبیت

بحث فوق می‌تواند به یک رجیستر ورودی  $n$  کیوبیتی و یک رجیستر خروجی  $m$  کیوبیتی تعمیم داده شود که  $m$  تعداد بیت‌های مورد نیاز برای نوشتن  $f(x)$  است. برای مثال برای رجیستر ورودی  $n=3$  قرار می‌دهیم. با استفاده از نماد گذاری  $|x\rangle$  که  $x$  یکی از هشت عدد (در مبنای دو) زیر است:

$$|000\rangle, |001\rangle, |010\rangle, |011\rangle, |100\rangle, |101\rangle, |110\rangle, |111\rangle \quad (23-3)$$

ترفند خاص یک کامپیوتر کوانتومی این است که می‌توان یک ترکیب خطی از بردارهای پایه محاسباتی با استفاده از اپراتور  $H$  ساخت که در حالت خاص  $n=3$  داریم:

$$|\Psi\rangle = H^{\otimes 3} |000\rangle = \frac{1}{\sqrt{8}} \sum_{x=0}^7 |x\rangle \quad (24-3)$$

که  $H^{\otimes 3}$  ضرب تانسوری سه اپراتور  $H$  را مشخص می‌کند. به طور عمومی

$$H^{\otimes n} |0^{\otimes n}\rangle = \frac{1}{\sqrt{2^n}} \sum_{x=0}^{2^n-1} |x\rangle \quad (25-3)$$

که  $|x\rangle = |x_{n-1} \dots x_1 x_0\rangle$  نمایش در مبنای دو عدد  $x$  و بردار حالت پایه محاسباتی  $|x_{n-1} \dots x_1 x_0\rangle$  است، که  $x_{n-1}, \dots, x_1, x_0$  مقادیر 0 یا 1 را می‌گیرند. اپراتور  $U_f$  با استفاده از تعمیم رابطه (۱۴-۳) به



صورت شکل (۳-۴) (b) تعریف می‌شود:

$$U_f |x \otimes z\rangle = |x \otimes [z \oplus f(x)]\rangle \quad (۳-۲۶)$$

که  $\oplus$  باقیمانده بر ۲ بدون انتقال به صفحه بعد است، برای مثال:

$$1101 \oplus 0111 = 1010$$

$$|x\rangle = |x_{n-1} \dots x_1 x_0\rangle \quad \text{به یاد داریم که:}$$

$$|z\rangle = |z_{n-1} \dots z_1 z_0\rangle$$

با 1 یا  $x_i, z_i = 0$  با این اطمینان که  $U_f^2 = I$  و  $U_f$ ، که یک جایگشت ساده از  $2^{n+m}$  بردار پایه،

یکانی است. اگر ما  $|0^{\otimes m}\rangle$  را به صورت حالت اولیه رجیستر خروجی قرار دهیم. پس:

$$U_f |x \otimes 0^{\otimes m}\rangle = |x \otimes f(x)\rangle \quad (۳-۲۷)$$

اگر در نهایت H را با رجیستر ورودی در حالت  $|0^{\otimes n}\rangle$  قبل از  $U_f$  به کار ببریم. بردار حالت نهایی

به صورت خطی زیر خواهد شد:

$$|\Psi_{fin}\rangle = U_f \left| \left( H^{\otimes n} 0^{\otimes n} \right) \otimes 0^{\otimes m} \right\rangle = \frac{1}{\sqrt{2^n}} \sum_{x=0}^{2^n-1} |x \otimes f(x)\rangle \quad (۳-۲۸)$$

این بردار حالت در اصل شامل  $2^n$  مقدار از تابع  $f(x)$  است (همه آنها با هم متفاوت نیستند).

برای مثال اگر  $n=100$  باشد، آن شامل تقریباً  $10^{30}$  مقدار از  $f(x)$  است که یک رشد نمایی حالت‌ها

است که به واقعه شگفت‌انگیز توازی کوانتومی منجر می‌شود. البته یک اندازه‌گیری فقط می‌تواند

یکی از این مقادیر را بدهد. به طوری که در الگوریتم دوچ دیده ایم این، این هرگز ممکن نیست که

اطلاعات مفید درباره رابطه بین مقادیر  $f(x)$  برای یک آنسامبل از مقادیر مختلف  $x$  را خارج کند. یک

کامپیوتر کلاسیکی باید  $f(x)$  را برای همه این مقادیر  $x$  وابسته ارزیابی کند. [3, 4, 5]

فصل چهارم:

تبدیل فوریه کوانتومی و کاربردهای آن

## تبدیل فوریه کوانتومی و کاربردهای آن

### ۴-۱- تعریف:

امروزه مهترین کشف در محاسبات کوانتومی این است که کامپیوترهای کوانتومی می توانند کارهایی که در کامپیوترهای کلاسیکی ممکن نیستند را به طور موثر انجام دهند. برای مثال پیدا کردن عوامل اول یک عدد  $n$  بیتی در بهترین الگوریتمهای کلاسیکی شناخته شده به نام غربال میدان عددی نیازمند  $\exp\left(\Theta\left(n^{\frac{1}{3}} \log^{\frac{2}{3}} n\right)\right)$  عملیات در زمان نوشتن می باشد که  $\Theta$  مرتبه بزرگی عبارت است. این عدد تجزیه شده در ابتدا به صورت نمایی است. بنابراین تجزیه عموماً به عنوان یک مسئله سخت بر روی یک کامپیوتر کلاسیکی مطرح شده است. در مقابل، یک الگوریتم کوانتومی می تواند کار مشابه را با استفاده از  $O(n^2 \log n \log \log n)$  عملیات انجام دهد. بنابراین یک کامپیوتر کوانتومی می تواند یک عدد نمایی را سریعتر از بهترین الگوریتمهای کلاسیکی شناخته شده تجزیه کند. این نتیجه خود در حقیقت مهم است، اما شاید در مهمترین جنبه جالب در این مسئله، این سوال مطرح شود: چگونه مسائل دیگر که بر روی کامپیوتر کلاسیکی غیر عملی هستند، می توانند به طور مؤثر بر روی یک کامپیوتر کوانتومی انجام شوند؟

در این بخش تبدیل فوریه کوانتومی را بسط می دهیم، که از عوامل اصلی برای تجزیه کوانتومی و بسیاری از الگوریتمهای کوانتومی جالب دیگر است. تبدیل فوریه کوانتومی، که شروع می کنیم، یک الگوریتم کوانتومی موثر برای انجام یک تبدیل فوریه از دامنه های مکانیک کوانتومی است. استفاده از

تبدیل فوریه بر روی داده های کلاسیکی سرعت کار کلاسیکی را بالا نمی برد. اما یک کارمهم که قادر است انجام دهد، تخمین فاز می باشد. تخمین ویژه مقادیر یک اپراتور یکانی تحت شرایط معین، در این بخش توضیح داده می شود. این مسئله اجازه می دهد تا چندین مسئله جالب دیگر شامل مسئله پیدا کردن مرتبه و مسئله تجزیه را حل کنیم. که در بخش ۳-۴ تو ضیح داده شده اند.

تخمین فاز همچنین می تواند با الگوریتم جستجوی کوانتومی ترکیب شود تا مسئله حل شمردن<sup>۱</sup> را با یک مسئله جستجو حل کند. تبدیل فوریه کوانتومی ممکن است استفاده شود تا مسئله زیر گروه مخفی را حل کند.

دیگر مسائل گفته شده بر روی یک کامپیوتر کلاسیکی سخت هستند.

#### ۲-۴- تبدیل فوریه کوانتومی<sup>۲</sup>

یکی از مفید ترین راه حل های یک مسئله در علم ریاضی یا کامپیوتر تبدیل آن به چند مسئله دیگر که حل آن را می دانیم است. چند تبدیل از این نوع وجود دارد که اغلب پیدا می شوند و بنابراین در خیلی مفاهیم سخت تبدیلات برای منظور خاص خودشان یاد گرفته می شوند. بزرگترین کشف از محاسبات کوانتومی چند تبدیل دارد که خیلی سریعتر بر روی یک کامپیوتر کوانتومی از یک کامپیوتر کلاسیکی می توانند محاسبه شوند. این کشف قادر می باشد که الگوریتم های سریعتر برای کامپیوترهای کوانتومی بسازد. یکی از این تبدیلات، تبدیل فوریه گسسته است. در زبان ریاضی معمولی، تبدیل فوریه گسسته بر روی یک بردار از اعداد مختلط به عنوان ورودی عمل می کند.  $x_0, x_1, \dots, x_{N-1}$  که طول  $N$  از بردار پارامتر ثابتی است. در خروجی داده های تبدیل یافته، یک بردار از اعداد مختلط  $y_0, \dots, y_{N-1}$  هستند، تبدیل فوریه با رابطه زیر تعریف می شود :

$$y_k \equiv \frac{1}{\sqrt{N}} \sum_{j=0}^{N-1} x_j e^{2\pi i j \frac{k}{N}} |k\rangle \quad (1-4)$$

<sup>1</sup> . counting solutions

<sup>2</sup> .quantum fourier transform

تبدیل فوریه کوانتومی دقیقاً نظیر این تبدیل است، اگر چه نماد قراردادی برای تبدیل فوریه کوانتومی تا حدودی متفاوت است. تبدیل فوریه کوانتومی بر روی پایه‌های متعامد  $|N-1\rangle$  و... و  $|0\rangle$  تعریف می‌شود و به صورت یک اپراتور خطی است که در زیر بر روی حالت های پایه عمل می‌کند:

$$|j\rangle \rightarrow \frac{1}{\sqrt{N}} \sum_{k=0}^{N-1} e^{2\pi i j \frac{k}{N}} |k\rangle \quad (2-4)$$

به صورت مشابه عملیات بر روی یک حالت دلخواه ممکن است به صورت زیر نوشته شود:

$$\sum_{j=0}^{N-1} x_j |j\rangle \rightarrow \sum_{k=0}^{N-1} y_k |k\rangle \quad (3-4)$$

که دامنه های  $y_k$  تبدیل فوریه گسسته از دامنه های  $x_j$  هستند. این یک شکل واضح از تعریف نیست، اما این تبدیل یک تبدیل یکانی است و بدین معناست که طول بردار ثابت است و بنابراین می‌تواند به صورت دینامیکی برای یک کامپیوتر کوانتومی انجام شود. یکانی بودن تبدیل فوریه را به وسیله ساختن یک مدار کوانتومی یکانی که تبدیل فوریه را محاسبه می‌کند اثبات خواهیم کرد. همچنین به آسانی می‌توانیم به طور مستقیم ثابت کنیم تبدیل فوریه یکانی است.

در زیر،  $N=2^n$  قرار می‌دهیم، که  $n$  تعداد اعداد صحیح است، و پایه های  $|0\rangle, \dots, |2^n - 1\rangle$  پایه های محاسباتی برای یک کامپیوتر کوانتومی  $n$  بیتی هستند.

مفید است که حالت  $|j\rangle$  را با استفاده از نمایش در مبنای دو به صورت  $j = j_1 j_2 \dots j_n$  بنویسیم که به صورت فرمولی  $j = j_1 2^{n-1} + j_2 2^{n-2} + \dots + j_n 2^0$  است. همچنین مفید است که نماد

$$o.j_l j_{l+1} \dots j_m \text{ را به عنوان نمایش اعشار در مبنای ۲، } \frac{j_l}{2} + \frac{j_{l+1}}{4} + \dots + \frac{j_m}{2^{m-l+1}} \text{ قبول کنیم.}$$

با یک محاسبات جبری کوچک تبدیل فوریه کوانتومی می‌تواند به صورت نمایش حاصلضرب مفید زیر بدست بیاید:

$$|j_1, \dots, j_n\rangle \rightarrow \frac{(|0\rangle + e^{2\pi i 0 \cdot j_n} |1\rangle)(|0\rangle + e^{2\pi i 0 \cdot j_{n-1} j_n} |1\rangle) \dots (|0\rangle + e^{2\pi i 0 \cdot j_1 j_2 \dots j_n} |1\rangle)}{2^{\frac{n}{2}}} \quad (4-4)$$

این نمایش ضربی مفید است، چون حتی ممکن است این تعریف را تعریفی از تبدیل فوریه کوانتومی در نظر بگیرید. همان طور که به طور کوتاه بدست آوردیم با این نمایش می توان یک مدار کوانتومی مناسب ساخت که تبدیل فوریه را محاسبه کند. یک اثبات وجود دارد که تبدیل فوریه کوانتومی یکانی است، و بینشی با الگوریتم های بناشده بر روی تبدیل فوریه کوانتومی فراهم می کند. به صورت یک نتیجه وابسته تبدیل فوریه سریع کلاسیکی را بدست می آوریم. معادل نمایش ضربی (۴-۴) و تعریف (۲-۴) در زیر از تعدادی عملیات جبری مقدماتی نشان داده می شود که:

$$|j\rangle \rightarrow \frac{1}{\sqrt{N}} \sum_{k=0}^{N-1} e^{2\pi i \frac{jk}{N}} |k\rangle \quad \text{که} \quad N = 2^n$$

$$|j\rangle \rightarrow \frac{1}{\sqrt{2^n}} \sum_{k=0}^{2^n-1} e^{2\pi i \frac{jk}{2^n}} |k\rangle \quad (۵-۴)$$

$$j = j_1 2^{n-1} + j_2 2^{n-2} + \dots + j_{n-1} 2^1 + j_n 2^0$$

$$j = j_1 j_2 \dots j_n$$

$$0 \cdot j_l j_{l+1} \dots j_m = \frac{j_l}{2} + \frac{j_{l+1}}{4} + \dots + \frac{j_m}{j^{m-l+1}}$$

چون تمام k ها یا صفر ند یا یک پس داریم:

$$\sum_{k=0}^{2^n-1} = \sum_{k_1=0}^1 \sum_{k_2=0}^1 \dots \sum_{k_n=0}^1$$

$$2 \times 2 \times \dots \times 2 = 2^n$$

$$|j\rangle = \frac{1}{2^{\frac{n}{2}}} \sum_{k_1=0}^1 \sum_{k_2=0}^1 \dots \sum_{k_n=0}^1 e^{2\pi i j \frac{k}{2^n}} |k\rangle$$

$$|k\rangle = |k_1 k_2 \dots k_n\rangle = |k_1\rangle |k_2\rangle \dots |k_n\rangle \Rightarrow$$

$$\Rightarrow |j\rangle \rightarrow \frac{1}{2^{\frac{n}{2}}} \sum_{k_1=0}^1 \dots \sum_{k_n=0}^1 e^{2\pi i j (k_1 k_2 \dots k_n) 2^{-n}} |k_1 k_2 \dots k_n\rangle$$

$$|j\rangle \rightarrow \frac{1}{2^{\frac{n}{2}}} \sum_{k_1=0}^1 \dots \sum_{k_n=0}^1 e^{2\pi i j \left( \sum_{l=1}^n k_l 2^{-l} \right) 2^{-n}} |k_1 k_2 \dots k_n\rangle$$

$$|j\rangle \rightarrow \frac{1}{2^{\frac{n}{2}}} \sum_{k_1=0}^1 \dots \sum_{k_n=0}^1 \left[ e^{2\pi i j [k_1 2^{-1} + k_2 2^{-2} + \dots + k_n 2^{-n}]} \right] |k_1\rangle |k_2\rangle \dots |k_n\rangle \quad (6-4)$$

$$|j\rangle \rightarrow \frac{1}{2^{\frac{n}{2}}} \sum_{k_1=0}^1 \dots \sum_{k_n=0}^1 \left[ \left( e^{2\pi i j k_1 2^{-1}} |1\rangle \right) \left( e^{2\pi i j k_2 2^{-2}} |k_2\rangle \right) \dots \left( e^{2\pi i j k_n 2^{-n}} |k_n\rangle \right) \right]$$

$$|j\rangle \rightarrow \frac{1}{2^{\frac{n}{2}}} \sum_{k_1=0}^1 \dots \sum_{k_n=0}^1 \bigotimes_{l=1}^n e^{2\pi i j k_l 2^{-l}} |k_l\rangle \quad (7-4)$$

$$|j\rangle \rightarrow \frac{1}{2^{\frac{n}{2}}} \bigotimes_{l=1}^n \left[ \sum_{k_l=0}^1 e^{2\pi i j k_l 2^{-l}} |k_l\rangle \right] \quad (8-4)$$

$$= \frac{1}{2^{\frac{n}{2}}} \bigotimes_{l=1}^n \left[ e^{2\pi i j 0 2^{-l}} |0\rangle + e^{2\pi i j 1 2^{-l}} |1\rangle \right]$$

$$= \frac{1}{2^{\frac{n}{2}}} \bigotimes_{l=1}^n \left[ |0\rangle + e^{2\pi i j 2^{-l}} |1\rangle \right] \quad (9-4)$$

اگر به جای  $L$  مقدار قرار دهیم داریم:

$$l = 1 \rightarrow \left[ |0\rangle + e^{2\pi i j 2^{-1}} |1\rangle \right]$$

$$l = 2 \rightarrow \left[ |0\rangle + e^{2\pi i j 2^{-2}} |1\rangle \right]$$

از طرفی داریم:

$$l = 1 \rightarrow e^{2\pi i j_n 2^{-1}} = e^{2\pi i \frac{j_n}{2}} = e^{2\pi i 0 \cdot j_n} \quad (1)$$

$$l = 2 \rightarrow e^{2\pi i j_{n-1} 2^{-1}} e^{2\pi i j_n 2^{-2}} = e^{2\pi i (j_{n-1} 2^{-1} + j_n 2^{-2})} = e^{2\pi i \left( \frac{j_{n-1}}{2} + \frac{j_n}{4} \right)} = e^{2\pi i 0 \cdot j_{n-1} j_n} \quad (2)$$

$$l = 3 \rightarrow e^{2\pi i j_{n-2} 2^{-1}} e^{2\pi i j_{n-1} 2^{-2}} e^{2\pi i j_n 2^{-3}} = e^{2\pi i (j_{n-2} 2^{-1} + j_{n-1} 2^{-2} + j_n 2^{-3})} =$$

$$= e^{2\pi i \left( \frac{j_{n-2}}{2} + \frac{j_{n-1}}{4} + \frac{j_n}{8} \right)} = e^{2\pi i 0 \cdot j_{n-2} j_{n-1} j_n} \quad (3)$$

اگر این کار را تا n بار انجام دهیم داریم:

$$l = n \rightarrow e^{2\pi i j_1 2^{-1}} e^{2\pi i j_2 2^{-2}} \dots e^{2\pi i j_{n-1} 2^{-n+1}} e^{2\pi i j_n 2^{-n}} = e^{2\pi i (j_1 2^{-1} + j_2 2^{-2} + \dots + j_{n-1} 2^{-n+1} + j_n 2^{-n})}$$

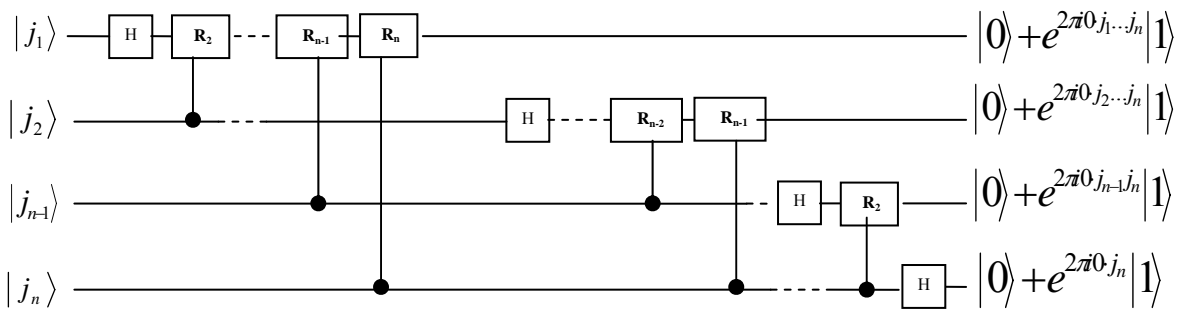
$$= e^{2\pi i \left( \frac{j_1}{2} + \frac{j_2}{4} + \dots + \frac{j_{n-1}}{2^{n-1}} + \frac{j_n}{2^n} \right)} = e^{2\pi i 0 \cdot j_1 j_2 \dots j_{n-1} j_n} \quad (n)$$

از معادله (4-6) و (1) و (2) و (3) و ... و (n) داریم:

$$|j\rangle \rightarrow \frac{\left( |0\rangle + e^{2\pi i 0 \cdot j_n} |1\rangle \right) \left( |0\rangle + e^{2\pi i 0 \cdot j_{n-1} j_n} |1\rangle \right) \dots \left( |0\rangle + e^{2\pi i 0 \cdot j_1 j_2 \dots j_n} |1\rangle \right)}{2^{\frac{n}{2}}} \quad (10-4)$$

نمایش حاصل ضرب (4-4) به راحتی درست می شود و به راحتی یک مدار موثر برای تبدیل فوریه کوانتومی را نتیجه می دهد. نظیر مدار نشان داده شده در شکل (4-1) گیت  $R_k$  تبدیل یکانی را مشخص می کند.

$$R_k = \begin{bmatrix} 1 & 0 \\ 0 & e^{2\pi i / 2^k} \end{bmatrix} \quad (11-4)$$



شکل (4-1): مدار تبدیل فوریه کوانتومی.



با مشاهده مدار ترسیم شده تبدیل فوریه کوانتومی محاسبه می شود. در نظر بگیرید چه اتفاقی می افتد وقتی که حالت  $|j_1 \dots j_n\rangle$  به عنوان ورودی است. با به کار بردن گیت هادامارد با بیت اول، حالت زیر نتیجه می شود:

$$n = 1 \rightarrow \frac{1}{2^{\frac{n}{2}}} \left( |0\rangle + e^{2\pi i 0 \cdot j_1} |1\rangle \right) |j_2 \dots j_n\rangle \quad (12-4)$$

چون  $e^{2\pi i 0 \cdot j_1} = -1$  وقتی که  $j_1 = 1$  است و در غیر اینصورت برابر  $+1$  است. به کار بردن گیت کنترلی  $R_2$  حالت زیر را نتیجه می دهد:

$$\begin{aligned} R_2 \left[ \frac{1}{2^{\frac{n}{2}}} \left( |0\rangle + e^{2\pi i 0 \cdot j_1} |1\rangle \right) |j_2 \dots j_n\rangle \right] &= \\ &= \begin{bmatrix} 1 & 0 \\ 0 & e^{2\pi i \frac{j_2}{2}} \end{bmatrix} \left[ \frac{1}{2^{\frac{1}{2}}} \left( |0\rangle + e^{2\pi i 0 \cdot j_1} |1\rangle \right) |j_2 \dots j_n\rangle \right] = \\ &= \frac{1}{2^{\frac{1}{2}}} \begin{bmatrix} 1 & 0 \\ 0 & e^{2\pi i \frac{j_2}{2}} \end{bmatrix} \left[ \begin{pmatrix} 1 \\ 0 \end{pmatrix} + e^{2\pi i 0 \cdot j_1} \begin{pmatrix} 0 \\ 1 \end{pmatrix} \right] |j_2 \dots j_n\rangle = \\ &= \frac{1}{2^{\frac{1}{2}}} \left[ \begin{pmatrix} 1 \\ 0 \end{pmatrix} + e^{2\pi i 0 \cdot j_1} \begin{pmatrix} 0 \\ e^{2\pi i \frac{j_2}{4}} \end{pmatrix} \right] |j_2 \dots j_n\rangle = \\ &= \frac{1}{2^{\frac{1}{2}}} \left[ \begin{pmatrix} 1 \\ 0 \end{pmatrix} + e^{2\pi i 0 \cdot j_1} e^{2\pi i \frac{j_2}{4}} \begin{pmatrix} 0 \\ 1 \end{pmatrix} \right] |j_2 \dots j_n\rangle = \\ &= \frac{1}{2^{\frac{1}{2}}} \left[ |0\rangle + e^{2\pi i \left( 0 \cdot j_1 + \frac{j_2}{4} \right)} |1\rangle \right] |j_2 \dots j_n\rangle = \\ &= \frac{1}{2^{\frac{1}{2}}} \left( |0\rangle + e^{2\pi i 0 \cdot j_1 j_2} |1\rangle \right) |j_2 \dots j_n\rangle \end{aligned}$$

(13-4)

با استفاده از گیت‌های کنترلی  $R_3$ ،  $R_4$  الی  $R_n$  ادامه می دهیم، هر کدام با بیت اضافی در فاز ضریب  $|1\rangle$  اول جمع می شود در نهایت در این روش حالت زیر را داریم:

$$\frac{1}{2^{\frac{1}{2}}} \left( |0\rangle + e^{2\pi i 0 \cdot j_1 j_2 \dots j_n} |j_2 \dots j_n\rangle \right) \quad (14-4)$$

حال یک روش مشابه را به روی کیوبیت دوم انجام می دهیم. گیت ها دامارد حالت زیر را نتیجه می دهد:

$$n = 2 \rightarrow \frac{1}{2^{\frac{2}{2}}} \left( |0\rangle + e^{2\pi i 0 \cdot j_1 \dots j_n} |1\rangle \right) \left( |0\rangle + e^{2\pi i 0 \cdot j_2} |1\rangle \right) |j_3 \dots j_n\rangle \quad (15-4)$$

و گیت های کنترلی  $R_2$  تا  $R_{n-1}$  حالت زیر را نتیجه می دهند.

$$\frac{1}{2^{\frac{2}{2}}} \left( |0\rangle + e^{2\pi i 0 \cdot j_1 \dots j_n} |1\rangle \right) \left( |0\rangle + e^{2\pi i 0 \cdot j_2 \dots j_n} |1\rangle \right) |j_3 \dots j_n\rangle \quad (16-4)$$

به این روش برای هر کیوبیت ادامه می دهیم، حالت نهایی بدست می آید:

$$\frac{1}{2^{\frac{n}{2}}} \left( |0\rangle + e^{2\pi i 0 \cdot j_1 \dots j_n} |1\rangle \right) \left( |0\rangle + e^{2\pi i 0 \cdot j_2 \dots j_n} |1\rangle \right) \dots \left( |0\rangle + e^{2\pi i 0 \cdot j_n} |1\rangle \right) \quad (17-4)$$

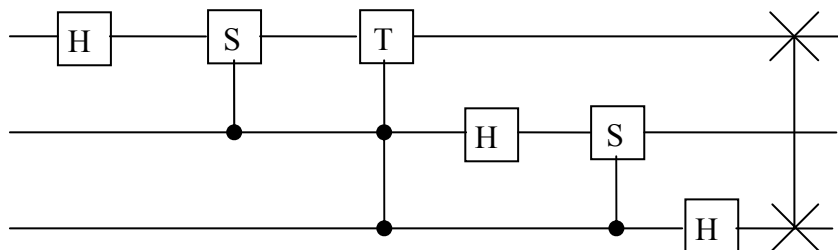
بعد از عوض کردن جای عملها، حالت کیوبیت به صورت زیر است:

$$\frac{1}{2^{\frac{n}{2}}} \left( |0\rangle + e^{2\pi i 0 \cdot j_n} |1\rangle \right) \left( |0\rangle + e^{2\pi i 0 \cdot j_{n-1} j_n} |1\rangle \right) \dots \left( |0\rangle + e^{2\pi i 0 \cdot j_1 \dots j_n} |1\rangle \right) \quad (18-4)$$

در مقایسه با معادله (4-4) می بینیم که این نتیجه دلخواه از تبدیل فوریه کوانتومی است. این ساختار همچنین ثابت می کند که تبدیل فوریه کوانتومی یکانی است، چون هر گیت در مدار یکانی است. یک مثال واضح نشان دهنده یک مدار برای تبدیل فوریه کوانتومی بر روی سه کیوبیت در زیر نشان داده شده است.

### ۴-۲-۱- مثال تبدیل فوریه کوانتومی سه کیوبیتی

مدار مشخص شده زیر برای تبدیل فوریه کوانتومی سه کیوبیتی است:



شکل (۴-۲): مدار تبدیل فوریه کوانتومی سه کیوبیتی

S و T که به ترتیب گیت‌های فاز  $\frac{\pi}{8}$  هستند را داریم. به صورت یک ماتریس تبدیل فوریه کوانتومی

در این مثال با استفاده از  $\omega = e^{\frac{2\pi i}{8}} = \sqrt{i}$  و ماتریس‌های S و T که در زیر نشان داده شده‌اند:

$$S = \begin{bmatrix} 1 & 0 \\ 0 & i \end{bmatrix}$$

$$T = \begin{bmatrix} 1 & 0 \\ 0 & e^{i\pi/4} \end{bmatrix}$$

ماتریس این تبدیل به صورت زیر بدست می‌آید:

$$\frac{1}{\sqrt{8}} \begin{bmatrix} 1 & 1 & 1 & 1 & 1 & 1 & 1 & 1 \\ 1 & \omega & \omega^2 & \omega^3 & \omega^4 & \omega^5 & \omega^6 & \omega^7 \\ 1 & \omega^2 & \omega^4 & \omega^6 & 1 & \omega^2 & \omega^4 & \omega^6 \\ 1 & \omega^3 & \omega^6 & \omega & \omega^4 & \omega^7 & \omega^2 & \omega^5 \\ 1 & \omega^4 & 1 & \omega^4 & 1 & \omega^4 & 1 & \omega^4 \\ 1 & \omega^5 & \omega^2 & \omega^7 & \omega^4 & \omega & \omega^6 & \omega^3 \\ 1 & \omega^6 & \omega^4 & \omega^2 & 1 & \omega^6 & \omega^4 & \omega^2 \\ 1 & \omega^7 & \omega^6 & \omega^5 & \omega^4 & \omega^3 & \omega^2 & \omega \end{bmatrix}$$

با انجام یک گیت هادامارد و  $n-1$  چرخش مقید (وابسته) به کیوبیت اول شروع می کنیم، در مجموع  $n$  گیت. این به وسیله یک گیت هادامارد و  $n-2$  چرخش وابسته به کیوبیت دوم نشان داده می شود، در مجموع  $n-1$  گیت. با ادامه این روش می بینیم که  $n + (n-1) + (n-2) + \dots + 1 = \frac{n(n+1)}{2}$  گیت مورد نیاز است، به علاوه گیتها در این مبادله درگیر هستند. به بیش از  $\frac{n}{2}$  جانشین ها نیاز است. و هر جانشین می تواند با استفاده از سه گیت کنترلی NoT انجام شود. بنابراین این مدار  $\Theta(n^2)$  الگوریتم برای انجام تبدیل فوریه کوانتومی فراهم می کند.

درمقابل، بهترین الگوریتم های کلاسیکی برای محاسبه تبدیل فوریه گسسته بر روی  $2^n$  عنصر، الگوریتم هایی به صورت تبدیل فوریه سریع هستند (FFT)، که تبدیل فوریه گسسته را با استفاده از  $\Theta(n^2)$  گیت محاسبه می کنند، که برای اینکه تبدیل فوریه را بر روی یک کامپیوتر کلاسیکی محاسبه کند به طور نمایی نیازمند عملهای بیشتری است، بنابراین تبدیل فوریه کوانتومی را بر روی یک کامپیوتر کوانتومی انجام می دهد.

بدین ترتیب تبدیل فوریه کوانتومی ارزشمند است چون تبدیل فوریه در خیلی از جستجوهای کاربردی داده های جهان واقعی نقش دارد. برای مثال، در کامپیوتر تشخیص صدا، مرحله اول در تشخیص صوت این است که تبدیل فوریه مدار به صورت عددی تبدیل می کند. آیا می توانیم از تبدیل فوریه کوانتومی استفاده کنیم تا سرعت محاسبه را بالا ببرد؟ متأسفانه جواب این است که هیچ روشی شناخته شده نیست که این را انجام دهد. مسئله این است که دامنه ها در یک کامپیوتر کوانتومی نمی توانند مستقیماً با اندازه گیری در دسترس باشند. بنابراین روشی از تعیین دامنه های تبدیل فوریه از حالت اصلی وجود ندارد. بدتر اینکه در صورت کلی روشی وجود ندارد تا به طور موثر حالت اصلی تبدیل فوریه یافته را تهیه کند. بنابراین درک استفاده برای تبدیل کوانتومی خیلی دقیق تر از آنچه که امید داشتیم است. در این فصل چندین الگوریتم پایه بر روی یک کاربرد خیلی دقیق از تبدیل فوریه کوانتومی را توسعه می دهیم.

## ۴-۳- تخمین فاز<sup>۱</sup>

تبدیل فوریه کلیدی با یک روش عمومی شناخته شده به صورت تخمین فاز است، که در شروع کلیدی برای بسیاری الگوهای کوانتومی است. فرض کنید که یک اپراتور یکانی  $U$  دارای یک ویژه بردار  $|u\rangle$  با ویژه مقدار  $e^{2\pi i\varphi}$  است، که مقدار  $\varphi$  نامعلوم است. هدف نهایی الگوریتم تخمین فاز این است که  $\varphi$  را تخمین بزند. با انجام تخمین فرض می کنیم که یک جعبه سیاه در دسترس داریم (بعضی اوقات به صورت یک پیشگویی می شناسیم) که قادر است حالت  $|u\rangle$  را تهیه کند و عمل کنترلی  $U^{2^j}$  را برای اعداد صحیح نامنفی  $j$  مناسب انجام دهد. استفاده از جعبه سیاه نشان می دهد که در حقیقت روش تخمین فاز خود یک الگوریتم کوانتومی کامل نیست. بلکه، باید درباره تخمین فاز به صورت یک نوع پیمانانه فکر کرد، که وقتی که با دیگر پیمانانه ها ترکیب می شود، می توان از آن برای انجام کارهای محاسباتی جالب استفاده کرد. در کاربردهای خاص از روش تخمین فاز این را کاملاً انجام خواهیم داد، توضیح اینکه چگونه عملهای جعبه سیاه انجام شده اند، و ترکیب آنها با روش تخمین فاز واقعا کار مفیدی است. گرچه ما به تصور آنها به صورت یک جعبه سیاه ادامه خواهیم داد.

روش تخمین فاز کوانتومی از دو رجیستر استفاده می کند. رجیستر اول شامل  $t$  کیوبیت اولیه در حالت  $|0\rangle$  است. اینکه چگونه  $t$  را انتخاب می کنیم به دو چیز بستگی دارد: عدد ارقام در دسترس که برای تخمین  $\varphi$  می خواهیم داشته باشیم، و با چه احتمالی روش تخمین فاز موفق خواهد بود. وابستگی  $t$  به این کمیات به طور طبیعی از آنالیز زیر پدیدار می شود.

رجیستر دوم در حالت  $|u\rangle$  شروع می شود و شامل کیوبیت های زیادی به اندازه ذخیره  $|u\rangle$  است. تخمین فاز در دو مرحله انجام می شود. ابتدا، مدار نشان داده شده در شکل (۴-۳) را به کار می بریم. مدار با استفاده از یک تبدیل هادامارد بر روی رجیستر اول شروع می شود و با به کار بردن عمل های

---

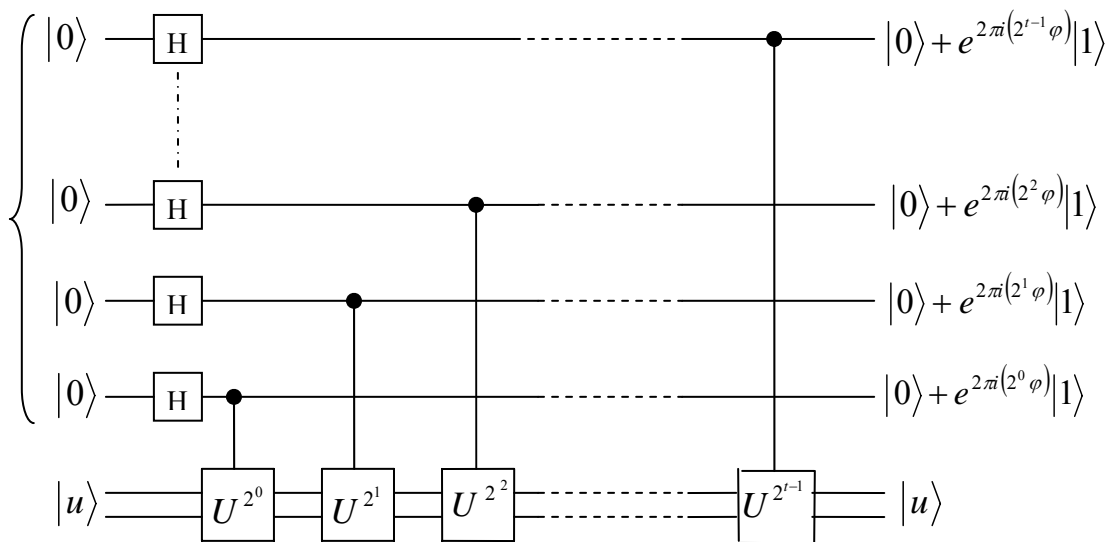
<sup>1</sup> phase estimation

کنترلی  $U$  بر روی رجیستر دوم با  $U$  تولیدشده از توانهای دوم متوالی ادامه پیدا می کند. حالت نهایی رجیستر اول به راحتی دیده می شود به صورت :

$$\frac{1}{2^{\frac{t}{2}}} \left( |0\rangle + e^{2\pi i 2^{t-1} \varphi} |1\rangle \right) \left( |0\rangle + e^{2\pi i 2^{t-2} \varphi} |1\rangle \right) \dots \left( |0\rangle + e^{2\pi i 2^0 \varphi} |1\rangle \right) =$$

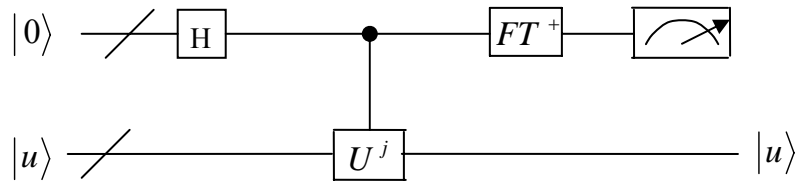
$$= \frac{1}{2^{\frac{t}{2}}} \sum_{k=0}^{2^t-1} e^{2\pi i \varphi k} |k\rangle \quad (19-4)$$

رجیستر دوم را از این توصیف حذف می کنیم زیرا در طول محاسبات در حالت  $|u\rangle$  باقی می ماند.



شکل (۴-۳): مرحله اول روش تخمین فاز. عامل نرمال  $\frac{1}{\sqrt{2}}$  در سمت راست حذف شده است.

مرحله دوم تخمین فاز به کار بردن تبدیل فوریه کوانتومی معکوس بر روی رجیستر اول است. این کار به وسیله معکوس کردن مدار برای تبدیل فوریه کوانتومی در بخش قبل بدست می آید، و در  $\Theta(t^2)$  مرحله می تواند انجام شود. سومین و آخرین مرحله از تخمین فاز خواندن حالت رجیستر اول به وسیله انجام یک اندازه گیری در پایه های محاسباتی است. نشان خواهیم داد که این کار یک تخمین خیلی خوب از  $\varphi$  فراهم کند. یک طرح سرتاسر کلی در شکل (۴-۴) نشان داده شده است.



شکل (۴-۴): طرح کلی از روش تخمین فاز.  $t$  کیوبیت بالایی رجیستر اول هستند. و کیوبیتهای پایینی رجیستر دوم هستند. ( / معمولا برای نمایش سیمها به کار می رود).  $|u\rangle$  یک ویژه حالت از  $U$  با ویژه مقدار  $e^{2\pi i\varphi}$  است. خروجی بعد از اندازه گیری یک تقریب دقیق از  $\varphi$  با  $t - \left\lceil \log\left(2 + \frac{1}{2\epsilon}\right) \right\rceil$  بیت، با احتمال  $1 - \epsilon$  است.

با دقیق کردن بینشمان به طوری که چرا تخمین فاز کار می کند، فرض می کنیم که  $\varphi$  دقیقا در  $t$  بیت به صورت زیر بیان شده باشد:

$$\varphi = 0.\varphi_1\varphi_2\dots\varphi_t$$

پس حالت (۴-۱۹) نتیجه شده از مرحله اول تخمین فاز می تواند به صورت زیر نوشته شود:

$$\frac{1}{2^{\frac{t}{2}}} \left( |0\rangle + e^{2\pi i 0.\varphi_t} |1\rangle \right) \left( |0\rangle + e^{2\pi i 0.\varphi_{t-1}\varphi_t} |1\rangle \right) \dots \left( |0\rangle + e^{2\pi i 0.\varphi_1\varphi_2\dots\varphi_t} |1\rangle \right) \quad (۲۰-۴)$$

مرحله دوم از تخمین فاز به کار بردن فوریه کوانتومی معکوس است. اما در مقایسه بخش قبل با نتیجه‌ی حاصل از تبدیل فوریه، معادله (۴-۴) می بینیم که حالت خروجی مرحله دوم حاصل ضرب  $|\varphi_1\dots\varphi_t\rangle$  است. یک اندازه گیری در پایه های محاسباتی دقیقاً  $\varphi$  را می دهد. خلاصه، الگوریتم تخمین فاز اجازه می دهد تا یکبار فاز  $\varphi$  از یک ویژه مقدار اپراتور یکانی  $U$  متناظر با ویژه بردار  $|u\rangle$  داده شده را تخمین بزنیم. یک رفتار ذاتی در دل این روش، توانایی انجام تبدیل فوریه معکوس به انجام تبدیل زیر است:

$$\frac{1}{2^{\frac{t}{2}}} \sum_{j=0}^{2^t-1} e^{2\pi i\varphi j} |j\rangle |u\rangle \rightarrow |\tilde{\varphi}\rangle |u\rangle \quad (۲۱-۴)$$

که  $|\tilde{\varphi}\rangle$  یک حالت را مشخص می کند که یک تخمین خوب برای  $\varphi$  وقتی که اندازه گیری می شود، است.

#### ۴-۳-۱- کارآیی و نیازها:

آنالیز فوق برای حالت ایده آل به کار می رود. که  $\varphi$  دقیقاً می تواند با یک بسط در مبنای دو  $t$  بیتی نوشته شود. حال وقتی که این حالت نباشد چه اتفاقی می افتد؟ نتیجه می گیریم، روشی که شرح دادیم یک تقریب خیلی خوب برای  $\varphi$  با احتمال بالا تولید خواهد کرد. به طور کلی همان طور که از قبل، از نمادگذاری استفاده شده در (۴-۲۱) حاکی بود. این نیازها بعضی کاربردهای دقیق را نشان می دهند.

$b$  را عدد صحیح در بازه صفر تا  $2^t-1$  قرار دهید به طوری که  $\frac{b}{2^t} = 0.b_1 \dots b_t$ ، بهترین تقریب  $t$  بیتی به  $\varphi$  است که از  $\varphi$  کوچکتر است. که  $\delta = \varphi - \frac{b}{2^t}$  تفاضل بین  $\varphi$  و  $\frac{b}{2^t}$  شرط  $0 \leq \delta \leq 2^{-t}$  را برآورده می کند. قصد داریم نشان دهیم که مشاهده انتهای روش تخمین فاز یک نتیجه تولید خواهد کرد که به  $b$  وابسته است، و ما را قادر می سازد تا  $\varphi$  را دقیقاً با احتمال بالا تخمین بزنیم. به کار بردن تبدیل فوریه کوانتومی معکوس با حالت (۴-۱۹) حالت زیر را تولید می کند:

$$\frac{1}{2^t} \sum_{k,l=0}^{2^t-1} e^{\frac{-2\pi ikl}{2^t}} e^{2\pi i\varphi k} |l\rangle \quad (۲۲-۴)$$

$\alpha_l$  را دامنه  $|(b+l)(\text{mod } 2^t)\rangle$  قرار دهید.

$$\alpha_l = \frac{1}{2^t} \sum_{k=0}^{2^t-1} \left( e^{2\pi i \left( \varphi - \frac{(b+l)}{2^t} \right) k} \right)^k \quad (۲۳-۴)$$

این رابطه یک جمع سری هندسی است. بنابراین:

$$\alpha_l = \frac{1}{2^t} \left( \frac{1 - e^{2\pi i (2^t \varphi - (b+l))}}{1 - e^{2\pi i \left( \varphi - \frac{(b+l)}{2^t} \right)}} \right) = \quad (۲۴-۴)$$



$$\begin{aligned}
&= \frac{1}{2^t} \left( \frac{1 - e^{2\pi i \left[ 2^t \left( \varphi - \frac{b}{2^t} - \frac{l}{2^t} \right) \right]}}{1 - e^{2\pi i \left( \varphi - \frac{b}{2^t} - \frac{l}{2^t} \right)}} \right) = \\
&= \frac{1}{2^t} \left( \frac{1 - e^{2\pi i \left[ 2^t \left( \varphi - \frac{b}{2^t} \right) - l \right]}}{1 - e^{2\pi i \left[ \left( \varphi - \frac{b}{2^t} \right) - \frac{l}{2^t} \right]}} \right) = \\
&= \frac{1}{2^t} \left( \frac{1 - e^{2\pi i [2^t \delta - l]}}{1 - e^{2\pi i \left[ \delta - \frac{l}{2^t} \right]}} \right) \quad (25-4)
\end{aligned}$$

فرض می کنیم که این نتیجه‌ی اندازه‌گیری نهایی برای  $m$  است. قصد داریم تا احتمال به دست آوردن یک مقدار از  $m$  به صورت  $|m-b| > e$  را تعیین کنیم، که  $e$  یک عدد صحیح مثبت است که چشم پوشی از خطا را مشخص می‌کند. احتمال مشاهده یک  $m$  نظیر به وسیله رابطه زیر داده می‌شود:

$$P(|m-b| > e) = \sum_{-2^{t-1} < l \leq -(e+1)} |\alpha_l|^2 + \sum_{e+1 \leq l \leq 2^{t-1}} |\alpha_l|^2 \quad (26-4)$$

اما برای هر  $\theta$  حقیقی  $|1 - \exp(i\theta)| \leq 2$ ، بنابراین با استفاده از رابطه (25-4):

$$|\alpha_l| \leq \frac{2}{2^t \left| 1 - e^{2\pi i \left( \delta - \frac{l}{2^t} \right)} \right|} \quad (27-4)$$

با حساب دیفرانسیل و یا هندسه مقدماتی وقتی که  $-\pi \leq \theta \leq \pi$  باشد رابطه  $|1 - \exp(i\theta)| \geq 2 \frac{|\theta|}{\pi}$  را

داریم. اما وقتی که  $-2^{t-1} < l \leq 2^{t-1}$  داریم  $-\pi \leq 2\pi \left( \delta - \frac{l}{2^t} \right) \leq \pi$  بنابراین:

$$|\alpha_l| \leq \frac{2}{2^t \left[ \frac{2 \left( 2\pi \left( \delta - \frac{l}{2^t} \right) \right)}{\pi} \right]}$$

$$\Rightarrow |\alpha_l| \leq \frac{1}{2^{t+1} \left( \delta - \frac{l}{2^t} \right)} \quad (28-4)$$

ترکیب (26-4) و (28-4) نتیجه‌ی زیر را می‌دهد:

$$P(|m-b| > e) \leq \left[ \sum_{l=-2^{t-1}+1}^{-(e+1)} \left[ \frac{1}{2^{t+1} \left( \delta - \frac{l}{2^t} \right)} \right]^2 + \sum_{l=e+1}^{2^t+1} \left[ \frac{1}{2^{t+1} \left( \delta - \frac{l}{2^t} \right)} \right]^2 \right] \leq$$

$$\leq \frac{1}{4} \left[ \sum_{l=-2^{t-1}+1}^{-(e+1)} \frac{1}{(l-2^t \delta)^2} + \sum_{l=e+1}^{2^t-1} \frac{1}{(l-2^t \delta)^2} \right] \quad (29-4)$$

به خاطر بیاورید که  $0 \leq 2^t \delta \leq 1$ ، در نتیجه به دست می‌آوریم:

$$P(|m-b| > e) \leq \frac{1}{4} \left[ \sum_{l=-2^{t-1}+1}^{-(e+1)} \frac{1}{l^2} + \sum_{l=e+1}^{2^t-1} \frac{1}{(l-1)^2} \right] \quad (30-4)$$

$$\leq \frac{1}{2} \sum_{l=e}^{2^t-1} \frac{1}{l^2} \quad (31-4)$$

$$\leq \frac{1}{2} \int_{e-1}^{2^t-1} \frac{1}{l^2} dl \quad (32-4)$$

$$= \frac{1}{2(e-1)} \quad (33-4)$$

فرض کنید می‌خواهیم  $\varphi$  را با یک دقت  $2^{-n}$  تقریب بزیم. برای این کار  $e = 2^{t-n} - 1$  انتخاب می‌کنیم. با استفاده از  $t=n+p$  کیویت در الگوریتم تخمین فاز از (33-4) می‌بینیم که احتمال به دست آوردن یک تقریب صحیح با این دقت دقیقاً  $1 - 1/2(2^p - 2)$  است. بنابراین برای موفقیت در به دست آوردن  $\varphi$  دقیق با  $n$  بیت با احتمال حداقل  $1 - \varepsilon$  انتخاب می‌کنیم:

$$t = n + \left\lceil \log \left( 2 + \frac{1}{2\varepsilon} \right) \right\rceil \quad (4-34)$$

درموردی برای استفاده از الگوریتم تخمین فاز، احتیاج داریم تا بتوانیم یک ویژه حالت  $|u\rangle$  از  $U$  را فراهم کنیم. اما اگر ندانیم چگونه یک ویژه حالت نظیر  $|u\rangle$  را فراهم کنیم چه می شود؟ فرض کنید که چند حالت  $|\psi\rangle$  دیگر را به جای  $|u\rangle$  فراهم کرده ایم. بسط این حالت برحسب ویژه حالت های  $|u\rangle$  از  $U$ ،  $|\psi\rangle = \sum_u C_u |u\rangle$  است. فرض کنید که ویژه حالت  $|u\rangle$  ویژه مقدار  $e^{2\pi i \varphi_u}$  دارد. با درک مستقیم نتیجه الگوریتم تخمین فاز مداوم یک حالت خروجی نهایی با  $\sum_u C_u |\tilde{\varphi}_u\rangle$  خواهد بود، که  $\tilde{\varphi}_u$  یک تقریب خیلی خوب به فاز  $\varphi_u$  است. بنابراین انتظار داریم که خواندن رجیستر اول در خروجی یک تقریب خوب به  $\varphi_u$  خواهد داد، که  $u$  تصادفی با احتمال  $|C_u|^2$  انتخاب می شود. این روش اجازه می دهد تا از فراهم کردن یک ویژه حالت ناشناخته می ممکن اجتناب کنیم.

**چرا تخمین فاز جالب است؟** برای این دلیل که تخمین فاز مسئله ای که از نظریه فیزیکی هم غیر بدیهی و هم جالب است را حل می کند. به طور مثال، چگونه یک ویژه مقدار مربوط به یک ویژه بردار یک اپراتور یکانی داده شده تخمین زده می شود؟ این استفاده ای صحیح است که، به هر حال، از مشاهدات برمی آید که دیگر مسائل جالب می توانند به تخمین فاز تبدیل شوند، به طوری که در بخش بعدی نشان داده شده است. الگوریتم تخمین فاز در زیر خلاصه شده است.

#### ۴-۳-۲- الگوریتم تخمین فاز کوانتومی

##### ورودی ها:

۱. یک جعبه سیاه که یک عمل کنترل  $U^j$  را برای عدد صحیح  $j$  انجام می دهد.
۲. یک ویژه حالت  $|u\rangle$  از  $U$  با ویژه مقدار  $e^{2\pi i \varphi_u}$ .

$$۳. \quad t = n + \left\lceil \log \left( 2 + \frac{1}{2\varepsilon} \right) \right\rceil$$

کیوبیت اولیه در حالت  $|0\rangle$ .

### خروجی:

یک تقریب  $\pi$  بیتی  $\tilde{\varphi}_u$  به  $\varphi_u$ .

### تعداد مراحل الگوریتم:

شامل  $O(t^2)$  عملیات و یک عمل که عملیات  $U^j$  کنترلی جعبه سیاه نامیده می‌شود است. احتمال موفقیت حداقل  $1 - \varepsilon$  است.

### روش الگوریتم:

۱. حالت اولیه  $|0\rangle|u\rangle$
۲. ایجاد ترکیب  $\frac{1}{\sqrt{2^t}} \sum_{j=0}^{2^t-1} |j\rangle|u\rangle$
۳. به کار بردن جعبه سیاه  $\rightarrow \frac{1}{\sqrt{2^t}} \sum_{j=0}^{2^t-1} |j\rangle U^j |u\rangle$
- نتیجه جعبه سیاه  $= \frac{1}{\sqrt{2^t}} \sum_{j=0}^{2^t-1} e^{2\pi i \varphi_u} |j\rangle|u\rangle$
۴. به کار بردن تبدیل فوری معکوس  $\rightarrow |\tilde{\varphi}_u\rangle|u\rangle$
۵. اندازه گیری رجیستر اول  $\rightarrow \tilde{\varphi}_u$

### ۴-۴- پیدا کردن مرتبه و تجزیه

با استفاده از تخمین فاز می‌توان مسائل جالب دیگر را حل کرد. اکنون به شرح دو نمونه از جالبترین مسائل مربوط به آن می‌پردازیم: مسئله پیدا کردن مرتبه و مسئله تجزیه. این دو مسئله در حقیقت هم‌ارز با یکدیگر هستند، بنابراین در این بخش یک الگوریتم کوانتومی را برای حل مسئله پیدا کردن مرتبه شرح می‌دهیم و توضیح می‌دهیم که چگونه مسئله پیدا کردن مرتبه به توانایی تجزیه به خوبی اشاره می‌کند.

برای فهم الگوریتم های کوانتومی تجزیه و پیداکردن مرتبه به یک زمینه کوچک در تئوری عددی نیاز داریم. در سرتاسر این بخش به جنبه های کوانتومی مسئله می پردازیم.

الگوریتم های سریع کوانتومی برای فهمیدن مرتبه و تجزیه به سه دلیل جالب هستند. اولین و مهمترین دلیل، این است که کامپیوترهای کوانتومی ممکن است قویتر از کامپیوترهای کلاسیکی باشند. دومین دلیل اینکه هر دو مسئله دارای ارزش ذاتی کافی برای توجیه هر دو الگوریتم کلاسیکی یا کوانتومی هستند. سومین دلیل و مهمترین از دیدگاه عملی این است که الگوریتم های موثر برای پیداکردن مرتبه و تجزیه می توانند برای شکستن سیستم های کلید مخفی عمومی بکار روند.

#### ۴-۴-۱- پیداکردن مرتبه:

برای اعداد صحیح مثبت  $x$  و  $N$  به طوری که  $x < N$ : بدون عوامل مشترک مرتبه  $x$  modulo  $N$  با کوچکترین عدد صحیح مثبت  $r$  به طوری که  $x^r = 1 \pmod{N}$  تعریف می شود. مسئله پیداکردن مرتبه تعیین مرتبه  $r$  برای بعضی  $x$  و  $N$  های مشخص است. باید باور کرد که پیدا کردن مرتبه با استفاده از کامپیوترهای کلاسیکی یک مسئله سخت است، با این احساس که هیچ الگوریتم شناخته شده ای که مسئله را با استفاده از منبع چند جمله ای در  $O(L)$  بیت مورد نیاز حل کند وجود ندارد که مسئله را مشخص کند که در آن  $L = \lceil \log(N) \rceil$  تعداد بیت های مورد نیاز است تا  $N$  مشخص شود. در این بخش شرح می دهیم که چگونه تخمین فاز ممکن است استفاده شود تا یک الگوریتم کوانتومی موثر برای پیداکردن مرتبه بدست بیاید.

الگوریتم کوانتومی برای پیداکردن مرتبه فقط الگوریتم تخمین فاز به کار رفته با یک عملگر یکانی است.

$$U |y\rangle \equiv |xy \pmod{N}\rangle \quad (۴-۳۵)$$

با  $y \in \{0,1\}^L$  توجه کنید که اینجا و در زیر وقتی  $N \leq y \leq 2^L - 1$ ، از قرار داد  $xy \pmod{N}$  استفاده می کنیم که  $U$  به طور غیر بدیهی وقتیکه  $0 \leq y \leq N-1$  است عمل می کند. یک محاسبه ساده نشان می دهد که حالت به وسیله رابطه زیر تعریف می شود:

$$|u_s\rangle \equiv \frac{1}{\sqrt{r}} \sum_{k=0}^{r-1} \exp\left[\frac{-2\pi i s k}{r}\right] |x^k \bmod N\rangle \quad (36-4)$$

برای اعداد صحیح  $0 \leq s \leq r-1$  ویژه حالت های  $U$  هستند، چون

$$U |u_s\rangle = \frac{1}{\sqrt{r}} \sum_{k=0}^{r-1} \exp\left[\frac{-2\pi i s k}{r}\right] |x^{k+1} \bmod N\rangle \quad (37-4)$$

$$= \exp\left[\frac{2\pi i s}{r}\right] |u_s\rangle \quad (38-4)$$

استفاده از روش تخمین فاز اجازه می دهد با دقت بالا مطابق ویژه مقادیر  $\exp(2\pi i s/r)$  مرتبه  $r$  را بدست آوریم.

برای استفاده از روش تخمین فاز به دو چیز نیاز داریم: اولاً باید روش مناسبی داشته باشیم تا یک

عمل کنترلی  $U^{2^j}$  را برای هر عدد صحیح  $j$  انجام دهیم، ثانیاً باید به طور موثر یک ویژه حالت  $|u_s\rangle$  با یک ویژه مقدار غیر بدیهی یا تقریباً ترکیبی از این ویژه حالتها فراهم کنیم.

نیاز اول با استفاده از یک روش که به نام توان رسانی پیمانه ای<sup>1</sup> می شناسیم برآورده می شود و

همچنان می توانیم تمام دنباله عملهای کنترلی  $U^{2^j}$  را بوسیله روش تخمین فاز با استفاده از  $O(L^3)$  گیت انجام دهیم.

نیاز دوم یک حقه کوچک است. تهیه  $|u_s\rangle$  نیازمند دانستن  $r$  است. بنابراین این خروجی مسئله است.

خوشبختانه یک مشاهده زیرکانه وجود دارد که اجازه می دهد مسئله  $|u_s\rangle$  را حل کنیم که به صورت

زیر است:

$$\frac{1}{\sqrt{r}} \sum_{s=0}^{r-1} |u_s\rangle = |1\rangle \quad (39-4)$$

در انجام روش تخمین فاز اگر از  $t = 2L + 1 + \left\lceil \log\left(2 + \frac{1}{2\epsilon}\right) \right\rceil$  کیوییت در رجیستر اول استفاده کنیم

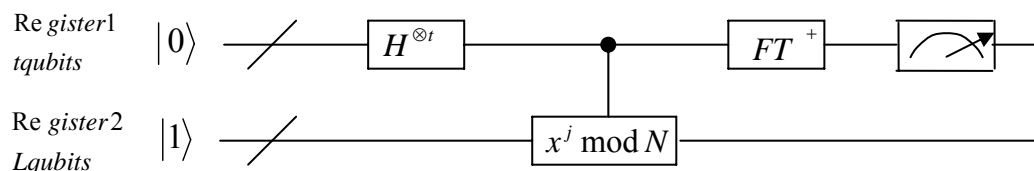
(مربوط به شکل (4-4)) و رجیستر دوم را در حالت  $|1\rangle$  تهیه کنیم، نشان می دهد که برای هر  $s$  در

<sup>1</sup> . modular

بازه 0 تا  $r-1$ ، می‌خواهیم یک تخمین از فاز  $\varphi \approx \frac{s}{r}$  دقیقاً با  $2L+1$  بیت با احتمال تقریباً

بدست بیاوریم. الگوریتم پیدا کردن مرتبه به صورت طرح وار در شکل (۴-۵) نمایش داده شده

است.



شکل (۴-۵): مدار کوانتومی برای الگوریتم پیدا کردن مرتبه. رجیستر دوم همان طور که

نشان داده شده است در ورودی  $|1\rangle$  می‌باشد ولی می‌تواند در حالت  $|0\rangle$  نیز باشد.

#### ۴-۲-۴- توان رسانی پیمانه ای:

حال می‌خواهیم ببینیم که چگونه می‌توانیم دنباله عملهای کنترلی  $U^{2^j}$  استفاده شده با روش تخمین

فاز را به صورت قسمتی از الگوریتم پیدا کردن مرتبه محاسبه کنیم. به این ترتیب می‌خواهیم تبدیل

زیر را محاسبه کنیم:

$$|z\rangle|y\rangle \rightarrow |z\rangle U^{z_1 2^0} \dots U^{z_t 2^{t-1}} |y\rangle \quad (۴۰-۴)$$

$$= |z\rangle \left| x^{z_1 2^0} \times \dots \times x^{z_t 2^{t-1}} y(\text{mod } N) \right\rangle \quad (۴۱-۴)$$

$$= |x\rangle \left| x^z y(\text{mod } N) \right\rangle \quad (۴۲-۴)$$

بنابراین دنباله عملهای کنترلی  $U^{2^j}$  بکار رفته در تخمین فاز معادل ضرب کردن عناصر رجیستر دوم

با پیمانه نمایی  $x^z(\text{mod } N)$  است که  $z$  عناصر رجیستر اول می‌باشد. این عمل ممکن است به آسانی

با استفاده از تکنیک محاسبات معکوس انجام شود. ایده اساسی در محاسبات معکوس تابع

$x^z(\text{mod } N)$  از  $z$  در سومین رجیستر است و سپس به طور معکوس عناصر رجیستر دوم به وسیله

$x^z(\text{mod } N)$  ضرب می‌شوند، استفاده از یک حقه بدون محاسبه، عناصر رجیستر سوم را به محض

تکمیل شدن پاک می‌کند. الگوریتم برای محاسبه دنباله نمایی دو مرحله دارد. مرحله اول از

توان رسانی پیمانه‌ای استفاده می کند تا  $x^2 \pmod N$  را به وسیله مربع کردن  $x \pmod N$  محاسبه کند. سپس  $x^4 \pmod N$  را به وسیله توان دوم  $x^2 \pmod N$  محاسبه می کند و این روش ادامه پیدا می کند تا  $x^{2^j} \pmod N$  برای همه زها تا  $t-1$  محاسبه شود.

از  $t = 2L + 1 + \left\lceil \log\left(2 + \frac{1}{2\epsilon}\right) \right\rceil = O(L)$  بیت استفاده می کنیم، بنابراین تمام  $t-1 = O(L)$  عمل مربع

در  $O(L^2)$  عمل انجام می شود. بنابراین تعداد کل عملیات مرحله اول  $O(L^3)$  است.

مرحله دوم الگوریتم بر روی مشاهده پایه‌ریزی شده است. به خاطر داریم که:

$$x^z \pmod N = \left( x^{z_t 2^{t-1}} \pmod N \right) \left( x^{z_{t-1} 2^{t-2}} \pmod N \right) \dots \left( x^{z_1 2^0} \pmod N \right) \quad (4-43)$$

با انجام  $t-1$  ضرب پیمانه ای که هر کدام  $O(L^2)$  عمل دارد، می بینیم که نتیجه می تواند با استفاده

از  $O(L^3)$  گیت محاسبه شود. این عمل برای فرض ما مناسب است، اما بیشتر الگوریتم های مناسب بر

پایه ضرب کردن الگوریتم ها هستند. حال می توان یک مدار معکوس با یک رجیستر  $t$  بیتی و یک

رجیستر  $L$  بیتی ساخت که در ورودی حالت  $(z, y)$  را داراست و در خروجی  $(z, x^z y \pmod N)$  را با

استفاده از  $O(L^3)$  گیت می دهد. این مدار کوانتومی به این معنی است که با استفاده از  $O(L^3)$  گیت

تبدیل زیر را محاسبه می کند:

$$|z\rangle |y\rangle \rightarrow |z\rangle |x^z y \pmod N\rangle \quad (4-44)$$

#### ۴-۳-۴- بسط کسرهای تکرار شونده:

تبدیل پیدا کردن مرتبه با تخمین فاز با این توضیح کامل می شود که چگونه پاسخ خواسته شده  $r$  از

نتیجه الگوریتم تخمین فاز یعنی  $\phi \approx \frac{s}{r}$  بدست می آید؟ فقط می دانیم  $\phi$  دارای  $2L+1$  بیت است،

اما همچنین مقدمه‌ای درباره عددگویا (نسبت دو عدد صحیح معین) می دانیم. اگر بتوانیم نزدیکترین

کسر نظیر  $\phi$  را محاسبه کنیم، می توانیم  $r$  را بدست بیاوریم.



یک الگوریتم به نام الگوریتم کسرهای تکرار شونده وجود دارد که به طور موثر این کار را انجام می دهد. دلیل اینکه این الگوریتم توانایی این کار را دارد در قضیه زیر آمده است.

قضیه: فرض کنید  $\frac{s}{r}$  یک عدد گویا است به طوریکه:

$$\left| \frac{s}{r} - \varphi \right| \leq \frac{1}{2r^2} \quad (4-45)$$

پس  $\frac{s}{r}$  یک سری همگرا از کسرهای تکرار شونده برای  $\varphi$  است و بنابراین می تواند در  $O(L^3)$  عملیات با استفاده از الگوریتم کسرهای تکرار شونده محاسبه شود.

چون  $\varphi$  یک تقریب دقیق از  $\varphi$  با  $2L+1$  بیت است، از  $\left| \frac{s}{r} - \varphi \right| \leq 2^{-2L-1} \leq \frac{1}{2r^2}$  پیروی می کند، چون  $r \leq N \leq 2^L$ . بنابراین قضیه کاربرد دارد.

به طور خلاصه  $\varphi$  مفروض الگوریتم کسرهای تکرار شونده به طور مناسب اعداد  $s', r'$  را بدون هیچ عامل مشترکی تولید می کند به طوریکه  $\frac{s'}{r'} = \frac{s}{r}$ . عدد  $r'$  یک کاندید برای مرتبه است. می توانیم با یک کنترل با محاسبه  $x^{r'} \bmod N$  ببینیم که  $r'$  مرتبه مورد نظر است یا خیر. اگر نتیجه محاسبه ۱ باشد پس  $r'$  مرتبه  $x$  modulo  $N$  است و به نتیجه دلخواه رسیده ایم.

#### ۴-۴-۴- کارآیی:

حال می خواهیم ببینیم چگونه الگوریتم پیدا کردن مرتبه با شکست مواجه می شود. در دو صورت این اتفاق می افتد: اول وقتی که روش تخمین فاز یک تخمین بد از  $\frac{s}{r}$  تولید کند. که این اتفاق با احتمال زیاد رخ می دهد و می تواند با چشم پوشی در اندازه مدار این احتمال کوچک می شود. وضعیت وخیم تر وقتی است که  $s$  و  $r$  عامل مشترک داشته باشند. در این حالت عدد  $r'$  به وسیله الگوریتم کسرهای تکرار شونده به یک عامل از  $r$  بر می گردد و به خود  $r$  برنمی گردد. خوشبختانه سه راه برای این مسئله وجود دارد.

شاید سراسر ترین راه این است که  $s$  به طور تصادفی در بازه  $0$  و  $r-1$  انتخاب شود، که در این صورت با احتمال خیلی بالا  $s$  و  $r$  نسبت به هم اول هستند و عامل مشترکی ندارند. در این حالت الگوریتم کسرهای تکرار شونده به  $r$  برمی گردد. با دیدن این حالت توجه شود که تعداد اعداد اول کمتر از  $r$  تقریباً  $\frac{r}{2} \log r$  است و بنابراین احتمال اینکه  $s$  عدد اول باشد (و بنابراین نسبت به  $r$  اول است) تقریباً  $\frac{1}{2} \log(r) > \frac{1}{2} \log(N)$  است. بنابراین با تکرار الگوریتم در  $2 \log(N)$  مرحله با احتمال خیلی زیاد یک فاز  $\frac{s}{r}$  که در آن  $s$  و  $r$  نسبت به هم اول هستند را مشاهده خواهیم کرد و بنابراین کسرهای تکرار شونده (دنباله دار)  $r$  را همان طور که انتظار داریم تولید می کند.

روش دوم به این نکته توجه می کند که اگر  $r' \neq r$  باشد، پس مطمئناً  $r'$  یک عامل (فاکتور)  $r$  است، مگر اینکه  $s=0$  باشد که این اتفاق با احتمال  $\frac{1}{r} \leq \frac{1}{2}$  رخ می دهد و می تواند به وسیله چند تکرار کم شود. فرض کنید  $a$  را با  $a' \equiv a^{r'} \pmod{N}$  جایگزین می کنیم. پس مرتبه  $a'$  در اینجا  $\frac{r}{r'}$  است. اکنون می توانیم الگوریتم را تکرار کنیم، و سعی می کنیم مرتبه  $a'$  را محاسبه کنیم، که اگر موفق شویم اجازه می دهد که مرتبه  $a$  را محاسبه کنیم، چون  $r = r' \times \frac{r}{r'}$ . اگر شکست بخوریم، پس  $r''$  را که یک عامل از  $\frac{r}{r'}$  است را بدست می آوریم. و اکنون سعی می کنیم که مرتبه  $a'' \equiv (a')^{r''} \pmod{N}$  را محاسبه کنیم. این روش را آنقدر تکرار می کنیم تا زمانی که مرتبه  $a$  را تعیین کنیم. حداکثر تکرارهایی که نیاز داریم  $\log(r) = O(L)$  است، از این رو هر تکرار مرتبه  $a''$  را به وسیله یک عامل حداقل دو کاهش می دهد.

روش سوم که از دو روش اول بهتر است، به طور کلی به تنها یک عدد ثابت از دنباله ها نسبت به  $O(L)$  تکرار نیاز دارد. طبق یک نظر با تکرار دوبار روش تخمین کسرهای تکرار شونده در مرحله اول  $r_1', s_1'$  و در مرحله دوم  $r_2', s_2'$  بدست می آیند.  $s_2', s_1'$  که تهیه شده اند باید عامل مشترک نداشته

باشند،  $\Gamma$  ممکن است با گرفتن کوچکترین مضرب مشترک  $r_2, r_1$  بدست بیاید. احتمال اینکه  $s_2', s_1'$  عامل مشترک نداشته باشند به وسیله رابطه زیر داده می شود:

$$1 - \sum_q P(q|s_1')P(q|s_2') \quad (46-4)$$

که جمع بر روی همه اعداد اول  $q$  است و  $P(x|y)$  در اینجا به معنی احتمال  $x$  تقسیم بر  $y$  است. اگر  $q$ ،  $s_1'$  را تقسیم کند پس همچنین مقدار واقعی  $s$  و  $s_1$  را در تکرار اول تقسیم می کند. بنابراین حد بالای  $P(q|s_1')$  با حد بالای  $P(q|s_1)$  متناسب است که  $s_1$  به شکل تصادفی از 0 تا  $\Gamma-1$  انتخاب می شود. به آسانی می بینیم که  $P(q|s_1) \leq \frac{1}{q}$  و بنابراین  $P(q|s_1') \leq \frac{1}{q}$ . به طور مشابه  $P(q|s_2) \leq \frac{1}{q}$  و بنابراین احتمال اینکه  $s_2', s_1'$  عامل مشترک نداشته باشند برآورده می شود با:

$$1 - \sum_q P(q|s_1')P(q|s_2') \geq 1 - \sum_q \frac{1}{q^2} \quad (47-4)$$

در طرف راست حد بالا می تواند به چند روش محدود شود.

چون برای همه  $x \geq 2$  ثابت می شود که  $\int_x^{x+1} \frac{1}{y^2} dy \geq \frac{2}{3}x^2$  پس داریم:

$$\sum_q \frac{1}{q^2} \leq \frac{3}{2} \int_2^{\infty} \frac{1}{y^2} dy = \frac{3}{4} \quad (48-4)$$

پس نتیجه زیر حاصل می شود:

$$1 - \sum_q P(q|s_1')P(q|s_2') \geq 1 - \frac{3}{4} = \frac{1}{4} \quad (49-4)$$

و بنابراین احتمال بدست آوردن  $\Gamma$  درست تقریباً  $\frac{1}{4}$  است.

حال بینیم این الگوریتم تحلیلی به چه منابعی نیاز دارد؟ تبدیل هادامارد به  $O(L)$  گیت نیاز دارد و تبدیل فوریه معکوس به  $O(L^2)$  گیت نیاز دارد. که در مجموع به  $O(L^3)$  گیت نیاز دارد. الگوریتم کسرهای تکرار شونده گیت‌های بیشتر از  $O(L^3)$  اضافه می کند تا  $\Gamma'$  بدست بیاید. با استفاده از روش

سوم برای بدست آوردن  $t$  از  $t'$  نیاز داریم که فقط این روش را به یک تعداد ثابت تکرار کنیم تا مرتبه  $t$  بعد از همه مراحل  $O(L^3)$  بدست بیاید. الگوریتم در زیر خلاصه شده است.

#### ۴-۴-۵- الگوریتم پیدا کردن مرتبه کوانتومی:

##### ورودی ها :

(۱) یک جعبه سیاه  $U_{x,N}$  که تبدیل  $|j\rangle|x^j k \bmod N\rangle \rightarrow |j\rangle|k\rangle$  را برای یک  $x$  در  $L$  بیت که

نسبت به  $N$  اول است انجام می دهد.

$$(۲) \quad t = 2L + 1 + \left\lceil \log\left(2 + \frac{1}{2\epsilon}\right) \right\rceil$$

(۳)  $L$  کیوبیت اولیه در حالت  $|1\rangle$ .

**خروجی ها :** یک لیست  $t > 0$  به طوری که  $x^t = 1 \pmod{N}$ .

**تعداد مراحل :**  $O(L^3)$  عملیات . احتمال موفقیت  $O(1)$ .

##### روش :

۱. حالت اولیه  $|0\rangle|1\rangle$

۲. ایجاد ترکیب  $\rightarrow \frac{1}{\sqrt{2^t}} \sum_{j=0}^{2^t-1} |j\rangle|1\rangle$

۳. به کار بردن  $U_{x,N}$   $\rightarrow \frac{1}{\sqrt{2^t}} \sum_{j=0}^{2^t-1} |j\rangle|x^j \bmod N\rangle$

$$\approx \frac{1}{\sqrt{r2^t}} \sum_{s=0}^{r-1} \sum_{j=0}^{2^t-1} e^{2\pi i s j / r} |j\rangle|u_s\rangle$$

۴. به کار بردن تبدیل فوریه معکوس با رجیستر اول  $\rightarrow \frac{1}{\sqrt{r}} \sum_{s=0}^{r-1} |\tilde{s}/r\rangle|u_s\rangle$

۵. اندازه گیری رجیستر اول  $\rightarrow \tilde{s}/r$

۶. به کار بردن الگوریتم کسرهای تکرار شونده

→ r

#### ۴-۵- الگوریتم شر<sup>۱</sup>

##### ۴-۵-۱- تعریف

یک نمونه از مسائل دشوار در نظریه اعداد، مسئله تجزیه یک عدد به عاملهای اول آن است. هر گاه عددی مثل N داشته باشیم و بخواهیم یکی از عاملهای آنرا پیدا کنیم، بهترین الگوریتم های

کلاسیکی این کار را در زمانی از مرتبه  $O\left(\exp\left(\log N^{\frac{1}{3}}\right)\left(\log \log N^{\frac{2}{3}}\right)\right)$  انجام می دهند. شر نشان

داد که با استفاده از الگوریتمهای کوانتومی می توان این مسئله را در زمان چند جمله ای حل کرد. حل این مسئله توسط شر علت اصلی توجه بسیار زیاد جامعه فیزیک، ریاضی و علوم کامپیوتر به کامپیوترهای کوانتومی در دهه اخیر بوده است. حال این الگوریتم را به دقت توضیح می دهیم.

##### ۴-۵-۲- مبنای الگوریتم شر

در این بخش نشان می دهیم که مسئله یافتن یک عامل اول از یک عدد مثل N بامسئله یافتن دوره تناوب یک تابع معین یکسان است. فرض کنید که عددی غیر بدیهی مثل x را چنان بیابیم که در معادله زیر صدق کند:

$$x^2 = 1 \pmod N \quad (۴-۵۰)$$

منظور از جواب غیر بدیهی این است که:

$$x \neq 1, -1 \pmod N \quad \begin{cases} x - 1 \neq kN \\ x + 1 \neq kN \end{cases} \quad (۴-۵۱)$$

در این صورت می توانیم بنویسیم:

$$x^2 - 1 = 0 \pmod N \Rightarrow (x-1)(x+1) = kN \quad (۴-۵۲)$$

<sup>۱</sup>. shor

این معادله به این معناست که حاصلضرب  $(x+1)(x-1)$  بر  $N$  بخش پذیر است. اما از آنجا که بنا بر معادله  $(4-5)$  هیچ کدام از اعداد  $(x-1)$  یا  $(x+1)$  بر  $N$  بخش پذیر نیستند، پس نتیجه می گیریم که  $N$  تنها می تواند فاکتورهای مشترکی با یکی یا هر دو عدد داشته باشد. اکنون برای درک بیشتر موضوع چند مثال ذکر می کنیم.

مثال ۱: فرض کنید  $N=15$  و  $x=4$ . در این صورت داریم:

$$x^2 = 4^2 = 16 = 1 \pmod{15} \quad (4-53)$$

ضمناً  $x-1=3$  و  $x+1=5$  مضرب هایی از ۱۵ نیستند (یعنی ۳ و ۵ بر ۱۵ بخش پذیر نیستند ولی عدد  $3 \times 5$  بر ۱۵ بخش پذیر است). از رابطه  $(4-52)$  نتیجه می گیریم که ۱۵ مضربی از  $3 \times 5$  است و این تنها وقتی ممکن است که ۱۵ با ۳ یا ۵ عامل مشترکی داشته باشد.

در مثال قبل عدد  $x$  کوچکتر از  $N$  بود ولی  $x$  می تواند هر عدد دلخواه کوچکتر یا بزرگتر از  $N$  باشد. حال به مثال بعد توجه کنید.

مثال ۲: فرض کنید  $N=115$  و  $x=139$ . در این صورت داریم:

$$x^2 = (139)^2 = 19321 = 1 \pmod{115} \quad (4-54)$$

ضمناً  $x-1=138$  و  $x+1=140$  مضرب هایی از ۱۱۵ نیستند و از رابطه فوق نتیجه می گیریم که حاصلضرب  $138 \times 140$  مضربی از ۱۱۵ است و این تنها وقتی ممکن است که ۱۱۵ با ۱۳۸ یا ۱۴۰ عامل مشترک داشته باشد.

پس از این به راحتی می توانیم عامل مشترک دو عدد  $N$  و  $x-1$  یا  $x+1$  را پیدا کنیم. یک الگوریتم که به نام الگوریتم اقلیدس مشهور است بزرگترین مقسوم علیه مشترک این دو عدد را در زمان چند جمله ای پیدا می کند.

پس مسئله پیدا کردن یک عامل از عدد  $N$  به مسئله یافتن عددی مثل  $x$  که در شرط زیر صدق کند

تبدیل می شود:

$$x^2 = 1 \pmod{N} \quad (4-55)$$

برای حل این مسئله به ترتیب زیر اقدام می کنیم. عددی دلخواه مثل  $Y$  را در نظر می گیریم به طوری که رتبه این عدد  $r$  باشد. هرگاه:

$$Y^r = 1 \pmod{N} \quad (56-4)$$

در نظریه اعداد نشان می دهند که تقریباً نیمی از این گونه اعداد رتبه زوج و نیمی دیگر رتبه فرد دارند. بنابراین اگر یک عدد تصادفی مثل  $Y$  اختیار کنیم و بتوانیم رتبه آن را پیدا کنیم به احتمال  $\frac{1}{2}$

رتبه این عدد زوج خواهد بود. این رتبه را با  $r=2k$  نشان می دهیم. در نتیجه خواهیم داشت:

$$Y^r = Y^{2k} = 1 \pmod{N} \rightarrow X = Y^k, X^2 = 1 \pmod{N} \quad (57-4)$$

بنابراین مشروط براینکه رتبه عدد  $Y$  را بتوانیم پیدا کنیم عدد  $X$  و در نتیجه یک عامل از  $N$  را پیدا خواهیم کرد. آنچه که شر انجام داده است ارایه یک الگوریتم برای پیدا کردن رتبه یک عدد دلخواه است. این کار چیزی جز یافتن پریود<sup>1</sup> نیست، زیرا هر گاه تابعی به صورت زیر تعریف کنیم:

$$(58-4)$$

$$f(x) = Y^x \pmod{N} \quad \text{آنگاه:}$$

$$f(x+r) = f(x) \rightarrow f(x+jr) = f(x) \quad ; j=1,2,3,\dots \quad (59-4)$$

بنابراین مسئله یافتن مرتبه عدد  $Y$  عبارت است از پیدا کردن دوره تناوب تابع فوق و برای آن می توان یک الگوریتم به کار برد.

#### ۴-۵-۳- مراحل الگوریتم شر

می توانیم مسئله را به شکل کلی تری طرح کنیم و آن اینکه هر گاه تابعی متناوب دلخواه مثل تابع  $f: Z_N \rightarrow Z_N$  داشته باشیم، چگونه می توانیم دوره تناوب آنرا پیدا کنیم؟ اگر دوره تناوب این تابع  $r$  باشد چند بار باید تابع را بخوانیم تا بتوانیم  $r$  را پیدا کنیم؟ کمی دقت نشان می دهد که تعداد دفعات خواندن تابع از مرتبه  $N$  است. می خواهیم با استفاده از توازی کوانتومی الگوریتمی بسازیم که

<sup>1</sup> . period finding

بتواند این دوره تناوب  $T$  را با کمترین تعداد ممکن از خواندن تابع پیدا کند. برای این کار الگوریتم را به چند مرحله تقسیم می کنیم.

مرحله اول:

دو register به نام های  $|REG1\rangle, |REG2\rangle$  را در اختیار داریم. حالت  $|0\rangle^{\otimes n} \otimes |0\rangle^{\otimes n}$  را تهیه می کنیم که در آن  $|0\rangle^{\otimes n} = |000\dots 0\rangle$  و طول هر کدام از این حالتها چنان است که می توان یک عدد بسیار بزرگ مثل  $Q$  را در آن نوشت.

فرض می کنیم که این عدد از  $N$  بزرگتر است. حالت  $|\Psi_0\rangle$  را تشکیل می دهیم.

$$|\Psi_0\rangle = |REG1\rangle |REG2\rangle = |0\rangle^{\otimes n} \otimes |0\rangle^{\otimes n} = |00\dots 0\rangle |00\dots 0\rangle \quad (60-4)$$

مرحله دوم:

با اعمال عملگرهای هادامارد  $H$ ، حالت اول را به یک ترکیب خطی از همه اعداد  $0$  تا  $Q-1$  تبدیل می کنیم. پس در پایان این مرحله حالت قبل به حالت زیر تبدیل می شود:

$$\begin{aligned} |\Psi_0\rangle = |0\rangle^{\otimes n} \otimes |0\rangle^{\otimes n} &\xrightarrow{F} |\Psi_1\rangle = \frac{1}{\sqrt{Q}} \sum_{l=0}^{Q-1} e^{\frac{2\pi i 0l}{Q}} |l\rangle \otimes |0\rangle^{\otimes n} \\ &\rightarrow |\Psi_1\rangle = \frac{1}{\sqrt{Q}} \sum_{l=0}^{Q-1} |l\rangle \otimes |0\rangle^{\otimes n} \end{aligned} \quad (61-4)$$

مرحله سوم:

حال با استفاده از تبدیل یکانی  $U_f$  که حالت  $|l\rangle \otimes |0\rangle^{\otimes n}$  را به  $|l\rangle \otimes |f(l)\rangle$  می برد بر روی حالت  $|\Psi_1\rangle$  اثر می دهیم داریم:

$$\begin{aligned} |\Psi_1\rangle = \frac{1}{\sqrt{Q}} \sum_{l=0}^{Q-1} |l\rangle \otimes |0\rangle^{\otimes n} &\xrightarrow{U_f} |\Psi_2\rangle = \frac{1}{\sqrt{Q}} \sum_{l=0}^{Q-1} |l\rangle \otimes |f(l)\rangle \\ &\rightarrow |\Psi_2\rangle = \frac{1}{\sqrt{Q}} \sum_{l=0}^{Q-1} |l\rangle \otimes |Y^l \bmod N\rangle \end{aligned} \quad (62-4)$$



مرحله چهارم:

روی register دوم یک اندازه گیری انجام می دهیم. فرض کنید که نتیجه اندازه گیری عدد  $Y^{l_0} \bmod N$  باشد، در این صورت حالت register اول به حالت زیر تبدیل می شود:

$$|\Phi\rangle = \frac{1}{\sqrt{A}} \sum_{j=0}^{A-1} |l_0 + jr\rangle \quad (۴-۶۳)$$

در این جا  $A$  تعداد دوره های تناوبی است که در فاصله  $[0, Q-1]$  جا می شود. بدیهی است که با اندازه گیری این حالت نمی توان عدد  $A$  و در نتیجه دوره تناوب  $r$  را بدست آورد. هم چنین با اندازه گیری register اول تنها یکی از اعداد  $l_0 - 2r, l_0 - r, l_0, l_0 + r, l_0 + 2r, \dots$  پیدا خواهند شد که با توجه به اینکه مقدار  $l_0$  را نمی دانیم، نمی توانیم از آن برای تعیین  $r$  کمک بگیریم. راهی که باقی می ماند این است که از تبدیل فوریه استفاده کنیم. حال تبدیل فوریه را روی  $Z_Q$  به کار می بریم. فرض می کنیم که  $Q = 2^n$  و بنابراین تبدیل فوریه روی گروه  $Z_{2^n}$  تعریف می شود.

$$U|k\rangle = \frac{1}{\sqrt{Q}} \sum_{l=0}^{Q-1} e^{\frac{2\pi ikl}{Q}} |l\rangle \quad (۴-۶۴)$$

پس از انجام تبدیل فوریه حالت  $|\Phi\rangle$  به حالت زیر تبدیل می شود:

$$|\Phi\rangle \xrightarrow{F} |\Phi'\rangle = \frac{1}{\sqrt{A}} \frac{1}{\sqrt{Q}} \sum_{k=0}^{Q-1} \sum_{j=0}^{A-1} e^{\frac{2\pi ijk(l_0+jr)}{Q}} |k\rangle \quad (۴-۶۵)$$

مرحله پنجم:

حال register اول را اندازه می گیریم. احتمال اینکه در این اندازه گیری مقدار  $k$  بدست آید برابر است با:

$$P(k) = \langle \Phi' | \Phi' \rangle = \left( \frac{1}{\sqrt{A}} \frac{1}{\sqrt{Q}} \right)^2 \sum_{k=0}^{Q-1} \left| \sum_{j=0}^{A-1} e^{\frac{2\pi ijk(l_0+jr)}{Q}} \right|^2 \langle k | k \rangle \quad (۴-۶۶)$$

چون داریم:

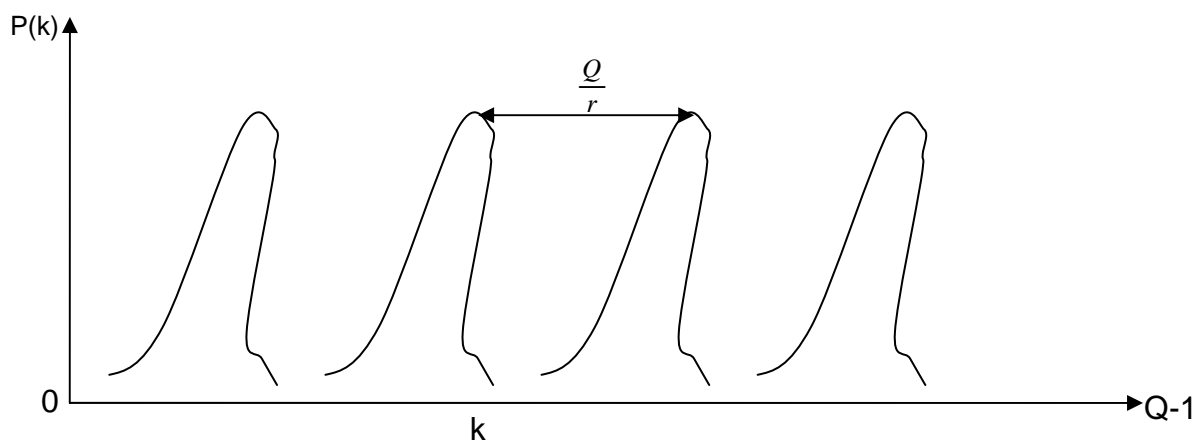
$$\sum_{k=0}^{Q-1} \langle k | k \rangle = 1$$

$$\Rightarrow P(k) = \frac{1}{QA} \left| \sum_{j=0}^{A-1} e^{\frac{2\pi i k (l_0 + jr)}{Q}} \right|^2 = \frac{1}{QA} \left| \sum_{j=0}^{A-1} e^{\frac{2\pi i k jr}{Q}} \right|^2$$

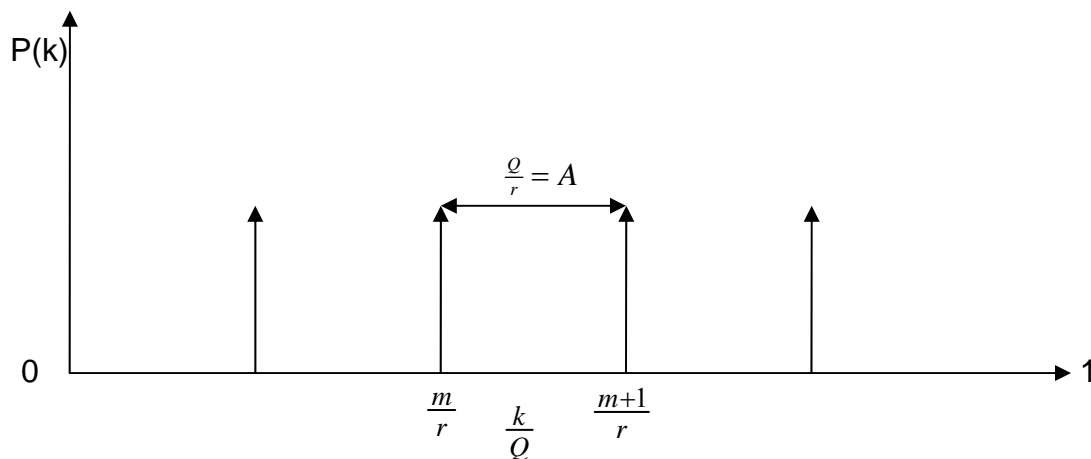
$$\Rightarrow P(k) = \frac{1}{QA} \left| \frac{1 - e^{\frac{2\pi i k r A}{Q}}}{1 - e^{\frac{2\pi i k r}{Q}}} \right|^2 = \frac{1}{QA} \left| \frac{\sin \frac{\pi k r A}{Q}}{\sin \frac{\pi k r}{Q}} \right|^2 \quad (6-4)$$

این تابع تقریباً تناوبی است و دوره تناوب آن حدوداً  $A \cong \frac{Q}{r}$  است. بنابراین در فاصله  $[0, Q-1]$

شکل این تابع به طور تقریبی  $A$  بار تکرار می شود (شکل (6-4)).



شکل (6-4): شکل تابع P(k) در حالت کلی وقتی که Q/r عدد صحیح نباشد.



شکل (7-4): شکل تابع P(k) در حالتی که Q/r عدد صحیح باشد. این عدد صحیح همان A است.

مرحله ششم:

حال به تحلیل نتایج می پردازیم:

حالت اول:

نخست حالت ساده‌ای را در نظر می‌گیریم که  $Q$  مضرب صحیحی از دوره تناوب است. در این صورت  $A = \frac{Q}{r}$  و در نتیجه از رابطه (۴-۶۷) معلوم می‌شود که جمع سری هندسی برابر صفر است مگر

در مواقعی که  $\frac{kr}{Q}$  خود عدد صحیحی مثل  $m$  باشد که در این صورت جمع سری برابر با  $\frac{1}{QA} A^2 = \frac{1}{r}$

خواهد بود.

بنابراین در این حالت تابع احتمال برابر است با:

$$P(k) = \frac{1}{QA} \left| \frac{\sin \frac{zkrA}{Q}}{\sin \frac{zkr}{Q}} \right|^2 \Rightarrow P(k) = \frac{1}{r} \delta_{\frac{k}{Q}, \frac{m}{r}} \quad (۴-۶۸)$$

$$\text{if } m = \frac{kr}{Q} \rightarrow \frac{m}{r} = \frac{k}{Q}$$

تابع  $P(K)$  در این حالت مطابق شکل (۴-۷) است. این رابطه بیان می‌کند که در این حالت هر بار که register اول را اندازه بگیریم عددی بدست می‌آوریم که اگر آن را بر  $Q$  تقسیم کنیم کسری مثل  $\frac{m}{r}$  بدست می‌آید. به عنوان مثال اگر  $r$  برابر ۱۰۰ باشد در اندازه‌گیری register اول یکی از اعداد

زیر بدست خواهند آمد.

$$\left\{ \frac{0}{100}, \frac{1}{100}, \frac{2}{100}, \frac{3}{100}, \dots, \frac{99}{100} \right\}$$

مخرج این کسرها همان دوره تناوب  $r$  (در اینجا  $r=100$ ) است. البته باید توجه داشت که تعدادی

از کسرهای فوق مثل  $\frac{2}{100}, \frac{4}{100}, \frac{5}{100}$  و یا مثلاً  $\frac{50}{100}$  به ترتیب منجر به مخرج‌هایی مثل ۲۰، ۲۵، ۵۰ و یا

۲ می‌شوند که هیچکدام دوره تناوب واقعی نیستند. نکته این است که تعداد قابل ملاحظه‌ای از

کسرهای دیگر وجود دارند که صورت و مخرج آنها نسبت به هم اول هستند و ساده نمی‌شوند

$$\text{مثل } \frac{3}{100}, \frac{7}{100}, \frac{11}{100}, \frac{13}{100}, \frac{19}{100} \text{ و نظایر آن.}$$

در واقع برای اعداد بزرگ  $r$  تعداد اعداد کوچکتر از  $r$  که نسبت به آن اول هستند از مرتبه  $\frac{r}{\ln r}$  است. و

این به این معناست که در هر ۱۰۰ بار اندازه گیری، حدوداً  $\frac{1}{\ln r} \times 100$  دفعه آن به اعداد ساده نشدنی بر می‌خوریم که مخرج آنها از همه مخرج های دیگر بزرگتر است. این مخرج ها همان دوره تناوب مورد نظر هستند.

حالت دوم:

تحلیل قبلی مربوط به یک حالت ایده آل بود که فرض کرده بودیم عدد  $Q$  مضرب صحیحی از دوره تناوب است و در نتیجه  $A$  دقیقاً برابر  $\frac{Q}{r}$  است. ولی چون دوره تناوب را از قبل نمی دانیم این فرض

صحیح نیست و تنها چیزی که می دانیم آن است که جز صحیح  $\frac{Q}{r}$  یعنی  $\left[\frac{Q}{r}\right]$  برابر  $A$  است.

در این حالت  $K$  هایی که اندازه می گیریم دیگر به صورت  $Q\left(\frac{m}{r}\right)$  نخواهند بود و براحتی نمی توان

از روی آنها  $I$  را تعیین کرد. تابع  $P(k)$  در این حالت مطابق شکل (۴-۷) دیگر مجموعه ای از توابع

دلتای کرونکر در نقاط  $\frac{m}{r}$  نخواهد بود. این تابع هنوز شکل تناوبی خود را حفظ می کند ولی هر تابع

دلتای کرونکر کمی پهن می شود، به این معنا که بجای مقادیر  $\frac{m}{r}$  مقادیر نزدیک آن نیز بدست

می آیند. برای جلو رفتن دو کار انجام می دهیم.

الف)  $k$  های مناسب را  $k$  هایی تعریف می کنیم که در شرط زیر صدق کنند.

$$\left| \frac{k}{Q} - \frac{m}{r} \right| \leq \frac{1}{2Q} \quad (۴-۶۹)$$

به عبارت دقیق تر اختلاف  $K$  ها با  $Q\left(\frac{m}{r}\right)$  از  $\frac{1}{2}$  کمتر است.

نشان خواهیم داد که چرا این  $K$  ها مناسب هستند. و نشان خواهیم داد که باز هم می توان از این  $K$

ها دوره تناوب  $I$  را پیدا کرد. این امر در قضیه زیر بیان شده است.

قضیه: اگر  $Q$  به اندازه کافی بزرگ باشد، کسر  $\frac{k}{Q}$  را تنها به یک صورت می توان به صورت کسری با

مخرج کوچکتر از  $N$  ساده کرد. اگر این کسر را به صورت  $\frac{m}{r}$  بنویسیم، همان دوره تناوب خواهد بود.

(یاد آوری می کنیم که  $r$  از  $N$  کوچکتر است.)

اثبات: فرض کنید که علاوه بر کسر  $\frac{m}{r}$ ، کسر  $\frac{m'}{r'}$  نیز در شرط (۴-۶۹) صدق کند.

$$\left| \frac{k}{Q} - \frac{m'}{r'} \right| \leq \frac{1}{2Q} \quad \text{یعنی داریم:} \quad (۴-۷۰)$$

در این صورت با جمع دو نامساوی فوق و استفاده از نامساوی مثلث به رابطه زیر می رسیم:

$$\left| \frac{m}{r} - \frac{m'}{r'} \right| \leq \frac{1}{Q} \quad (۴-۷۱)$$

از طرفی می دانیم که:

$$\left| \frac{m}{r} - \frac{m'}{r'} \right| = \left| \frac{mr' - m'r}{rr'} \right| \geq \frac{1}{N^2} \quad (۴-۷۲)$$

از (۴-۷۱) و (۴-۷۲) به این نتیجه می رسیم که اگر  $Q$  را از  $N^2$  بزرگتر انتخاب کنیم وجود دو کسر با مخرج کوچکتر از  $N$  اتفاق نخواهد افتاد.

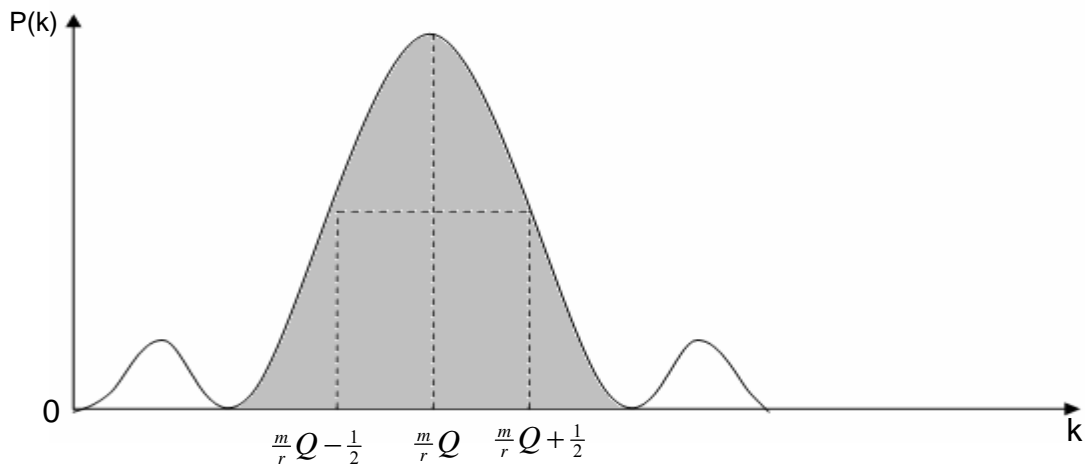
(ب) نشان می دهیم که احتمال پیدا کردن یک  $K$  مناسب به اندازه کافی بالاست. به عبارت دقیق تر

نشان خواهیم داد که احتمال یافتن چنین  $K$  هایی از  $\frac{4}{\pi^2}$  بیشتر است. برای این کار به شکل

$$\text{تابع } P(k) = \frac{1}{QA} \left| \frac{\sin \frac{\pi k r A}{Q}}{\sin \frac{\pi k r}{Q}} \right|^2 \text{ در اطراف یکی از نقطه ها، مثلا نقطه } k = \frac{Q}{r} \text{ نگاه می کنیم. در}$$

شکل (۴-۸) تابع  $P(k)$  در نزدیکی یکی از نقطه ها رسم شده است. دقت کنید که این تابع را بر

حسب  $\frac{k}{Q}$  رسم کرده ایم و تنها یکی از دوره های تناوب تابع را نشان داده ایم.



شکل (۴-۸): شکل تابع  $p(K)$  در نزدیکی یکی از نقاط  $\frac{k}{Q} = \frac{m}{r}$ ، شکل کامل تکراری

از این منحنی است و تعداد تکرارها نیز  $\Gamma$  است.

سطح هاشورخورده احتمال پیدا کردن یک  $k$  مناسب در اطراف این نقطه را نشان می دهد که هنوز می توان با دانستن این  $k$  دوره تناوب  $\Gamma$  را پیدا کرد.

مساحت سطح هاشور خورده بیشتر از مساحت سطح مستطیل نشان داده شده است. مساحت مستطیل برابر است با:

$$S = \left[ \left( \frac{m}{r} Q + \frac{1}{2} \right) - \left( \frac{m}{r} Q - \frac{1}{2} \right) \right] \times p\left(k = \frac{m}{r} Q + \frac{1}{2}\right) = 2 \times \frac{1}{2} \times p\left(k = \frac{1}{2}\right)$$

$$S = p\left(k = \frac{1}{2}\right) = \frac{1}{QA} \left| \frac{\sin \frac{\pi A}{2Q}}{\sin \frac{\pi}{2Q}} \right|^2 \quad (۷۳-۴)$$

اما می دانیم که  $\frac{\pi r}{2Q} \ll 1$  و  $Q \approx Ar$ ، در نتیجه این عبارت تقریباً برابر است با:

$$S = \frac{4}{\pi^2} \frac{1}{r} \quad (۷۴-۴)$$

بنابراین مساحت هاشورخورده از این مقدار بیشتر است و از آنجا که تعداد  $\Gamma$  تا پریود داریم احتمال پیدا کردن  $k$  های مناسب از  $\frac{4}{\pi^2}$  بیشتر خواهد بود.

به طور خلاصه در حالت اول که  $Q$  مضرب صحیحی از یک دوره تناوب است در اندازه گیری register اول به طور قاطع اعدادی بدست می آوریم که هر گاه آنها را بر  $Q$  تقسیم کنیم اعدادی به صورت  $\frac{m}{r}$  بدست می آیند و در حالت دوم با احتمال بیشتر از  $\frac{4}{\pi^2}$  اعدادی بدست می آوریم که

می توان آنها را به صورت  $\frac{m}{r}$  نوشت. در هر صورت می توان  $r$  را در زمان چند جمله ای پیدا کرد. تنها چیزی که از الگوریتم شر باقی مانده است آن است که نشان دهیم تبدیل فوریه کوانتومی را می توان به صورت یک مدار کوانتومی با تعداد کمتری عملگر ساخت. این کار را در بخش بعد انجام می دهیم.

#### ۴-۵-۴- تبدیل فوریه کوانتومی در الگوریتم شر

تبدیل فوریه کوانتومی را به صورت یک نگاشت خطی به صورت زیر تعریف می کنیم. فرض کنید یک فضای هیلبرت  $N$  بعدی داریم که بردارهای پایه آن را با  $\{|0\rangle, |1\rangle, |2\rangle, \dots, |N-1\rangle\}$  نشان می دهیم. در این صورت تبدیل فوریه کوانتومی (QFT) به صورت زیر تعریف می شود:

$$U|k\rangle = \frac{1}{\sqrt{N}} \sum_{l=0}^{N-1} e^{\frac{2\pi k l}{N}} |l\rangle \quad (۷۵-۴)$$

هر گاه  $|f\rangle$  یک بردار دلخواه در این فضا باشد، مولفه های این بردار تحت تبدیل فوریه به شکل زیر تبدیل خواهند شد:

$$\langle k|U|f\rangle = \frac{1}{\sqrt{N}} \sum_{l=0}^{N-1} e^{\frac{2\pi k l}{N}} \langle l|f\rangle \quad (۷۶-۴)$$

و یا:

$$\tilde{f} = \frac{1}{\sqrt{N}} \sum_{l=0}^{N-1} e^{\frac{2\pi k l}{N}} f_l \quad (۷۷-۴)$$

#### ۴-۵-۵- یک مدار کوانتومی برای محاسبه تبدیل فوریه کوانتومی

برای سادگی فرض می کنیم که  $N$  عدد مثل  $2^m - 1$  است می دانیم که تبدیل فوریه کوانتومی به شکل زیر است:

$$U|a\rangle = \frac{1}{\sqrt{N}} \sum_b e^{2\pi i a b} |b\rangle, \quad a, b \in Z \quad (۷۸-۴)$$

در یک کامپیوتر کوانتومی داریم:

$$a = \sum_{j=1}^m a_j 2^{m-j}$$

$$|a\rangle = |a_1 a_2 \dots a_m\rangle = \bigotimes_{j=1}^{m-1} |a_j\rangle \quad (۷۹-۴)$$

مثلا عدد ۲۳ در کامپیوتر کوانتومی به شکل زیر نشان داده می شود:

$$|23\rangle = |1011100\dots 0\rangle \quad \text{در } n \text{ کیوبیت (qbit):}$$

$$a = (a_1, a_2, \dots, a_m) = a_1 \times 2^{m-1} + a_2 \times 2^{m-2} + \dots + a_m \times 2^0 \quad (۸۰-۴)$$

$$b = (b_1, b_2, \dots, b_m) = b_1 \times 2^{m-1} + b_2 \times 2^{m-2} + \dots + b_m \times 2^0 \quad (۸۱-۴)$$

بنابراین:

$$\begin{aligned} U|a\rangle &= \frac{1}{\sqrt{2^m}} \sum_b e^{\frac{2\pi i a}{2^m} [b_1 \times 2^{m-1} + b_2 \times 2^{m-2} + \dots + b_m \times 2^0]} |b\rangle \\ &= \left( \frac{1}{\sqrt{2}} \sum_{b_1} e^{\frac{2\pi i a b_1}{2}} |b_1\rangle \right) \left( \frac{1}{\sqrt{2}} \sum_{b_2} e^{\frac{2\pi i a b_2}{2^2}} |b_2\rangle \right) \dots \left( \frac{1}{\sqrt{2}} \sum_{b_m} e^{\frac{2\pi i a b_m}{2^m}} |b_m\rangle \right) \end{aligned} \quad (۸۲-۴)$$

عبارت سمت راست در رابطه فوق را می توان به صورت زیر نوشت:

$$\begin{aligned} U|a\rangle &= \left( \frac{1}{\sqrt{2}} \sum_{b_1} e^{\frac{2\pi i a b_1}{2}} |b_1\rangle \right) \left( \frac{1}{\sqrt{2}} \sum_{b_2} e^{\frac{2\pi i (2a_{m-1} + a_m) b_2}{2^2}} |b_2\rangle \right) \\ &\quad \dots \left( \frac{1}{\sqrt{2}} \sum_{b_m} e^{\frac{2\pi i (2^{m-1} a_1 + \dots + 2^0 a_m) b_m}{2^m}} |b_m\rangle \right) \end{aligned} \quad (۸۳-۴)$$

بنابراین می توانیم بنویسیم:

$$U|a\rangle = |\Phi_1\rangle |\Phi_2\rangle \dots |\Phi_m\rangle \quad (۸۴-۴)$$

که در آن:

$$|\Phi_1\rangle = \frac{1}{\sqrt{2}} \left[ |0\rangle + e^{\frac{2\pi i a_m}{2}} |1\rangle \right]$$

$$|\Phi_2\rangle = \frac{1}{\sqrt{2}} \left[ |0\rangle + e^{\frac{2\pi i (2a_{m-1} + a_m)}{2^2}} |1\rangle \right], \dots \quad (۸۵-۴)$$

حال یک مدار کوانتومی معرفی می کنیم که تبدیل فوریه کوانتومی را انجام دهد.



ابتدا عملگر یک کیوبیتی زیر را معرفی می کنیم:

$$R_k(\alpha) = \begin{pmatrix} 1 & 0 \\ 0 & e^{\frac{2\pi i \alpha}{2^k}} \end{pmatrix} \quad (۸۶-۴)$$

با استفاده از روابط فوق داریم:

$$|\Phi_1\rangle = H|a_m\rangle$$

$$|\Phi_2\rangle = R_2(a_m)H|a_{m-1}\rangle$$

$$|\Phi_3\rangle = R_2(a_{m-1})R_3(a_m)H|a_{m-2}\rangle$$

$$|\Phi_4\rangle = R_2(a_{m-2})R_3(a_{m-1})R_4(a_m)H|a_{m-3}\rangle, \dots \quad (۸۷-۴)$$

هر کدام از عملگرهای  $R_k(\alpha)$  در واقع به صورت یک عملگر کنترلی عمل می کند. اگر  $\alpha$  مقدار برابر صفر باشد هیچ کاری انجام نمی دهند ولی اگر مقدار  $\alpha$  برابر 1 باشد عمل  $R_k$  را انجام می دهند. بنابراین به سادگی مدار مربوط به عملگر تبدیل فوریه کوانتومی ساخته می شود.

#### ۴-۵-۶- یک مثال از روند کار الگوریتم شر:

حال نشان می دهیم چگونه عدد  $N = 91 (= 7 \times 13)$  می تواند با استفاده از الگوریتم شر تجزیه شود.

ابتدا عدد  $Q = 2^{14} = 16384$  را انتخاب می کنیم چون داریم:  $N^2 \leq Q \leq 2N^2$

یک عدد تصادفی صحیح و مثبت مثل  $Y=3$  را انتخاب می کنیم. چون باید داشته باشیم:

$$\gcd(N, Y) = \gcd(91, 3) = 1 \quad (۸۸-۴)$$

حال باید دوره تناوب تابع  $f$  را پیدا کنیم.

$$f(x) = Y^x \bmod N = 3^x \bmod 91 \quad (۸۹-۴)$$

دوره تناوب تابع  $f$  را نمی دانیم اما از روی محاسبات بدست می آوریم:

جدول ۴-۱: مقادیر  $f(x)$  بر حسب  $x$  برای تعیین دوره تناوب تابع.

x	0	1	2	3	4	5	6	7	...
F(x)	1	3	9	27	81	61	1	3	...

از روی جدول دوره تناوب  $r=6$  است حال باید آنرا بدست آوریم.

register اول و دوم را داریم:

$$|\Psi_0\rangle = |0\rangle \otimes |0\rangle \quad (90-4)$$

حال تبدیل F را اعمال می کنیم:

$$\begin{aligned} F|k\rangle &= \frac{1}{\sqrt{Q}} \sum_{l=0}^{Q-1} e^{\frac{2\pi i 0l}{Q}} |l\rangle = \frac{1}{\sqrt{16384}} \sum_{l=0}^{16383} e^{\frac{2\pi i 0l}{16384}} |l\rangle \rightarrow \\ \rightarrow |\Psi_1\rangle &= \frac{1}{\sqrt{16384}} \sum_{l=0}^{16383} |l\rangle \otimes |0\rangle = \\ &= \frac{1}{\sqrt{16384}} (|0\rangle|0\rangle + |1\rangle|0\rangle + |2\rangle|0\rangle + \dots + |16382\rangle|0\rangle + |16383\rangle|0\rangle) \end{aligned} \quad (91-4)$$

حال با استفاده از تبدیل یکانی  $U_f$  داریم:

$$U_f|x\rangle \otimes |f(x)\rangle = |x\rangle \otimes |3^x \bmod 91\rangle \quad (92-4)$$

$$\begin{aligned} U_f|\Psi_1\rangle \rightarrow |\Psi_2\rangle &= \frac{1}{\sqrt{16384}} \sum_{l=0}^{16383} |l\rangle \otimes |3^l \bmod 91\rangle = \\ &= \frac{1}{\sqrt{16384}} [|0\rangle|1\rangle + |1\rangle|3\rangle + |2\rangle|9\rangle + |3\rangle|27\rangle + \dots + |16382\rangle|9\rangle + |16383\rangle|27\rangle] \end{aligned}$$

حال دوباره تبدیل فوریه را با  $register \neq 1$  به کار می بریم. بنابراین حالت سیستم بدست

می آید:

$$\begin{aligned} |\Psi_3\rangle &= \frac{1}{\sqrt{16384}} \sum_{l=0}^{16383} \frac{1}{\sqrt{16384}} \sum_{k=0}^{16383} e^{\frac{2\pi i kl}{16384}} |k\rangle |3^l \bmod 91\rangle = \\ &= \frac{1}{16384} \sum_{l=0}^{16383} |k\rangle \sum_{l=0}^{16383} e^{\frac{2\pi i kl}{16384}} |3^l \bmod 91\rangle = \frac{1}{16384} \sum_{l=0}^{16383} |k\rangle |\gamma(k)\rangle \end{aligned} \quad (93-4)$$

که در آن:

$$|\gamma(k)\rangle = \sum_{l=0}^{16383} e^{\frac{2\pi i k l}{16384}} |3^l \bmod 91\rangle$$

$$|\gamma(k)\rangle = |1\rangle + e^{\frac{2\pi i k}{16384}} |3\rangle + e^{\frac{2\pi i 2k}{16384}} |9\rangle + e^{\frac{2\pi i 3k}{16384}} |27\rangle + \dots + \\ + e^{\frac{2\pi i 16381 k}{16384}} |3\rangle + e^{\frac{2\pi i 16382 k}{16384}} |9\rangle + e^{\frac{2\pi i 16383 k}{16384}} |27\rangle \quad (94-4)$$

با اندازه گیری register اول داریم:

$$k = 13453 \quad (95-4)$$

که احتمال بدست آوردن این  $k$  خاص برابر است با:

$$P(k) = 0.3189335551 \times 10^{-6} \quad (96-4)$$

حال از رابطه (۶۹-۴) داریم:

$$\left| \frac{k}{Q} - \frac{m}{r} \right| \leq \frac{1}{2Q}$$

وبا استفاده از این رابطه داریم:

$$\left| \frac{13453}{16384} - \frac{m}{r} \right| \leq \frac{1}{2 \times 16384} \Rightarrow \frac{m}{r} = \frac{5}{6} \quad (97-4)$$

حال به آنچه می خواستیم دست یافتیم.

یعنی دوره تناوب  $r$  در این مورد برابر ۶ است. پس داریم:

$$\gcd(r, m) = \gcd(6, 5) = 1 \quad (98-4)$$

حال با توجه به روابط (۵۶-۴) و (۵۷-۴) داریم:

$$X = Y^k \rightarrow X^2 = Y^{2K} = Y$$

$$Y^{2K} = 1 \bmod N \Rightarrow 3^6 = 1 \bmod 91 \Rightarrow (3^6 - 1) = 0 \bmod 91 \rightarrow$$

$$((3^3)^2 - 1) = 0 \bmod 91 \rightarrow (3^3 - 1)(3^3 + 1) = 0 \bmod 91 \rightarrow$$

$$\Rightarrow 26 \times 28 = 0 \bmod 91 \quad (99-4)$$

بنابراین  $N=91$  باید با ۲۶ یا ۲۸ مضرب مشترک داشته باشد. حال با محاسبه رابطه زیر می بینیم که عدد ۹۱ با ۲۶ مضرب مشترک دارد.

$$\gcd(3^3 - 1, 91) = \gcd(26, 91) = 13 \quad (100-4)$$

یعنی ۱۳ یک مضرب مشترک ۹۱ و ۲۶ است. به این ترتیب عدد  $N=91$  به دو عدد تجزیه می شود و نتیجه حاصل است.

$$\frac{91}{13} = 7 \Rightarrow N = 91 = (13 \times 7) \quad (101-4)$$

به این ترتیب نتیجه‌ای که انتظار داشتیم بدست می‌آید. [5, 6, 7, 8]

#### ۴-۶- نتیجه‌گیری و پیشنهادات:

با استفاده از مواردی که گفته شد نتیجه می‌گیریم که تبدیل فوریه کوانتومی در بسیاری از کاربردها نقش بسزایی دارد و با استفاده از آن سرعت عملیات افزایش یافته و تعداد مراحل عملیات مورد نظر کاهش می‌یابد. آنچه که ما در این پژوهش استفاده کردیم اسپین  $\frac{1}{2}$  بوده است که در آن  $S_z$  دو حالتی است، یعنی دو مقدار  $+\frac{1}{2}$  و  $-\frac{1}{2}$  را دارد. برای مثال در یک رجیستر چهار کیوبیتی، چون در هر کیوبیت دو حالت اسپین بالا و پایین قرار می‌گیرد بنابراین،  $2^4 = 16$  حالت برای بیان رجیستر مورد نظر وجود دارد. حال اگر بخواهیم از اسپین 1 استفاده کنیم، چون  $S_z$  دارای سه حالت  $+1$  و  $0$  و  $-1$  است بنابراین در یک رجیستر چهار کیوبیتی  $3^4 = 81$  حالت برای نشان دادن رجیستر وجود دارد. حال اگر تعداد کیوبیتها افزایش یابد تعداد حالات بطور نمایی زیاد می‌شود که نشان دادن حالتها به این صورت کار بسیار سخت و غیر ممکن است. پس باید راهی پیدا کرد که بتوان تعداد مراحل را کاهش داد که این راه همان تبدیل فوریه است. بنابراین می‌توان تبدیل فوریه را توسعه داد تا سرعت عملیات در کامپیوترهای کوانتومی افزایش یابد.

- [1] J. J. Sakurai, (revised edition 1999), “**Modern quantum mechanics**”, Addison-Wesely, USA.
- [2] J. Preskill, (1998), “**Lecture notes for physics 229: Quantum Information and Computation**”, California Institute of Technology.
- [3] A. Chatterjee, (2003), “**Introduction to Quantum Computation**”, Saha Institute of Nuclear physics, Kolkata, India,e-print:quant-ph/0312111.
- [4] A. Ekert, P. Hayden and H. Inamori, (2007), “**Basic concepts in quantum Computation**”,University of Oxford, Oxford OX1 3PU, United Kingdom.
- [5] M. Nielsen, I. Chuang, (2000), “**Quantum Computation and Quantum Information**”,Cambridge, United Kingdom.
- [6] M. Le Bllac, “**A short Introduction to Quantum Information and Quantum Computation**”, Cambridge Univrsity press, United Kingdom, pp75-105.
- [7] S. J. Lomonaco, JR, (2000), “**Lecture on Shor's Quantum Factoring Algorithm version 1.1**”,e-print: quant- ph/0010034v1.
- [8] P. W. Shor, (2001),“**Introduction to Quantum Algorithms**” .e-print:quant-ph/0005003v2.

#### Abstract:

As we know, the quantum fourier transform has been investigated since 1958. the present research deals with entangled stats and superposition stats in the quantum theory and their features. And also it investigates the quick quantum fourier transform and optimization factoring speed by quantum fourier transform. The significance of the investigation and research about quantum fourier transform is because of its widely use in basic function of quantum computer. Quantum fourier transform is used in many problems of quantum computer such as; in factoring problem, order finding problem, counting solution problem, hidden subgroup problem and discrete logarithm problem. By investigating quantum fourier transform and the above mentioned points, especially factoring to prime numbers, by shor's algorithm which is the result of fourier transform, the numbers in quantum computers is factored with high speed.

#### Key words:

Quantum fourier transform, entanglement, superposition, factoring, quantum theory, density operator, qubit, gate, phase estimation, shor's algorithm.



Shahrood University of Technology

Faculty Physics

# Quantum Fourier Transform

*Reza Mokarrami Rostami*

Supervisor: Hossein Movahhedian

Date: jul 2009